

**ANALISIS GERAK PESAWAT ATWOOD MENGGUNAKAN SENSOR
IR-LED DAN PENGOLAHAN CITRA**

SKRIPSI



oleh:

Ahmad Zaroni NPM 18330023

**PROGRAM STUDI PENDIDIKAN FISIKA
FAKULTAS PENDIDIKAN MATEMATIKA ILMU PENGETAHUAN
ALAM DAN TEKNOLOGI INFORMASI
UNIVERSITAS PGRI SEMARANG
AGUSTUS 2022**

**ANALISIS GERAK PESAWAT ATWOOD MENGGUNAKAN SENSOR
IR-LED DAN PENGOLAHAN CITRA**

Skripsi

Diajukan kepada Universitas PGRI Semarang
untuk memenuhi salah satu persyaratan dalam menyelesaikan
Program Sarjana Pendidikan Fisika



oleh:

Ahmad Zaroni NPM 18330023

**PROGRAM STUDI PENDIDIKAN FISIKA
FAKULTAS PENDIDIKAN MATEMATIKA ILMU PENGETAHUAN
ALAM DAN TEKNOLOGI INFORMASI
UNIVERSITAS PGRI SEMARANG
AGUSTUS 2022**

HALAMAN PERSETUJUAN

Skripsi Berjudul

ANALISIS GERAK PESAWAT ATWOOD MENGGUNAKAN SENSOR IR-
LED DAN PENGOLAHAN CITRA
yang disusun oleh Ahmad Zaroni
NPM 18330023

Telah disetujui dan siap untuk diujikan
Semarang, 15 Agustus 2022

Pembimbing I

Pembimbing II

Dr. Sigit Ristanto, M.Sc.
NPP 108102232

Dr. Harto Nuroso, M.Pd
NPP 936701097

HALAMAN PENGESAHAN

Skripsi Berjudul

ANALISIS GERAK PESAWAT ATWOOD MENGGUNAKAN SENSOR IR- LED DAN PENGOLAHAN CITRA

Yang dipersiapkan dan disusun oleh (Ahmad Zaroni)

NPM 18330023

telah dipertahankan di depan Dewan Pengaji pada hari Jum'at, tanggal 19 Agustus
2022 dan dinyatakan telah memenuhi syarat untuk memperoleh gelar Sarjana
Pendidikan

Panitia Ujian

Ketua

Sekretaris

Supandi, S.Si., M.Sc.

Joko Saefan, S.Si., M.Sc.

NPP 097401245

NPP 088101211

Anggota Pengaji

1. Dr. Sigit Ristanto, M.Sc. (.....)

NPP 108102232

2. Dr. Harto Nuroso, M.Pd. (.....)

NPP 936701097

3. Wawan Kurniawan, S.Si., M.Si. (.....)

NPP 088101212

PERNYATAAN

Saya menyatakan bahwa yang tertulis dalam skripsi ini benar-benar hasil karya saya sendiri, bukan jiplakan dan/atau karya orang lain baik sebagian atau seluruhnya. Pendapat atau temuan orang lain dalam skripsi ini dikutip atau dirujuk berdasarkan kode etik ilmiah.

Semarang, 18 Agustus 2022

Ahmad Zaroni
NPM 18330023

MOTTO DAN PERSEMBAHAN

MOTTO :

1. “Berpedomanlah pada harapan dan ketetapan hati. Berpedomanlah pada cita-cita, berpedomanlah pada impian dan angan-angan.”
(Ir. Soekarno)
2. “Orang yang pesimis selalu melihat kesulitan di setiap kesempatan, tapi orang yang optimis selalu melihat kesempatan dalam setiap kesulitan”
(Ali bin Abi Thalib)

PERSEMBAHAN :

Bismillahirrahmaanirrahim, dengan mengucapkan rasa syukur kepada Allah *Subhanallahi Wa Ta’ala*, skripsi ini saya persembahkan kepada :

1. Kedua orang tuaku, Bapak Rubadi dan Ibu Maryam yang tidak pernah berhenti mendoakan serta memberikan nasihat dan dukungan lahir batin untuk anaknya.
2. Kakaku Muhammad Afandi serta adek Aulia Putri Azzahra yang ikut serta memberikan dukungan dan menularkan semangatnya kepada saya hingga saya mampu menyelesaikan skripsi ini.
3. Keluarga besarku yang telah memberi dukungan dan doa kepada saya
4. Orang yang saya cintai yang telah dengan sabar dan tulus menemani perjalanan saya dalam menyelesaikan skripsi ini.
5. Teman-teman satu angkatan pendidikan fisika 2018 yang telah mensuport dan menemani perjalanan kuliah saya sampai akhir.
6. Kawan-kawan GmNI Komisariat UPGRIS yang telah memberikan banyak kenangan dan pelajaran yang berkesan selama saya menjadi mahasiswa.
7. Teman-teman BEM FPMIPATI periode 2019-2021 yang telah memberikan warna dalam kehidupan kampus saya.
8. Teman-teman HIMAFI peride 2018-2019 yang membantu menemukan jatidiri saya di awal-awal kehidupan kampus.
9. Teman-teman KKN dan magang 1-3 yang menularkan semangat dan kebahagiaannya kepada saya
10. Sahabat-sahabatku dikampung halaman yang baik hati dan tidak sompong

ANALISIS GERAK PESAWAT ATWOOD MENGGUNAKAN SENSOR IR-LED DAN PENGOLAHAN CITRA

Ahmad Zaroni

Program Studi Pendidikan Fisika, FPMIPATI, Universitas PGRI Semarang

Email : ahmadroni732@gmail.com

ABSTRAK

Praktikum Gerak Lurus Beraturan (GLB) dan Gerak Lurus Berubah Beraturan (GLBB) yang umum digunakan yaitu dengan menggunakan set alat pesawat Atwood. Pengoperasian alat ini biasanya masih dilakukan secara tradisional menggunakan *stopwatch*. Seringkali praktikum yang dilakukan dengan alat tradisional menghasilkan data yang kurang akurat, sehingga perlu dikembangkan set alat yang beroperasi secara otomatis. Set alat otomatis yang dapat dikombinasikan dengan pesawat Atwood diantaranya yaitu sensor IR-LED dan *software* pengolahan citra *TRACKER*. Penelitian ini dilakukan untuk mencari tahu perbedaan keakuratan antara sensor IR-LED dan *software* *TRACKER* dalam analisis GLB dan GLBB menggunakan pesawat Atwood. Penelitian ini dilakuakn sebanyak 10 kali pada setiap alatnya. Didapati hasil, rata-rata kecepatan 46,89 cm/s untuk analisis menggunakan sensor IR-LED dan 48,35 cm/s untuk rata-rata kecepatan analisis menggunakan *software* *TRACKER*. Sedangkan rata-rata percepatan yang terukur adalah 59,42 cm/s² untuk analisis menggunakan sensor IR-LED dan 54,85 cm/s² untuk analisis menggunakan *software* *TRACKER*. Perbedaan hasil pengukuran dari kedua alat, menyimpulkan bahwa adanya perbedaan keakuratan antara sensor IR-LED dan *software* *TRACKER* yang digunakan untuk menganalisis GLB dan GLBB pada pesawat Atwood.

Kata kunci : Pesawat Atwood, IR-LED, pengolahan citra, *TRACKER*

ATWOOD AIRCRAFT MOTION ANALYSIS USING IR-LED SENSORS AND IMAGE PROCESSING

Ahmad Zaroni

Physics Education Study Program, FPMIPATI, PGRI University Semarang

Email : ahmadroni732@gmail.com

ABSTRACT

Practicum of Uniform Motion (GLB) and Uniformly Changing Motion (GLBB) which are commonly used are using the Atwood plane tool set. The operation of this tool is usually still done traditionally using a stopwatch. Often practicums carried out with traditional tools produce less accurate data, so it is necessary to develop a set of tools that operate automatically. Sets of automatic tools that can be combined with Atwood aircraft include IR-LED sensors and TRACKER image processing software. This research was conducted to find out the difference in accuracy between the IR-LED sensor and the TRACKER software in the analysis of GLB and GLBB using the Atwood aircraft. This research was carried out 10 times on each tool. The results showed that the average speed was 46.89 cm/s for analysis using the IR-LED sensor and 48.35 cm/s for the average speed of analysis using TRACKER software. While the average acceleration measured is 59.42 cm/s² for analysis using IR-LED sensors and 54.85 cm/s² for analysis using TRACKER software. The difference in the measurement results of the two tools, concluded that there was a difference in accuracy between the IR-LED sensor and the TRACKER software used to analyze GLB and GLBB on Atwood aircraft.

Keywords: Atwood aircraft, IR-LED, image processing, TRACKER

KATA PENGANTAR

Assalamualaikum Warohmatullahi Wabarakatuh

Alhamdulillah, puji syukur penulis panjatkan kepada Allah SWT, karena atas limpahan rahmat, taufik, hidayah serta karunia-Nya penulis dapat menyusun skripsi dengan judul “ANALISIS GERAK PESAWAT ATWOOD MENGGUNAKAN SENSOR IR-LED DAN PENGOLAHAN CITRA” dengan baik dan lancar. Skripsi ini penulis susun sebagai syarat untuk mencapai gelar Sarjana Pendidikan Program Studi Pendidikan Fisika, Fakultas Pendidikan Matematika, Ilmu Pengetahuan Alam, dan Teknologi Informasi Universitas PGRI Semarang. Penyusunan skripsi ini tidak lepas dari bantuan, dorongan serta bimbingan dari berbagai pihak. Oleh karena itu, pada kesempatan ini penulis menyampaikan banyak terima kasih dan penghargaan sebesar-besarnya kepada:

1. Dr. Sri Suciati M.Hum., selaku Rektor Universitas PGRI Semarang yang telah memberikan kesempatan kepada penulis sehingga penulis dapat menyelesaikan studi di Universitas PGRI Semarang.
2. Supandi S.Si, M.Si., selaku Dekan FPMIPATI yang telah memberikan izin kepada peneliti untuk melakukan penelitian dalam rangka penyusunan skripsi.
3. Joko Saefan, M.Sc., selaku Ketua Program Studi Pendidikan Fisika Universitas PGRI Semarang yang telah memberikan segala kebijakan kepada penulis sehingga dapat menyelesaikan skripsi ini.
4. Dr. Sigit Ristanto, S.T., M.Sc selaku dosen pembimbing I yang telah meluangkan waktu untuk memberikan bimbingan dan dukungan kepada penulis dengan telaten.
5. Dr. Harto Nuroso, M.Pd selaku dosan pembimbing II yang telah meluangkan waktu untuk memberikan bimbingan dan arahan.
6. Penguji yang telah meluangkan waktunya untuk menguji penulis dalam sidang skripsi dari awal hingga akhir ujian.

7. Bapak dan Ibu Dosen Pendidikan Fisika Universitas PGRI Semarang yang telah mendidik dan membimbing penulis sehingga dapat menyelesaikan studi S1 di program studi pendidikan Fisika.
8. Semua pihak yang membantu dalam penulisan skripsi ini yang tidak dapat penulis sebutkan satu persatu.

Semoga dukungan, didikan serta bimbingan yang telah diberikan kepada penulis mendapatkan balasan kebaikan yang lebih banyak dari Allah SWT. Penulis menyadari bahwa penyusunan skripsi ini masih jauh dari kata sempurna, maka dari itu penulis memohon kritik dan saran yang bersifat membangun dari berbagai pihak yang diharapkan mampu menyempurnakan penyusunan skripsi ini. Akhir kata, semoga skripsi ini dapat bermanfaat bagi penulis khususnya dan bagi pembaca pada umumnya.

Wassalamualaikum Warohmatullahi Wabarakatuh

Semarang, 18 Agustus 2022
Penulis,

Ahmad Zaroni
NPM 18330023

DAFTAR ISI

HALAMAN PERSETUJUAN	i
HALAMAN PENGESAHAN	ii
PERNYATAAN	iii
MOTTO DAN PERSEMBAHAN	iv
ABSTRAK	v
ABSTRACT	vi
KATA PENGANTAR	vii
DAFTAR ISI	ix
DAFTAR GAMBAR	xi
DAFTAR TABEL	xii
DAFTAR LAMPIRAN	xiii
BAB I PENDAHULUAN	1
A. Latar Belakang	1
B. Rumusan Masalah	3
C. Tujuan Penelitian	3
D. Manfaat Penelitian	3
E. Definisi Istilah	4
BAB II TELAAH PUSTAKA DAN KERANGKA BERPIKIR	6
A. Landasan Teori	6
B. Kerangka Berpikir	11
C. Hipotesis	12
BAB III METODE PENELITIAN	14
A. Lokasi dan Waktu	14
B. Alat dan Bahan yang Digunakan	14
C. Variabel Penelitian	15
D. Desain Eksperimen	16
E. Prosedur Penelitian	17
F. Analisis dan Interpretasi Data	20
BAB IV HASIL PENELITIAN DAN PEMBAHASAN	24
A. Hasil Penelitian	24
B. Pembahasan	27
BAB V	35
KESIMPULAN DAN SARAN	35

A.	Kesimpulan.....	35
B.	Saran.....	36
	DAFTAR PUSTAKA	37
	LAMPIRAN	39

DAFTAR GAMBAR

Gambar 2. 1. Kerangka berpikir.....	12
Gambar 3. 1. Desain alat pesawat Atwood untuk menganalisis GLB	16
Gambar 3. 2. Desain alat pesawat Atwood untuk menganalisis GLBB.....	17
Gambar 3. 3. Tabel hasil eksperimen GLB	21
Gambar 3. 4. Tabel hasil eksperimen GLBB	22
Gambar 4. 1. Grafik GLB posisi s terhadap waktu t menggunakan sensor IR-LED	28
Gambar 4. 2 Grafik GLB posisi s terhadap waktu t menggunakan <i>software TRACKER</i>	28
Gambar 4. 3. Grafik GLBB posisi s terhadap waktu t menggunakan sensor IR-LED	29
Gambar 4. 4. Grafik GLBB posisi s terhadap waktu t menggunakan <i>software TRACKER</i>	29
Gambar 4. 5. Grafik GLBB kecpatan v terhadap waktu t menggunakan sensor IR-LED	29
Gambar 4. 6. Grafik GLBB kecepatan v terhadap waktu t menggunakan <i>software TRACKER</i>	29

DAFTAR TABEL

Tabel 4. 1. Hasil analisis data GLB dari sensor IR-LED	24
Tabel 4. 2. Hasil analisis data GLB dari <i>software TRACKER</i>	24
Tabel 4. 3. Hasil analisis data GLBB dari sensor IR-LED	25
Tabel 4. 4. Tabel hasil analisis data GLBB dari <i>software TRACKER</i>	26
Tabel 4. 5. Hasil uji <i>T test Independent</i> GLB untuk waktu terukur pada sensor dan <i>TRACKER</i>	32
Tabel 4. 6. Hasil uji <i>T test Independent</i> GLB untuk kecepatan pada sensor dan <i>TRACKER</i>	32
Tabel 4. 7. Hasil uji <i>T test Independent</i> GLBB untuk waktu terukur pada sensor dan <i>TRACKER</i>	33
Tabel 4. 8. Hasil uji <i>T test Independent</i> GLBB untuk percepatan pada sensor dan <i>TRACKER</i>	33

DAFTAR LAMPIRAN

Lampiran 1. Hasil data GLB Sensor	40
Lampiran 2. Hasil data GLB <i>TRACKER</i>	43
Lampiran 3. Hasil data GLBB Sensor.....	46
Lampiran 4. Hasil data GLBB <i>TRACKER</i>	49
Lampiran 5. Hasil ralat pengamatan waktu t (s) GLB sensor	52
Lampiran 6. Hasil ralat pengamatan GLB waktu t (s) <i>TRACKER</i>	55
Lampiran 7. Hasil ralat pengamatan posisi s (m) GLB <i>TRACKER</i>	58
Lampiran 8. Hasil ralat perambatan GLB sensor.....	61
Lampiran 9. Hasil ralat perambatan GLB <i>TRACKER</i>	64
Lampiran 10. Hasil ralat pengamatan waktu t (s) GLBB sensor	68
Lampiran 11. Hasil ralat pengamatan waktu t GLBB <i>TRACKER</i>	71
Lampiran 12. Hasil ralat pengamatan posisi GLBB <i>TRACKER</i>	74
Lampiran 13. Hasil ralat perambatan GLBB sensor	77
Lampiran 14. Hasil ralat perambatan GLBB <i>TRACKER</i>	81
Lampiran 15. Hasil uji <i>T Test Independent</i> GLB	85
Lampiran 16. Hasil uji <i>T Test Independent</i> GLBB	102
Lampiran 17. Dokumentasi kegiatan penelitian.....	120
Lampiran 18. Persetujuan usulan penelitian	122
Lampiran 19. Lembar bimbingan skripsi dosen pembimbing 1	123
Lampiran 20. Lembar bimbingan skripsi dosen pembimbing 2.....	124

BAB I

PENDAHULUAN

A. Latar Belakang

Fisika merupakan bagian dari ilmu sains yang memahami tentang gejala - gejala yang terjadi di alam atau lingkungan sekitar. Konsep dalam ilmu fisika juga dapat diterapkan dan dimanfaatkan langsung dalam kehidupan manusia sehari-hari. Hal ini menjadi landasan kenapa ilmu fisika menjadi salah satu mata pelajaran yang diajarkan dari siswa tingkat dasar sampai tingkat perguruan tinggi. Pada mata pelajaran fisika, selain memaparkan secara teori, konsep ilmu fisika tersebut juga di ajarkan melalui kegiatan praktikum. Kegiatan praktikum ini bertujuan untuk meningkatkan pemahaman peserta didik dan sekaligus untuk meningkatkan kemampuan berpikir kritis mereka secara objektif dan rasional dalam memahami konsep fisika yang di praktikumkan (Supriyatna, 2021).

Salah satu materi dalam mata pelajaran fisika yang dapat di jelaskan konsepnya melalui kegiatan praktikum adalah pada pokok pembahasan Gerak Lurus Beraturan (GLB) dan Gerak Lurus Berubah Beraturan (GLBB). Konsep tersebut merupakan pendekatan pembelajaran yang memperkenalkan masalah nyata sebagai sarana melatih berpikir kritis dan melatih keterampilan peserta didik untuk memecahkan masalah yang dihadapi. Praktikum Gerak Lurus Beraturan (GLB) dan Gerak Lurus Berubah Beraturan (GLBB) yang umum diadakan di sekolah yaitu dengan menggunakan set alat pesawat Atwood.

Pesawat Atwood adalah alat yang tersusun atas katrol dan tali yang terikat dengan dua buah benda bermassa m_1 dan m_2 . Tali sebagai penghubung dari katrol cukup ringan dan massanya dapat diabaikan. Jika massa beban m_1 dan m_2 sama (m_1 dan m_2) maka keduanya akan diam. Alat pesawat Atwood diciptakan oleh George Atwood dan mulai dikembangkan pada abad ke-18 untuk mengukur percepatan gravitasi yang bekerja

berdasarkan prinsip hukum Newton. Penggunaan alat ini biasanya masih berupa pengukuran waktu tempuh beban secara manual dengan menggunakan *stopwatch*. Seringkali percobaan gerak jatuh bebas yang dilakukan dengan alat yang tradisional menghasilkan data yang kurang akurat. Dengan demikian pada pengoperasian pesawat Atwood sederhana memiliki perbedaan persentase yang tinggi terhadap teori yang ada. Faktor kesalahan berupa ketidakakuratan alat tersebut akan menyebabkan kesalahan konsep di siswa yang menggunakan pesawat Atwood (M R Ridho, 2020).

Berdasarkan hal tersebut, maka dapat dirancang suatu sistem otomatisasi yang dapat digunakan dalam pengoperasian alat pesawat Atwood sehingga data yang diperoleh lebih akurat. Sistem otomatis yang dapat diterapkan adalah menggunakan sensor IR-LED (*Infra Red Light Emitting Diode*) dan menggunakan perangkat lunak pengolahan citra *TRACKER*.

Sensor inframerah (IR) terdiri dari pemancar inframerah dan penerima cahaya inframerah foto transistor. Komponen ini dapat mengkonversi energi cahaya inframerah menjadi pulsa-pulsa sinyal listrik. Pemancar pada sistem ini terdiri atas sebuah Light Emitting Diode (LED) inframerah yang dilengkapi dengan rangkaian yang mampu membangkitkan data untuk dikirimkan melalui sinar inframerah, sedangkan pada bagian penerima biasanya terdapat foto transistor, foto diode, atau infra merah module yang berfungsi untuk menerima sinar inframerah yang dikirimkan oleh pemancar (Supriyatna, 2021).

TRACKER merupakan perangkat lunak/*software* untuk menganalisis gerak benda melalui video, sehingga dapat dihasilkan parameter perubahan posisi, parameter kecepatan, percepatan, energi kinetik, energi potensial dan parameter lainnya yang dimiliki objek yang bergerak. (Firman Nugraha, 2017)

Belum adanya studi yang membandingkan akurasi penggunaan sensor IR-LED dan pengolahan citra *TRACKER* untuk menganalisis Gerak Lurus Beraturan (GLB) dan Gerak Lurus Berubah Beraturan (GLBB) pada Pesawat Atwood. Membuat penulis dirasa perlu untuk mengadakan studi tentang

analisis gerak pesawat Atwood menggunakan sensor IR-LED dan pengolahan citra.

B. Rumusan Masalah

Berdasarkan latar belakang yang telah dikemukakan di atas, maka dapat di rumuskan masalah penelitian sebagai berikut:

1. Sejauh mana perbedaan akurasi sensor IR-LED dan pengolahan citra *TRACKER* yang digunakan dalam analisis gerak pesawat Atwood?
2. Bagaimanakah hasil analisis gerak pesawat Atwood menggunakan sensor IR-LED dan pengolahan citra *TRACKER*?

C. Tujuan Penelitian

Berdasarkan dengan latar belakang dan rumusan masalah yang telah penulis kemukakan, sehingga tujuan apa yang hendak dilakukan dan dicapai oleh penulis dalam penelitian ini, tujuan penelitian sebagai berikut:

1. Membuat analisis gerak pesawat Atwood menggunakan sensor IR-LED dan pengolahan citra *TRACKER*
2. Mengetahui hasil analisis gerak pesawat Atwood menggunakan sensor IR-LED dan pengolahan citra *TRACKER* untuk digunakan dalam praktikum

D. Manfaat Penelitian

Hasil penelitian diharapkan dapat memberikan manfaat dalam dua aspek, yaitu sebagai berikut:

1. Manfaat Teoritis
 - a. Dapat bermanfaat memberikan pemikiran terhadap ilmu pengetahuan dalam media pembelajaran praktikum fisika menggunakan sensor IR-LED dengan menggunakan perangkat lunak pengolahan citra *TRACKER*.
 - b. Dapat memberikan hasil analisis gerak pesawat Atwood menggunakan sensor IR-LED dan pengolahan citra *TRACKER* untuk digunakan dalam praktikum

2. Manfaat Praktisi

a. Bagi Penulis

Diharapkan penulis dapat memperoleh pengalaman serta mampu memberikan pembelajaran yang berkualitas sehingga mudah diterima oleh praktikan.

b. Bagi Laboratorium Pendidikan Fisika Uiversitas PGRI Semarang

Diharapkan hasil dari penelitian ini dapat menjadi acuan untuk meningkatkan kualitas praktikum di laboratorium pendidikan Fisika, dengan memanfaatkan hasil analisis gerak pesawat Atwood menggunakan sensor IR-LED dan pengolahan citra *TRACKER*.

c. Bagi Praktikan

Diharapkan hasil dari penelitian ini praktikan dapat meningkatkan motivasi dan minat dalam praktikum sehingga dapat membantu menguasai materi fisika dengan mudah.

E. Definisi Istilah

Berdasarkan latar belakang, permasalahan, tujuan dan manfaat penelitian, maka uraian definisi istilah dalam penelitian ini adalah sebagai berikut :

1. Analisis

Analisis merupakan penyelidikan terhadap suatu peristiwa untuk mengetahui keadaan yang sebenarnya.

2. Pesawat Atwood

Pesawat Atwood adalah alat yang digunakan untuk menjelaskan hubungan antara gerak, tegangan, energi potensial dan energi kinetik dengan menggunakan 2 (dua) pemberat (massa berbeda) yang dihubungkan oleh sebuah tali pada sebuah katrol.

3. Sensor

Sensor adalah perangkat yang digunakan untuk mengubah sinyal fisik/kimia menjadi elektronik.

4. IR-LED

Infra Red – Light Emitting Diode (IR-LED) merupakan *Light Emitting Diode* (LED) yang dapat memancarkan cahaya inframerah.

5. Citra

Citra merupakan fungsi dari insensitas cahaya yang dipräsentasikan dalam bidang dua dimensi.

6. *TRACKER*

TRACKER merupakan perangkat lunak/*software* untuk menganalisis gerak suatu benda melalui video.

BAB II

TELAAH PUSTAKA DAN KERANGKA BERPIKIR

A. Landasan Teori

1. Pesawat Atwood

Pesawat Atwood merupakan salah satu alat eksperimen yang bisa digunakan untuk mengamati hukum mekanika pada gerak yang dipercepat secara beraturan dengan bantuan hukum Newton. Sederhananya pesawat Atwood tersusun dari dua benda yang terhubung dengan seutas tali yang diletakkan pada sebuah katrol. Berikut penjelasan mengenai hukum Newton yang bisa digunakan untuk mengamati gerak yang terjadi pada pesawat Atwood :

- Hukum Newton I : Jika suatu sistem mendapat gaya luar sistem akan tetap dalam keadaannya semula, atau bergerak berubah beraturan dengan kecepatan konstan ($\Sigma F=0$).
- Hukum Newton II : Percepatan dari sistem sebanding dengan gaya yang bekerja pada sistem itu ($F= m.a$). Hukum Newton II memberikan kesimpulan sebagai berikut:
 - a. Arah percepatan benda sama dengan arah gaya yang bekerja pada benda tersebut.
 - b. Besarnya percepatan yang dialami benda sebanding dengan gaya yang bekerja pada benda. Jadi bila gaya yang bekerja pada benda konstan, maka percepatan yang timbul juga konstan.
 - c. Untuk a yang tetap maka berlaku persamaan gerak :

$$V_t = V_0 + a.t \quad 2.1$$

$$S_t = S_0 + \frac{1}{2} a.t^2 \quad 2.2$$

Untuk sebuah katrol dengan beban-beban akan berlaku

$$a = \frac{m \cdot g}{2M + m + \frac{I}{r^2}} \quad 2.3$$

Dimana :

Disini dianggap $M_1=M_2=M$

r : jari-jari katrol

I : momen inersia katrol

Udara akan memberikan hambatan udara atau gesekan udara terhadap benda yang jatuh. Besarnya gaya gesek udara pada benda yang mengalami gerak jatuh bebas berbanding lurus dengan luas permukaan benda. Makin besar luas permukaan benda, makin besar gaya gesek udara yang bekerja pada benda tersebut. Gaya ini tentu saja akan memperlambat gerak jatuh benda. Untuk lebih memahami secara kualitatif tentang hambatan udara pada gerak jatuh, kita dapat mengamati gerak yang terjadi pada penerjun payung.

Penerjun mula-mula terjun dari pesawat tanpa membuka parasutnya. Gaya hambatan udara yang bekerja pada penerjun tidak begitu besar, dan jika parasutnya terus tidak dibuka, penerjun akan mencapai kecepatan akhir kira-kira 50 m/s ketika sampai di tanah. Kecepatan itu kira-kira sama dengan kecepatan mobil balap yang melaju cepat. Sebagai akibatnya, penerjun akan tewas ketika sampai di tanah. Dengan mengembangkan parasutnya, luas permukaan menjadi cukup besar, sehingga gaya hambat udara yang bekerja pada penerjun cukup besar untuk memperlambat kelajuan penerjun.

Berdasarkan hasil demonstrasi ini dapatlah ditarik kesimpulan sementara bahwa jika hambatan udara dapat diabaikan maka setiap benda yang jatuh akan mendapatkan percepatan tetap yang sama tanpa bergantung pada bentuk dan massa benda. Percepatan yang tetap ini disebabkan oleh medan gravitasi bumi yang disebut percepatan gravitasi (g). Di bumi percepatan gravitasi (g) bernilai kira-kira $9,80 \text{ m/s}^2$. Untuk mempermudah dalam pembacaan pada soal sering dibulatkan menjadi 10 m/s^2 .

Untuk membuktikan pernyataan diatas bahwa jika hambatan udara dihilangkan, setiap benda jatuh akan mendapat percepatan tetap yang

sama tanpa bergantung pada bentuk dan massa benda, di dalam laboratorium biasanya dilakukan percobaan menjatuhkan dua benda yang massa dan bentuknya sangat berbeda di dalam ruang vakum. Sehubungan dengan hal diatas, Gerak Jatuh Bebas (GJB) adalah gerak suatu benda yang dijatuhkan dari suatu ketinggian tanpa kecepatan awal dan selama geraknya mengalami percepatan tetap yaitu percepatan gravitasi, sehingga Gerak Jatuh Bebas (GJB) termasuk dalam Gerak Lurus Berubah Beraturan (GLBB). Perhatikan karena dalam Gerak Jatuh Bebas (GJB), benda selalu bergerak ke bawah maka untuk mempermudah perhitungan, kita tetapkan arah ke bawah sebagai arah positif.

Jika pada sistem pesawat dilepaskan penjepitnya, maka sistem akan bergerak dengan percepatan tetap. Besarnya percepatan a berbanding lurus dengan gayanya. Untuk gaya yang konstan, maka percepatan tetap sehingga berlaku persamaan Gerak Lurus Berubah Beraturan (GLBB) : $x = \frac{1}{2} at^2$ (Suryo, 2012).

2. Sensor IR-LED

Inframerah/*Infrared* (IR) adalah spektrum gelombang sinar elektromagnetik yang mempunyai panjang gelombang lebih dari pada cahaya tampak tetapi lebih pendek dari gelombang radio yaitu di antara 700 nm dan 1 mm. Sensor inframerah terdiri dari pemancar inframerah dan penerima cahaya inframerah (foto transistor). Komponen ini dapat mengkonversi energi cahaya inframerah menjadi pulsa-pulsa sinyal listrik. Pemancar pada sistem ini terdiri atas sebuah *Light Emitting Diode* (*LED*) inframerah yang merupakan salah satu jenis dioda apabila diberi tegangan maju maka arus majunya akan membangkitkan cahaya pada pertemuan PN-nya.

LED inframerah berfungsi memancarkan cahaya inframerah dan dipantulkan kembali ke sensor melalui lensa fokus, sedangkan *photodiode* mendeteksi intensitas energi yang dipantulkan oleh permukaan objek dari pancaran *LED* inframerah. Lenja fokus berguna untuk mengarahkan cahaya yang dipantulkan ke *photodiode*. Sedangkan *photodiode*

beroperasi menggunakan prinsip efek foto listrik, dimana energi cahaya diubah menjadi energi listrik. Keluaran hasil dari sensor tergantung dari energi yang terdeteksi oleh *photodiode* yang nilainya berupa tegangan yang berbanding terbalik dengan pendeksi jarak.

Sensor inframerah dapat mendeksi jarak untuk rentang 15 - 150 cm dengan sensor diposisikan 90° menghadap permukaan sebuah objek. Ketika sebuah objek dan sensor didekatkan dengan jarak antara 0 cm sampai 15 cm, cahaya dari LED inframerah akan dipantulkan dari objek ke detektor. Dalam kondisi ini hasil tegangan keluaran memiliki fungsi alih yang besar. Sedangkan pada kondisi lain, tegangan keluaran berbanding terbalik dan tidak linier pada jarak mulai dari 15 sampai 150 cm karena penurunan energi cahaya yang terdeteksi oleh detektor (Riky Tri Yunardi, 2017).

3. Citra Digital

Citra digital adalah citra yang dibentuk dari sinyal digital yang bersifat diskrit. Citra digital merupakan representasi dari fungsi intensitas cahaya dalam bentuk diskrit pada bidang dua dimensi. Citra tersusun oleh sekumpulan piksel (*picture element*). Sebuah piksel memiliki koordinat (x,y) dan amplitudo $f(x,y)$. Koordinat (x,y) menunjukkan letak/posisi piksel dalam suatu citra, sedangkan amplitudo $f(x,y)$ menunjukkan nilai intensitas warna citra. Citra digital memiliki informasi warna yang berasal dari intensitas cahaya yang diterima oleh *grid* sensor cahaya didalam kamera. Hasil tangkapan kamera adalah citra digital dalam format warna RGB (*Red, Green, Blue*).

Setiap piksel pada citra RGB, memiliki intensitas warna yang merupakan kombinasi dari tiga nilai intensitas pada kanal R, G, dan B. Sehingga setiap piksel mempunyai komponen intensitas I_R , I_G , I_B . Masing-masing intensitas disusun dalam *regular grid* atau *array* 2 dimensi. Banyaknya kombinasi warna piksel yang mungkin pada citra RGB *truecolor* 24-bit adalah sebanyak $256 \times 256 \times 256 = 16.777.216$.

Untuk mendapatkan citra dari suatu objek maka harus dilakukan proses akuisisi citra.

Akuisisi citra merupakan proses menangkap (*capture*) atau memindai (*scan*) suatu citra analog sehingga memperoleh citra digital. Beberapa faktor yang perlu diperhatikan dalam proses akuisisi citra antara lain adalah: jenis alat akuisisi, resolusi kamera, teknik pencahayaan, perbesaran atau *zoom*, jarak, dan sudut pengambilan citra. Contoh peralatan akuisisi citra diantaranya adalah kamera digital, *smartphone*, USB *webcam*, *scanner*, mikroskop digital, Ultrasonografi (USG) (Ummy Gusti Salamah, 2021).

4. Software *TRACKER*

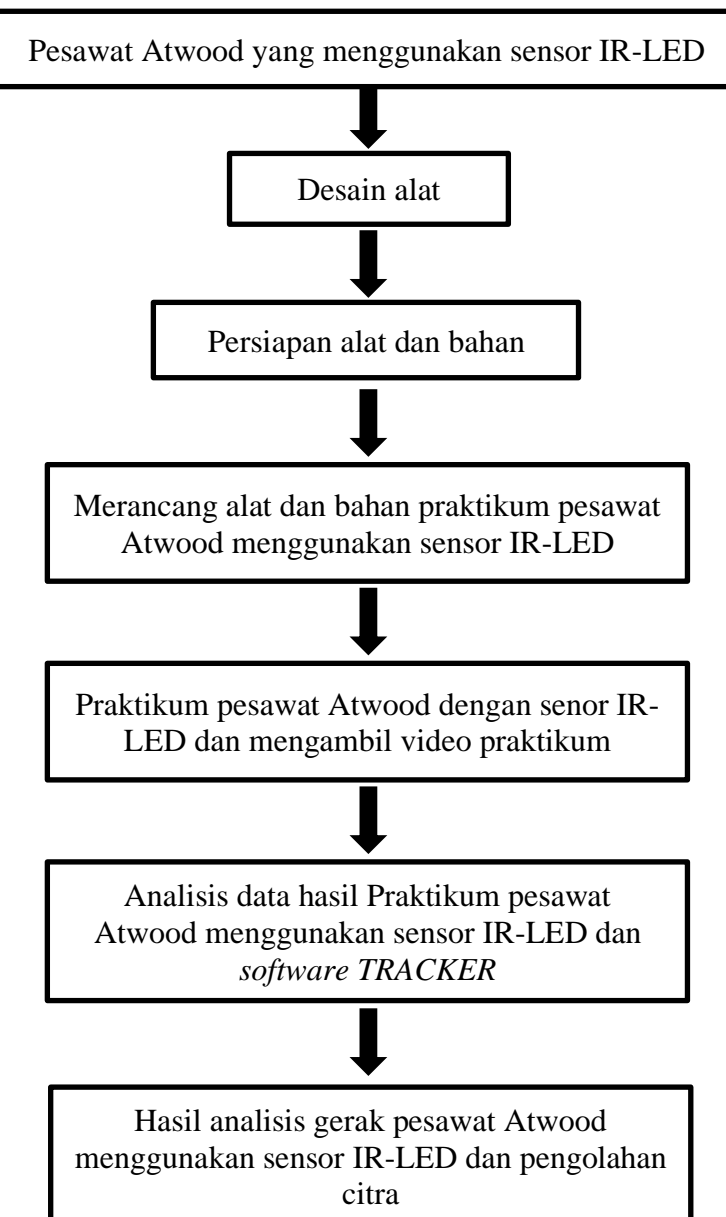
TRACKER merupakan suatu *software* analisis video dan suatu alat pemodelan yang dibangun pada *Java Open Source Physics* (OSP), *software* *TRACKER* dapat diakses dan di unduh dengan gratis di internet. *Software* *TRACKER* di dukung oleh sumber daya digital yang menyediakan suatu hubungan ke tutorial dan video yang siap untuk dianalisis.

Pada *software* *TRACKER* ini pengguna dapat menganalisis gerak benda yang terdapat dalam sebuah video, dengan cara membuat jejak mengikuti gerak benda yang ada dalam video. Kekuatan dari *software* *TRACKER* terletak pada kenyataan bahwa seseorang dapat memvisualisasikan sebuah konsep dalam waktu real. Adanya analisis video dan tool pemodelan, pengguna bisa menyelidiki bagaimana pusat massa berubah posisi, kecepatan dan percepatan terhadap waktu.

Beberapa parameter dalam kinematika seperti percepatan, kecepatan dan posisi dapat diteliti dari *software* *TRACKER*. Jika dibandingkan dengan metode klasik dengan mengaplikasikan *ticker timer*, analisis dengan menggunakan *software* *TRACKER* bisa digunakan untuk untuk semua parameter pada kinematika. Ketepatan data pada tracker merupakan ketepatan yang akurat (Wibowo, 2022).

B. Kerangka Berpikir

Peneliti melakukan analisis mengenai gerak pada alat praktikum peswat Atwood dengan menggunakan sensor IR-LED dan pengolahan citra menggunakan *software TRACKER*. Sistem pengukuran otomatis pada peswat Atwood tentu sangat diperlukan untuk meningkatkan keakuratan pengukuran. Sistem yang dapat diterapkan diantaranya menggunakan sensor IR-LED (*Infra Red Light Emiting Diode*) dan menggunakan perangkat lunak pengolahan citra *TRACKER*. Dikarenakan belum adanya studi yang membandingkan akurasi pengukuran menggunakan sensor IR-LED dan pengolahan citra *TRACKER* untuk menganalisis Gerak Lurus Beraturan (GLB) dan Gerak Lurus Berubah Beraturan (GLBB) pada pesawat Atwood. Sehingga peneliti dirasa perlu mengadakan studi mengenai analisis gerak pesawat Atwood menggunakan sensor IR-LED dan pengolahan citra. Adapun kerangka berpikir dari analisis gerak pesawat Atwood menggunakan sensor IR-LED dan pengolahan citra ini dapat dilihat pada Gambar 2.1.



Gambar 2. 1. Kerangka berpikir

C. Hipotesis

Hipotesis merupakan suatu pernyataan sementara dari suatu masalah yang masih lemah atau masih kurang kebenarannya sehingga masih perlu diuji atau dibuktikan (Gangga Anuraga, 2021). Penelitian ini dilakukan untuk mengetahui hasil analisis keakuratan pengukuran pesawat Atwood menggunakan sensor IR-LED dan *software* pengolahan citra *TRACKER*. Berikut rumusan hipotesis dari penelitian ini :

H_0 : Tidak ada perbedaan keakuratan antara hasil analisis pengukuran pesawat Atwood menggunakan sensor IR-LED dan *software* pengolahan citra *TRACKER*.

H_1 : Ada perbedaan keakuratan antara hasil analisis pengukuran pesawat Atwood menggunakan sensor IR-LED dan *software* pengolahan citra *TRACKER*.

BAB III

METODE PENELITIAN

A. Lokasi dan Waktu

1. Lokasi Penelitian

Lokasi penelitian adalah tempat dimana peniliti melaksanakan penelitian. Lokasi penilitian berada di Gedung Utama lantai 2 Laboratorium Fisika Dasar Pendidikan Fisika Universitas PGRI Semarang. Peneliti memilih lokasi tersebut karena Laboratorium Fisika Dasar Universitas PGRI Semarang memiliki kelengkapan fasilitas yang memadai untuk mendukung peneliti dalam melakukan penelitian. Kelengkapan alat peraga pesawat Atwood juga sudah diperbarui dimana sekarang sudah dilengkapi dengan sensor IR-LED. Sehingga sangat mendukung peneliti untuk melaksanakan penelitian mengenai Analisis Gerak Pesawat Atwood menggunakan sensor IR-LED dan Pengolahan Citra.

2. Waktu Penelitian

Penelitian ini akan dilakukan dalam jangka waktu 3 minggu mulai dari tanggal 21 Juni 2022 sampai dengan 9 Juli 2022.

B. Alat dan Bahan yang Digunakan

1. Alat

Peralatan yang digunakan peneliti dalam melaksanakan penelitian adalah :

- a. Pewaktu pencacah (*Timer Counter*) AT-01
- b. 4 pasang gerbang cahaya / sensor IR-LED
- c. Tripod
- d. Perekam video (*Smart Phone*)
- e. *Software* pengolah citra (*TRACKER*)

2. Bahan

Bahan yang digunakan untuk melakukan penelitian adalah :

- a. Atwood bertiang ganda

Tinggi tiang : 150 cm

Katrol : diameter 12 cm ; bahan plexiglass

- b. Tali penggantung berbahan nilon
- c. Dua buah beban berbentuk silinder M_1 dan M_2 yang massanya sama (100 gram)
- d. Beban tambahan bercelah berjumlah 5 buah, masing-masing memiliki massa 5 gram. Beban tambahan bisa diletakkan di atas beban silinder. Bahan alumunium.
- e. Penghenti beban dengan lubang (diameter 3.4 cm), digunakan untuk menahan beban tambahan. Bahan baja.
- f. Penghenti beban tanpa lubang , digunakan untuk menahan beban silinder. Bahan baja.
- g. Pemegang beban dengan pegas (pelepas beban), digunakan untuk menahan dan melepas beban silinder.

C. Variabel Penelitian

Variabel penelitian merupakan suatu atribut, nilai/sifat dari objek, individu/kegiatan yang mempunyai banyak variasi tertentu antara satu dan lainnya yang telah ditentukan oleh peneliti untuk dipelajari dan dicari informasinya serta ditarik kesimpulannya.

Penelitian eksperimen memiliki 3 variabel yaitu variabel bebas (*independent*), variabel terikat (*dependent*) dan variabel kontrol. Variabel independent adalah perlakuan (*treatment*), variabel *dependent* merupakan karakteristik yang diukur setelah perlakuan sedangkan variabel kontrol yaitu karakteristik kelompok subjek yang tidak diberi perlakuan tetapi turut diukur atau diambil datanya sebelum maupun sesudah eksperimen. (Syahrial, 2022)

Berikut adalah 3 variabel yang digunakan dalam melaksanakan penelitian ini:

1. Variabel bebas : jarak

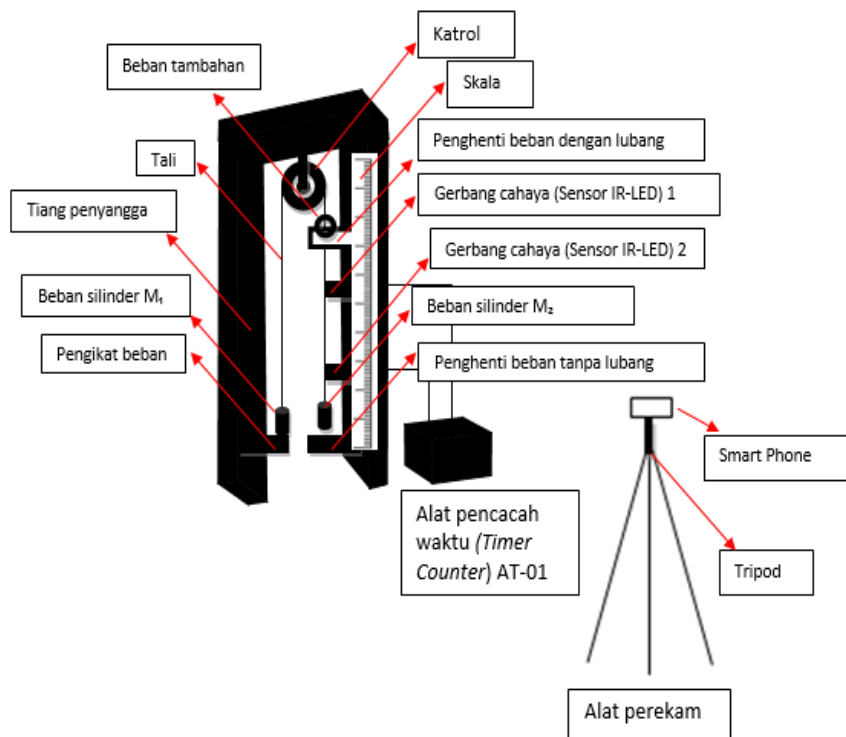
2. Variabel terikat : waktu dan kecepatan
3. Variabel kontrol : massa

D. Desain Eksperimen

Desain eksperimen pada penelitian ini berupa desain alat pesawat Atwood yang terdiri dari desain alat untuk menganalisis Gerak Lurus Beraturan (GLB) dan Gerak Lurus Berubah Beraturan (GLBB).

1. Desain alat pesawat Atwood untuk menganalisis Gerak Lurus Beraturan (GLB)

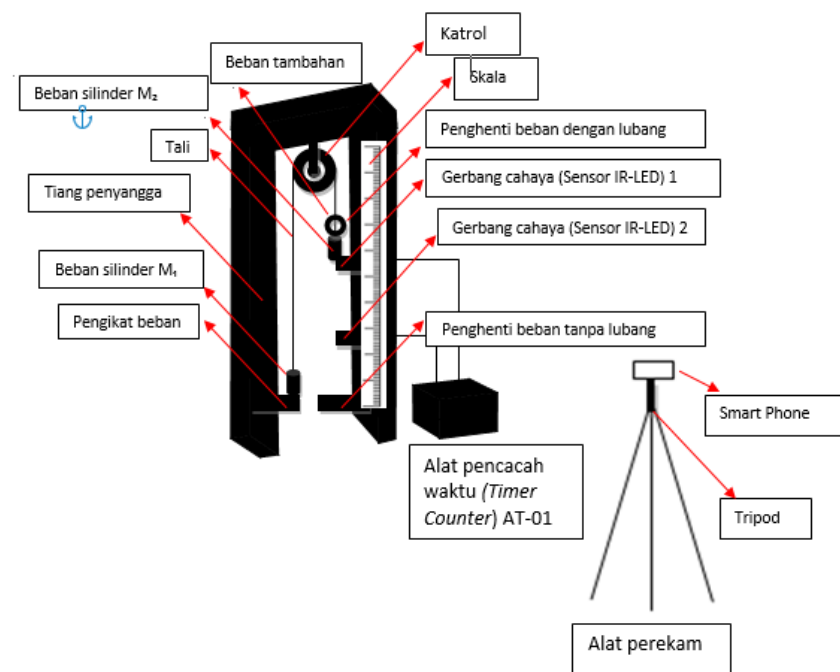
Desain alat eksperimen yang digunakan dalam analisis Gerak Lurus Beraturan (GLB) sama dengan desain alat praktikum pesawat Atwood PMK 135 dari Pudak *Scientific* dengan ditambahkan alat perekam. Penambahan alat perekam bertujuan untuk mengambil rekaman video pada saat praktikum untuk bahan analisis di *software TRACKER*. Dimana alat peraga pesawat Atwood tersebut disajikan dalam gambar 3.1.



Gambar 3. 1. Desain alat pesawat Atwood untuk menganalisis GLB

2. Desain alat pesawat Atwood untuk menganalisis Gerak Lurus Berubah Beraturan (GLBB)

Desain alat pesawat Atwood untuk analisis Gerak Lurus Berubah Beraturan (GLBB) disajikan seperti gambar 3.2.



Gambar 3. 2. Desain alat pesawat Atwood untuk menganalisis GLBB

E. Prosedur Penelitian

Prosedur penelitian pada penelitian ini dibedakan menjadi 2, disesuaikan dengan desain alat yang sudah di rencanakan. Dimana terdapat prosedur penelitian untuk desain alat pesawat Atwood untuk menganalisis Gerak Lurus Beraturan (GLB) dan prosedur penelitian desain alat pesawat Atwood untuk menganalisis Gerak Lurus Berubah Beraturan (GLBB). Setiap prosedur penelitian dari 2 desain alat tersebut masing-masing terdiri dari persiapan dan langkah-langkah penelitian seperti berikut :

1. Prosedur penelitian analisis Gerak Lurus Beraturan (GLB)
 - Persiapan penelitian
 - a. Pertama-tama menggantungkan beban silinder pada ujung-ujung tali kemudian lewatkan tali pada katrol

- b. Selanjutnya memastikan bahwa tali terletak pada bagian tengah pengarah beban.
 - c. Setelah itu memutar sekrup hingga tali beban berada tepat di tengah masing-masing pengarah beban
 - d. Memasang pemegang beban pada sisi kiri bawah tiang
 - e. Memasang penghenti beban berlubang, gerbang cahaya 1, gerbang cahaya 2, dan penghentui beban tanpa lubang berurutan dari atas ke bawah pada tiang sebelah kanan
 - f. Terakhir tahan beban M_1 pada pemegang beban
- Langkah-langkah penelitian
 - a. Langkah awal mengatur fungsi Pewaktu Pencacah pada *TIMING II* dengan cara menekan tombol *FUNCTION* sampai lampu indikator merah berada pada *TIMING II*.
 - b. Selanjutnya mengatur agar M_2 berada pada skala 20 cm dengan mengatur tinggi pemegang beban.
 - c. Mengatur jarak objek-objek berikut
 - Penghenti beban berada pada skala 30 cm (10 cm dari M_2)
 - Gerbang cahaya 1 pada skala 80 cm
 - Gerbang cahaya 2 pada skala 100 cm
 - d. Langkah berikutnya menambahkan 5 beban tambahan bercelah (m) pada M_2
 - e. Setelah itu melepaskan M_1 dengan menekan pegas sehingga M_1 akan bergerak keatas, sedangkan M_2 akan bergerak ke bawah dan berhenti saat menyentuh penghenti beban tanpa lubang.
 - f. Dengan fungsi *TIMING II* akan diperoleh 1 data waktu. Catat nilai waktu yang ditampilkan di layar Pewaktu Pencacah.
 - g. Mengembalikan posisi M_1 dan M_2 seperti semula, dengan M_1 pada pemegang beban, kemudian menekan tombol *FUNCTION* pada Pewaktu Pencacah untuk mengembalikan nilai waktu ke angka 0 (*reset to zero*)

- h. Mengubah posisi gerbang cahaya 2 dengan penambahan skala 5 cm
 - i. Mengulangi langkah d – h sampai dengan jarak antara gerbang cahaya 1 dan 2 sebesar 50 cm
2. Prosedur penelitian analisis Gerak Lurus Berubah Beraturan (GLBB)
 - Persiapan penelitian
 - a. Pertama-tama menggantungkan beban silinder pada ujung-ujung tali, kemudian lewatkan tali pada katrol
 - b. Selanjutnya memastikan bahwa tali terletak pada bagian tengah pengarah beban.
 - c. Memutar sekrup hingga beban berada tepat di tengah masing-masing pengarah beban
 - d. Lalu memasang pemegang beban pada tiang kiri bagian bawah
 - e. Menahan M_1 pada pemegang beban sehingga M_2 berada di bagian atas tiang kanan dan mengatur agar bagian bawah M_2 tepat berada pada skala 20 cm (atau tepat pada garis skala yang ada sehingga memudahkan penghitungan jarak)
 - f. Memasang gerbang cahaya 1 tepat pada skala 40 cm
 - g. Terakhir memasang gerbang cahaya 2 di bawah gerbang cahaya 1 dan memasang pemegang beban tanpa lubang dibawah tiang kanan untuk menahan agar beban silinder M_2 tidak menyentuh lantai
 - Langkah-langkah penelitian
 - a. Langkah awal mengatur fungsi Pewaktu Pencacah pada *TIMING I* dengan cara menekan tombol *FUNCTION* sampai lampu indikator nerah berada pada *TIMING I*.
 - b. Selanjutnya mengatur posisi gerbang cahaya 2 di skala 50 cm agar berjarak 10 cm dari gerbang cahaya 1
 - c. Menambahkan 5 buah beban bercelah ($m = 25$ gram) pada beban silinder M_2

- d. Melepaskan M_1 dengan menekan pegas sehingga M_1 bergerak keatas, sedangkan M_2 bergerak kebawah
- e. Mencatat nilai waktu t_1 , t_2 dan t_3 yang tampil pada layar Pewaktu Pencacah
- f. Menahan kembali beban M_1 menggunakan pemegang beban sehingga M_2 berada di posisi semula, kemudian tekan tombol *FUNCTION* pada Pewaktu Pencacah untuk mengembalikan nilai waktu ke angka 0
- g. Mengubah gerbang cahaya 2 dengan penambahan skala 5 cm
- h. Mengulangi langkah d – g dengan penambahan jarak 5 cm dari posisi terakhir hingga jarak antara gerbang cahaya 1 dan 2 sebesar 50 cm

F. Analisis dan Interpretasi Data

1. Analisis data

Pada penelitian ini analisis data eksperimen dibedakan menjadi 2 yaitu analisis data Gerak Lurus Beraturan (GLB) dan Gerak Lurus Berubah Beraturan (GLBB). Selain itu di gunakan tori ralat pengamatan untuk mengetahui besar eror dalam penelitian.

a. Analisis data Gerak Lurus Beraturan (GLB)

Data waktu yang diperoleh dari percobaan merupakan waktu (t). Perpindahan beban silinder dari gerbang cahaya 1 ke gerbang cahaya 2 merupakan jarak (s). Sehingga kecepatan gerak beban silinder dapat ditentukan dengan persamaan :

$$v = \frac{s}{t} \quad 3.1$$

s (m)	t (s)	v (m/s)
0,2		
0,25		
0,3		

0,35		
0,4		
0,45		
05		

Gambar 3. 3. Tabel hasil eksperimen GLB

b. Analisis data Gerak Lurus Berubah Beraturan

Data yang diperoleh dari percobaan dengan fungsi *TIMING* I adalah waktu tempuh saat M₂ melewati gerbang cahaya 1 (t₁) dan gerbang cahaya 2 (t₂). Sehingga nilai V₁ (kecepatan awal, V₀) dan V₂ (kecepatan akhir, V₁) diperoleh dari :

$$V_1 = \frac{S}{t_1} \text{ dan } V_2 = \frac{S}{t_2} \quad 3.2$$

Data percobaan dengan fungsi *TIMING* I juga diperoleh t₃, yaitu waktu tempuh beban silinder dari gerbang cahaya 1 ke gerbang cahaya 2 (Δt), maka nilai percepatan a dapat diperoleh dari :

$$a = \frac{\Delta v}{\Delta t} = \frac{V_2 - V_1}{t_2 - t_1} \quad 3.3$$

$\Delta s(m)$	$t_1(s)$	$t_2(s)$	$v_1(m/s)$	$v_2(m/s)$	Δv (m/s) = $v_2 - v_1$	$t_3(\Delta t, s)$	$a(m/s^2)$
0,1							
0,15							
0,2							
0,25							
0,3							
0,35							
0,4							
0,45							
0,5							

Gambar 3. 4. Tabel hasil eksperimen GLBB

c. Ralat pengamatan

Jika pengamatan/pengukuran dilakukan berkali-kali pada besaran yang diukur secara langsung, hasilnya berbeda-beda, misalnya hasil pengamatan/pengukuran yang dilakukan sebanyak k kali dengan hasil tiap kali $x_i = x_1 ; x_2 ; x_3 \dots \dots x_k$, dimana x_i yang besarnya $x_1 ; x_2 ; x_3 \dots \dots x_k$, dinamkan nilai terukur yang merupakan nilai atau harga yang mungkin. Nilai terbaik dari nilai ukur adalah nilai rata-ratanya yang merupakan nilai paling mungkin, jadi nilai terbaiknya (\bar{x}) yaitu :

$$\bar{x} = \frac{\sum_{i=1}^k x_i}{k} = \frac{x_1 + x_2 + \dots + x_k}{k} \dots \dots \quad 3.4$$

Selisih atau penyimpangan antara nilai terukur dengan nilai rata-rata disebut deviasi (δ) jadi :

$$\delta_x = x_i - \bar{x} \quad 3.5$$

Deviasi berbeda dengan deviasi standard, deviasi standard didefinisikan sebagai akar-akar kuadrat deviasinya dengan rumus :

$$\text{Standard deviasi} = s_{\bar{x}} = \sqrt{\frac{\sum_{l=1}^k (\delta_{x_l})^2}{k(k-1)}} = \sqrt{\frac{\sum_{l=1}^k (x_l - \bar{x})^2}{k(k-1)}} \quad 3.6$$

Sedangkan standard deviasi relatif yaitu :

$$s_{xr} = \frac{s_x}{\bar{x}} \text{ atau } s_{xr} = \frac{s_x}{\bar{x}} \times 100\% \quad 3.7$$

Dengan demikian maka nilai pengamatan dapat ditulis besaran-besaran x yang benar adalah

$$\bar{x} \pm s_x \dots \dots \quad 3.8$$

Nilai pengukuran sering kali dinyatakan dengan ketelitian, yaitu :

$$1 - s_{xr} \text{ atau } 100\% - s_{xr} \% \quad 3.9$$

(Aminudin, 2022).

2. Interpretasi data

Interpretasi data yaitu proses memberi arti dan signifikansi terhadap analisis yang dilakukan, menjelaskan pola-pola deskriptif, mencari hubungan dan keterkaitan antar deskripsi-deskripsi data yang ada (Jose, 2022). Pada penelitian ini peneliti menginterpretasikan datanya melalui grafik hubungan antara posisi (s) dan waktu (t) untuk hasil analisis data Gerak Lurus Beraturan (GLB). Grafik hubungan antara posisi (s) terhadap waktu (t) dan kecepatan (v) terhadap selang waktu (t) untuk hasil analisis data Gerak Lurus Berubah Beraturan (GLBB).

BAB IV

HASIL PENELITIAN DAN PEMBAHASAN

A. Hasil Penelitian

Pada pelaksanaan penelitian ini dilakukan dengan pengulangan sebanyak 10 kali pada setiap percobaan GLB maupun GLBB. Dengan hasil data sebagai berikut :

1. Hasil analisis data GLB menggunakan sensor IR-LED

Hasil analisis data dan grafik interpretasi data GLB menggunakan sensor dapat dilihat pada tabel 4.1.

Tabel 4. 1. Hasil analisis data GLB dari sensor IR-LED

No.	S (cm)	$t = \bar{t} \pm \Delta t$ (s)	$v = \bar{v} \pm \bar{s}_v$ (cm/s)
1.	20	0.43 ± 0.001	46.55 ± 0.782
2.	25	0.529 ± 0.002	47.24 ± 0.651
3.	30	0.63 ± 0.001	47.63 ± 0.534
4.	35	0.72 ± 0.001	48.61 ± 0.467
5.	40	0.841 ± 0.001	47.58 ± 0.4
6.	45	0.993 ± 0.002	45.32 ± 0.343
7.	50	1.1 ± 0.01	45.31 ± 0.486

2. Hasil analisis data GLB menggunakan *software TRACKER*

Hasil analisis data dan grafik interpretasi data GLB menggunakan *software TRACKER* dapat dilihat pada tabel 4.2.

Tabel 4. 2. Hasil analisis data GLB dari *software TRACKER*

No.	$s = \bar{s} \pm \Delta s$ (cm)	$t = \bar{t} \pm \Delta t$ (s)	$v = \bar{v} \pm \bar{s}_v$ (cm/s)
1.	19.79 ± 0.141	0.41 ± 0.005	48.77 ± 0.331
2.	24.68 ± 0.151	0.506 ± 0.005	48.8 ± 0.283
3.	29.93 ± 0.203	0.606 ± 0.005	49.41 ± 0.317
4.	35.03 ± 0.171	0.742 ± 0.008	47.18 ± 0.219
5.	40.19 ± 0.101	0.822 ± 0.008	48.87 ± 0.116
6.	44.97 ± 0.149	0.941 ± 0.006	47.77 ± 0.15

7.	49.65 ± 0.093	1.041 ± 0.006	47.67 ± 0.085
----	-------------------	-------------------	-------------------

3. Hasil analisis data GLBB menggunakan sensor IR-LED

Hasil analisis data dan grafik interpretasi data GLB menggunakan sensor dapat dilihat pada tabel 4.3.

Tabel 4. 3. Hasil analisis data GLBB dari sensor IR-LED

s (cm)	t ₁ (s)	$t_2 =$ $\bar{t}_2 \pm$ Δt_2 (s)	v ₁ (m/s)	$v_2 =$ $\bar{v}_2 \pm$ \bar{s}_v (cm/s)	Δv (m/s) = $v_2 -$ v_1	t ₃ (Δt,s)	a (m/s ²)
10	0	0.43 ± 0.001	0	23.25 ± 0.777	23.25 ± 0.777	0.43 ± 0.001	54.07
15	0	0.531 ± 0.005	0	28.26 ± 0.682	28.26 ± 0.682	0.531 ± 0.005	53.22
20	0	0.581 ± 0.002	0	34.41 ± 0.585	34.41 ± 0.585	0.581 ± 0.002	59.23
25	0	0.631 ± 0.004	0	39.6 ± 0.587	39.6 ± 0.587	0.631 ± 0.004	62.76
30	0	0.688 ± 0.009	0	43.61 ± 0.738	43.61 ± 0.738	0.688 ± 0.009	63.39
35	0	0.77 ± 0.001	0	45.48 ± 0.439	45.48 ± 0.439	0.77 ± 0.001	59.06
40	0	0.83 ± 0.005	0	48.17 ± 0.485	48.17 ± 0.485	0.83 ± 0.005	58.04

45	0	0.883 ± 0.003	0	50.98 ± 0.422	50.98 ± 0.422	0.883 ± 0.003	57.73
50	0	0.934 ± 0.002	0	53.53 ± 0.38	53.53 ± 0.38	0.934 ± 0.002	57.31

4. Hasil analisis data GLBB menggunakan *software TRACKER*

Hasil analisis data dan grafik interpretasi data GLB menggunakan *software TRACKER* dapat dilihat pada tabel 4.4.

Tabel 4. 4. Tabel hasil analisis data GLBB dari *software TRACKER*

$s =$ $\bar{s} \pm$ Δs (cm)	t_1 (s)	$t_2 =$ $\bar{t}_2 \pm$ Δt_2 (s)	v_1 (cm/s)	$v_2 =$ $\bar{v}_2 \pm$ \bar{s}_v (cm/s)	Δv (cm/s) $= v_2 - v_1$	$t_3(\Delta t, s)$	a (cm/s ²)
9.636 \pm 0.06	0	0.39 ± 0.011	0	24.94 ± 0.148	24.94 ± 0.148	0.39 ± 0.011	63.95
14.76 \pm 0.06	0	0.5 ± 0.007	0	29.58 ± 0.114	29.58 ± 0.114	0.5 ± 0.007	59.16
19.78 \pm 0.052	0	0.56 ± 0.008	0	35.17 ± 0.089	35.17 ± 0.089	0.56 ± 0.008	62.8
24.83 \pm 0.055	0	0.669 ± 0.006	0	37.14 ± 0.078	37.14 ± 0.078	0.669 ± 0.006	55.52
29.76 \pm 0.044	0	0.74 ± 0.009	0	40.29 ± 0.057	40.29 ± 0.057	0.74 ± 0.009	54.45
34.75 \pm 0.058	0	0.83 ± 0.017	0	42.05 ± 0.066	42.05 ± 0.066	0.83 ± 0.017	50.66
39.84 \pm 0.045	0	0.91 ± 0.011	0	43.84 ± 0.047	43.84 ± 0.047	0.91 ± 0.011	48.18
44.75 \pm 0.077	0	0.963 ± 0.004	0	46.31 ± 0.076	46.31 ± 0.076	0.963 ± 0.004	48.08

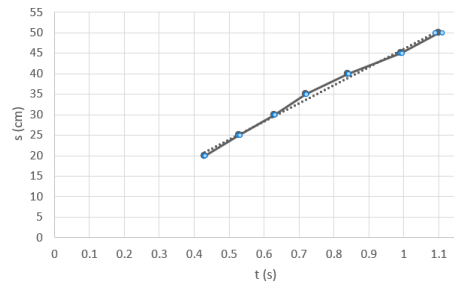
49.69 ± 0.07	0	0.989 ± 0.002	0	50.30 ± 0.068	50.3 ± 0.068	0.989 ± 0.002	50.86
--------------------	---	------------------	---	------------------	-----------------	------------------	-------

B. Pembahasan

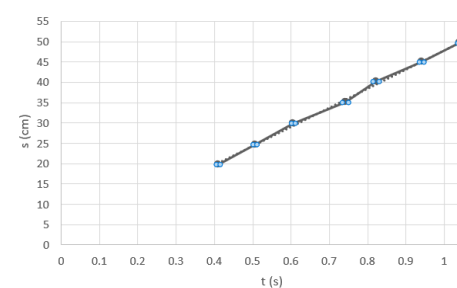
Pada pelaksanaan percobaan ini diulang sebanyak 10 kali untuk analisis menggunakan sensor maupun *software TRACKER* pada tiap-tiap GLB dan GLBB. Pada analisis GLB dan GLBB menggunakan sensor besaran yang terukur hanya waktu. Sedangkan pada analisis GLB dan GLBB menggunakan *software TRACKER* dapat mengukur besaran waktu, jarak/panjang, kecepatan dan percepatan. Perekaman video menggunakan *smartphone* Samsung Galaxy A20 yang mempunyai resolusi lensa 13MP.

Berdasarkan hasil analisis 1 dan hasil analisis 2 menunjukkan terjadinya perbedaan nilai pengukuran terhadap rata-rata kecepatan, dimana rata-rata analisis kecepatan Gerak Lurus Beraturan (GLB) pesawat Atwood menggunakan sensor didapat rata-rata kecepatan 46,89 cm/s dengan nilai simpangan baku terbesarnya 0,782 dan nilai simpangan baku terkecilnya 0,353. Sedangkan kecapatan rata-rata kecepatan analisis Gerak Lurus Beraturan GLB menggunakan *software TRACKER* sebesar 48,35 cm/s dengan nilai simpangan baku terbesarnya 0,331 dan nilai simpangan baku terkecilnya 0,085. Dapat diamati bahwa terjadi perbedaan selisih rata-rata kecepatan sebesar 1,46 cm/s antara analisis kecepatan GLB menggunakan sensor dengan analisis kecepatan GLB menggunakan *software TRACKER*. Selain itu dari gambar 4.1 hasil interpretasi data GLB menggunakan sensor dan gambar 4.2 hasil interpretasi data GLB menggunakan *software TRACKER*. Dimana jika masing-masing dibandingkan dengan grafik perhitungan teori hubungan jarak terhadap waktu pada GLB,

$$v = \tan \alpha = \frac{\Delta s}{\Delta t} \quad 4.1$$



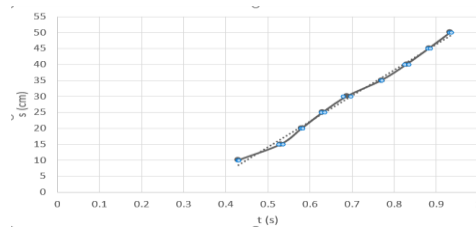
Gambar 4. 1. Grafik GLB posisi s terhadap waktu t menggunakan sensor IR-LED



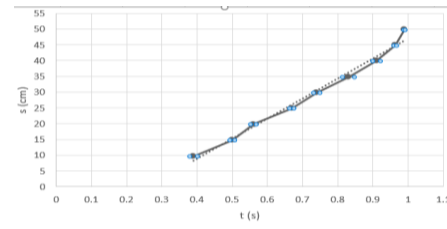
Gambar 4. 2 Grafik GLB posisi s terhadap waktu t menggunakan *software TRACKER*

Dapat dilihat bahwa simpangan baku yang ditandai dengan titik-titik warna biru, pada gambar 4.2 lebih besar daripada gambar 4.1. Nilai-nilai posisi terhadap perubahan waktu dari kedua grafik diatas yang tidak selalu linier, terjadi karena pengambilan data yang berulang dari masing-masing analisis yang menyebabkan perbedaan pada rata-rata nilai terukurnya.

Hasil analisis 3 dan 4, dimana mengalami perbedaan nilai percepatan. Dimana hasil analisis rata-rata percepatan Gerak Lurus Berubah Beraturan (GLBB) menggunakan sensor didapat $59,42 \text{ cm/s}^2$ dengan nilai simpangan baku kecepatan terbesarnya 0,777 dan nilai simpangan baku kecepatan terkecilnya 0,38. Sedangkan hasil analisis rata-rata percepatan Gerak Lurus Berubah Beraturan (GLBB) menggunakan *software TRACKER* didapat $54,85 \text{ cm/s}^2$ dengan nilai simpangan baku kecepatan terbesarnya 0,148 dan nilai simpangan baku kecepatan terkecilnya 0,047. Selisih percepatan antara hasil analisis GLBB menggunakan sensor dan hasil analisis GLBB menggunakan *software TRACKER* adalah 4.57 cm/s^2 . Dari gambar 4.3 dan 4.4 grafik GLBB hubungan antara posisi (s) terhadap waktu (t).

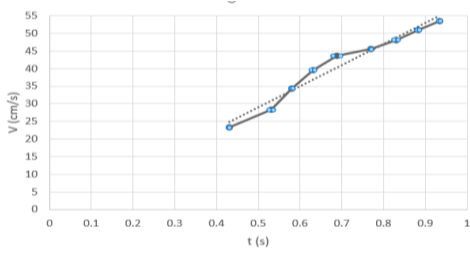


Gambar 4. 3. Grafik GLBB posisi s terhadap waktu t menggunakan sensor IR-LED

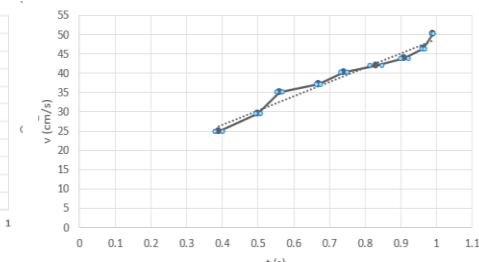


Gambar 4. 4. Grafik GLBB posisi s terhadap waktu t menggunakan software *TRACKER*

Bisa diamati bahwa simpangan baku yang ditandai titik berwarna biru pada gambar 4.4 lebih besar daripada gambar 4.3. Dari kedua gambar juga terlihat nilai-nilai perubahan posisi terhadap waktu yang tidak linier. Ini terjadi karena perbedaan rata-rata pengukuran pada setiap besaran yang terukur. Begitu juga dari hasil interpretasi data GLBB kecepatan terhadap waktu pada gambar 4.5 dan 4.6.



Gambar 4. 5. Grafik GLBB kecepatan v terhadap waktu t menggunakan sensor IR-LED



Gambar 4. 6. Grafik GLBB kecepatan v terhadap waktu t menggunakan software *TRACKER*

Simpangan baku yang ditandai titik-titik berwarna biru pada gambar 4.5 lebih besar daripada gambar 4.6. selain itu dari masing-masing gambar juga terlihat nilai-nilai kecepatan terhadap waktu yang tidak linier. Hal ini terjadi karena adanya perbedaan rata-rata pengukuran pada hasil besaran yang terukur dimasing-masing alat.

Berdasarkan selisih kecepatan, percepatan, adanya perbedaan nilai simpangan baku dan selisih dari ketelitian besaran terukur waktu t antara analisis GLB dan GLBB menggunakan sensor, dengan analisis GLB dan

GLBB menggunakan *software TRACKER*, menandakan terdapat perbedaan nilai pengukuran antar keduanya. Perbedaan nilai simpangan baku kecepatan terbesar dan nilai simpangan baku kecepatan terkecil antara keduanya, menandakan adanya perbedaan keakuratan pengukuran pada masing-masing besaran yang terukur. Begitu juga dengan perbedaan ketelitian besaran terukur waktu t, menunjukkan bahwa antara analisis menggunakan sensor dan analisis menggunakan *software TRACKER* didapat keakuratan pengukuran yang berbeda.

Hasil penelitian terdahulu yang dilakukan oleh Firman Nugraha dkk. (2017) tentang eksperimen GLB dan GLBB pesawat Atwood menggunakan aplikasi *TRACKER*, menyatakan bahwa penggunaan *TRACKER* pada pesawat Atwood menunjukkan karakteristik Gerak Lurus Berubah Beraturan dengan baik, dengan perubahan kecepatan 7,776%/detik pada setiap segmen geraknya. Supriyatna dan Liszulfah Roza (2021) yang membandingkan hasil perhitungan GLB dan GLBB secara otomatis menggunakan sensor inframerah dan manual (*stopwatch*) melaporkan hasil perhitungannya yaitu, kecepatan dengan mengukur waktu secara otomatis adalah 0,588 m/s, sedangkan mengukur waktu secara manual didapat 0,608 m/s. Terlihat ada perbedaan selisih kecepatan sebesar 0,02 m/s terhadap kecepatan dalam perhitungan secara otomatis. Untuk percepatan menunjukkan terjadi perbedaan nilai dimana percepatan dengan waktu secara otomatis didapat nilai $0,288 \text{ m/s}^2$ sedangkan untuk percepatan secara manual adalah $0,310 \text{ m/s}^2$. Terjadi selisih nilai untuk percepatan yaitu $0,022 \text{ m/s}^2$ (Supriyatna, 2021). Adanya perbedaan nilai dan selisih hasil kecepatan dan percepatan ini tentu menunjukkan adanya perbedaan keakuratan pada masing-masing alat pengukuran yang digunakan untuk menganalisis GLB dan GLBB. Hal ini sejalan dengan hasil penelitian yang telah dilakukan, dimana terjadi perbedaan hasil pengukuran menggunakan dua alat yang berbeda.

Ketidakpastian Mutlak (KM) adalah kesalahan terbesar yang mungkin timbul dalam pengukuran. Ketidakpastian mutlak sangat berkaitan dengan ketepatan pengukuran yaitu semakin kecil ketidakpastian mutlak,

makin tepat pengukuran tersebut. Δx disebut ketidakpastian mutlak pada nilai hasil pengukuran dan dapat digambarkan pada kualitas alat ukur baik atau tidak yang digunakan. Artinya semakin kecil ketidakpastian mutlak pengukuran yang dihasilkan maka kualitas alat ukur semakin baik (Astalini, 2020). Hasil analisis data didapati nilai rata-rata KM waktu t GLB menggunakan sensor adalah 0,003. Untuk nilai rata-rata KM waktu t pada analisis GLB menggunakan *software TRACKER* 0,006. Sedangkan untuk analisis GLBB menggunakan sensor didapat nilai rata-rata KM waktu t 0,004. Nilai rata-rata KM waktu t pada analisis GLBB menggunakan *software TRACKER* adalah 0,008. Dari hasil perbedaan nilai rata-rata Ketidakpastian Mutlak (KM) waktu t pada sensor dan *software TRACKER*. Dimana nilai rata-rata KM waktu t sensor lebih kecil daripada nilai rata-rata KM waktu t *software TRACKER* pada GLB dan GLBB, dapat disimpulkan bahwa kualitas alat ukur sensor lebih baik dibandingkan dengan *software TRACKER* yang digunakan untuk menganalisis GLB dan GLBB.

Hasil uji hipotesis

Uji hipotesis ini menggunakan uji *T Test Independent* dengan bantuan *software* SPSS untuk menarik kesimpulan antara hipotesis H_0 dan H_1 . Hasil uji hipotesis dapat dilihat pada tabel-tabel berikut.

Tabel 4. 5. Hasil uji *T test Independent* GLB untuk waktu terukur pada sensor dan *TRACKERER*

	<i>sig. (2-tailed)</i>	<i>Mean difference</i>	<i>Std. error difference</i>
<i>Equal variances assumed</i>	0.000	0.02398	0.00447
<i>Equal variances assumed</i>	0.000	0.02354	0.00483
<i>Equal variances assumed</i>	0.000	0.02427	0.00450
<i>Equal variances assumed</i>	0.007	-0.02223	0.00725
<i>Equal variances assumed</i>	0.020	0.01832	0.00720
<i>Equal variances assumed</i>	0.000	0.05157	0.00553
<i>Equal variances assumed</i>	0.003	0.04660	0.01334

Tabel 4.6. Hasi

Tabel 4. 6. Hasil uji *T test Independent* GLB untuk kecepatan pada sensor dan *TRACKER*

	<i>sig. (2-tailed)</i>	<i>Mean difference</i>	<i>Std. error difference</i>
<i>Equal variances assumed</i>	0.022	-1.46286	.55864

Tabel 4. 7. Hasil uji *T test Independent GLBB* untuk waktu terukur pada sensor dan *TRACKER*

	<i>sig. (2-tailed)</i>	<i>Mean difference</i>	<i>Std. eror difference</i>
<i>Equal variances assumed</i>	0.000	0.04368	0.00979
<i>Equal variances assumed</i>	0.002	0.03182	0.00856
<i>Equal variances assumed</i>	0.031	0.01890	0.00807
<i>Equal variances assumed</i>	0.007	-0.03715	0.00729
<i>Equal variances assumed</i>	0.01	-0.05063	0.01203
<i>Equal variances assumed</i>	0.002	-0.05676	0.01574
<i>Equal variances assumed</i>	0.000	-0.07837	0.00980
<i>Equal variances assumed</i>	0.000	-0.08362	0.00354
<i>Equal variances assumed</i>	0.000	-0.05390	0.00320

Tabel 4. 8. Hasil uji *T test Independent GLBB* untuk percepatan pada sensor dan *TRACKER*

	<i>sig. (2-tailed)</i>	<i>Mean difference</i>	<i>Std. eror difference</i>
<i>Equal variances assumed</i>	0.048	4.57222	2.13708

Dari tabel 4.5 hasil uji *T test Independent* GLB menggunakan sensor dan *TRACKER* didapati rata-rata nilai *sig. (2-tailed)* sebesar 0.004 dan dari tabel 4.6 sebesar 0.022. Sedangkan rata-rata nilai *sig. (2-tailed)* untuk hasil uji *T test Independent* GLBB pada tabel 4.7 adalah 0.006 dan tabel 4.8 didapati 0.048. Sesuai teori jika nilai *sig. (2-tailed)* < 0.05 maka terdapat perbedaan yang signifikan. Jika nilai *sig. (2-tailed)* > 0.05 maka tidak terdapat perbedaan yang signifikan. Oleh karena itu dapat disimpulkan bahwa ada perbedaan keakuratan antara hasil analisis pengukuran pesawat Atwood menggunakan sensor IR-LED dan *software pengolahan citra TRACKER* atau H_1 diterima.

BAB V

KESIMPULAN DAN SARAN

A. Kesimpulan

Berdasarkan analisis data dan pembahasan hasil penelitian, diketahui rata-rata kecepatan 46,89 cm/s untuk hasil analisis menggunakan sensor IR-LED dan 48,35 cm/s untuk rata-rata kecepatan analisis menggunakan *software TRACKER*. Rata-rata percepatan yang terukur adalah 59,42 cm/s² untuk analisis menggunakan sensor IR-LED dan 54,85 cm/s² untuk analisis menggunakan *software TRACKER*. Pada hasil uji *T test Independent* yang rata-rata nilai *sig. (2-tailed)* masih dibawah 0,05 maka bisa disimpulkan, bahwa terdapat perbedaan keakuratan pengukuran penggunaan sensor IR-LED dan *software TRACKER* untuk menganalisis GLB dan GLBB pada pesawat Atwood.

Begitu juga dengan nilai rata-rata Ketidakpastian Mutlak (KM) waktu t pada analisis GLB dan GLBB menggunakan sensor berturut-turut adalah 0,003 dan 0,004. Sedangkan untuk nilai rata-rata Ketidakpastian Mutlak (KM) waktu t pada analisis GLB dan GLBB menggunakan *software TRACKER* berturut-turut adalah 0,006 dan 0,008. Dari rata-rata nilai Ketidakpastian Mutlak (KM) antara sensor dengan *software TRACKER*, dapat disimpulkan bahwa alat ukur sensor IR-LED lebih baik daripada *software TRACKER* digunakan pada analisis GLB dan GLBB.

Hal ini terjadi karena analisis GLB dan GLBB menggunakan *software TRACKER*, dipengaruhi oleh kemampuan serta peletakan posisi kamera yang berdampak pada kualitas video yang diambil. Selain itu analisis dilakukan disetiap *frame* pada segmen geraknya, sehingga memungkinkan terjadi lebih banyak *human error*. Sedangkan pada analisis GLB dan GLBB menggunakan sensor IR-LED bisa mendapatkan hasil besaran terukur secara langsung. Selain itu kemudahan penggunaan set alat pesawat Atwood dengan sensor IR-LED adalah tidak memerlukan perangkat perekaman video dan tambahan *software* analisis untuk

mendapatkan nilai besaran terukurnya, sehingga dapat meminimalkan terjadinya *human error*.

B. Saran

Saran untuk penelitian serupa atau pengembangan agar menggunakan alat perekam yang lebih baik dan mampu digunakan merekam benda-benda dengan gerakan cepat. Juga memperhatikan posisi peswat Atwood dan alat perekam agar selalu sejajar. Selain itu set alat peswat Atwood menggunakan sensor dapat dikolaborasikan dengan *software* agar pencatatan besaran terukur dapat dilakukan secara otomatis supaya proses pengolahan data lebih mudah.

DAFTAR PUSTAKA

- Aminudin, M. (2022, Juni 16). *ACADEMIA*. Retrieved from <https://www.academia.edu/>:
https://www.academia.edu/25457097/PRAKTIKUM_FISIKA_DASAR_TEORI_RALAT
- Astalini, D. D. (2020, Januari 23). *fisdasI/pengukuran/analisis*. Retrieved from [fisika.fkip.unja.ac.id:](http://fisika.fkip.unja.ac.id/fisdasI/pengukuran/analisis.htm)
<http://fisika.fkip.unja.ac.id/fisdasI/pengukuran/analisis.htm>
- Firman Nugraha, R. W. (2017). EKSPERIMENTASI PESAWAT ATWOOD BERBASIS PENGOLAHAN APLIKASI TRACKER UNTUK MENGAMATI FENOMENA GERAK LURUS BERATURAN DAN GERAK LURUS BERUBAH BERATURAN PADA PEMBELAJARAN FISIKA. *Seminar Nasional Fisika*, 17.
- Firman Nugraha, R. W. (2017). EKSPERIMENTASI PESAWAT ATWOOD BERBASIS PENGOLAHAN APLIKASI TRACKER UNTUK MENGAMATI FENOMENA GERAK LURUS BERATURAN DAN GERAK LURUS BERUBAH BERATURAN PADA PEMBELAJARAN FISIKA SMA. *Seminar Nasional Fisika*, 19.
- Gangga Anuraga, A. I. (2021). PELATIHAN PENGUJIAN HIPOTESIS STATISTIKA DASAR DENGAN SOFTWARE R. *BUDIMAS*, 328.
- Jose, P. (2022, Juni 16). *ACADEMIA*. Retrieved from <https://www.academia.edu/>:
https://www.academia.edu/36188866/ANALISIS_DAN_INTERPRETASI_DATA_SURVEILENS
- M R Ridho, B. A. (2020). Analisis Korelasi Kecepatan dan Percepatan Saat Gerak Lurus Menggunakan Pesawat Atwood Berbasis Arduino dengan Sensor Logam. *Seminar Nasional Fisika (SNF)* (p. 58). Surabaya: Jurusan Fisika FMIPA UNESA.
- Riky Tri Yunardi, W. P. (2017). Analisa Kerja Sensor Infra Merah dan Ultrasonik Untuk Sistem Pengukuran Jarak pada Mobile Robot Inspection. *SETRUM*, 35.
- Sri Ratna Sulistiyanti, F. A. (2016). *PENGOLAHAN CITRA Dasar dan Contoh Penerapannya*. Yogyakarta: TEKNOSAIN.

- Supriyatna, L. R. (2021). ANALISIS KEAKURATAN SENSOR INFRAMERAH DAN STOPWATCH PADA PRAKTIK GLB DAN GLBB. *Jurnal Inovasi Penelitian*, 69.
- Supriyatna, L. R. (2021). ANALISIS KEAKURATAN SENSOR INFRAMERAH DAN STOPWATCH PADA PRAKTIK GLB DAN GLBB. *Jurnal Inovasi Penelitian*, 72.
- Suryo, M. (2012). *Makalah Pesawat Atwood*. Palembang: Teknik Kimia Universitas Sriwijaya.
- Syahrial, F. (2022, 16 Juni). SCRIBD. Retrieved from <https://www.scribd.com/>: <https://www.scribd.com/doc/310780821/Variabel-Penelitian-Eksperimen>
- Ummy Gusti Salamah, R. E. (2021). *Pengolahan Citra Digital*. Bandung: MEDIA SAINS INDONESIA.
- Wibowo, P. S. (2022, Juni 15). *PENGGUNAAN TRACKER PADA MATERI PEMBELAJARAN GERAK PARABOLA UNTUK MENINGKATKAN KEMAMPUAN INTERPRETASI GRAFIK SISWA*. Retrieved from <http://libunnes.ac.id>: <http://lib.unnes.ac.id/41464/1/4201415084.pdf>

LAMPIRAN

Lampiran 1. Hasil data GLB Sensor

S (m)	t (s)
0.2	0.4327
0.25	0.5313
0.3	0.6291
0.35	0.7365
0.4	0.8418
0.45	0.9955
0.5	1

S (m)	t (s)
0.2	0.4308
0.25	0.5357
0.3	0.6264
0.35	0.7283
0.4	0.8419
0.45	0.9954
0.5	1.075

S (m)	t (s)
0.2	0.4276
0.25	0.5234
0.3	0.6281
0.35	0.7265
0.4	0.8429
0.45	0.9957
0.5	1.065

S (m)	t (s)
0.2	0.4319
0.25	0.5216
0.3	0.6333
0.35	0.7305
0.4	0.8387
0.45	0.9849
0.5	1.118

S (m)	t (s)

0.2	0.4297
0.25	0.5372
0.3	0.6335
0.35	0.7335
0.4	0.8398
0.45	0.9975
0.5	1.122

S (m)	t (s)
0.2	0.4237
0.25	0.5218
0.3	0.6331
0.35	0.7291
0.4	0.8389
0.45	0.9991
0.5	1.097

S (m)	t (s)
0.2	0.4291
0.25	0.5254
0.3	0.6261
0.35	0.7301
0.4	0.8426
0.45	0.9944
0.5	1.062

S (m)	t (s)
0.2	0.4314
0.25	0.5317
0.3	0.6311
0.35	0.7297
0.4	0.8387
0.45	0.9881
0.5	1.114

S (m)	t (s)
0.2	0.4322
0.25	0.5301
0.3	0.6315
0.35	0.7284
0.4	0.8418
0.45	0.9934
0.5	1.125

Lampiran 2. Hasil data GLB *TRACKER*

s (m)	t (s)
0.1946	0.4
0.2508	0.533
0.3079	0.632
0.3474	0.766
0.4071	0.799
0.4562	0.967
0.4955	1.067

s (m)	t (s)
0.2009	0.399
0.2482	0.499
0.2946	0.599
0.3545	0.732
0.404	0.799
0.455	0.965
0.4928	1.031

s (m)	t (s)
0.1968	0.399
0.2441	0.499
0.2955	0.599
0.3464	0.766
0.4004	0.832
0.4496	0.931
0.4951	1.031

s (m)	t (s)
0.1986	0.399
0.2423	0.499
0.3045	0.632
0.3496	0.699
0.3969	0.832
0.4491	0.931
0.4987	1.031

s (m)	t (s)
0.2082	0.432
0.2468	0.499
0.3067	0.599
0.3514	0.732
0.3987	0.867
0.4433	0.931
0.4937	1.031

s (m)	t (s)
0.1959	0.399
0.2451	0.499
0.2914	0.599
0.3446	0.766
0.405	0.799
0.4437	0.931
0.4973	1.031

s (m)	t (s)
0.1968	0.432
0.2568	0.532
0.2995	0.599
0.3527	0.732
0.4009	0.832
0.4491	0.931
0.4977	1.031

s (m)	t (s)
0.1964	0.399
0.2459	0.499
0.2933	0.599
0.3513	0.732
0.4009	0.832
0.455	0.931
0.4937	1.031

s (m)	t (s)
0.1927	0.399
0.2468	0.499
0.295	0.599
0.3437	0.766
0.4032	0.832
0.4482	0.931
0.5018	1.065

s (m)	t (s)
0.1977	0.399
0.2409	0.499
0.3041	0.599
0.3609	0.732
0.4018	0.799
0.4482	0.965
0.4982	1.065

Lampiran 3. Hasil data GLBB Sensor

Δs (m)	t_1 (s)	t_2 (s)
0.1	0	0.4307
0.15	0	0.5406
0.2	0	0.5861
0.25	0	0.6338
0.3	0	0.6841
0.35	0	0.769
0.4	0	0.8463
0.45	0	0.8801
0.5	0	0.9467
Δs (m)	t_1 (s)	t_2 (s)
0.1	0	0.4261
0.15	0	0.5167
0.2	0	0.5894
0.25	0	0.6255
0.3	0	0.6794
0.35	0	0.7717
0.4	0	0.8147
0.45	0	0.8753
0.5	0	0.9311
Δs (m)	t_1 (s)	t_2 (s)
0.1	0	0.4323
0.15	0	0.5427
0.2	0	0.5881
0.25	0	0.6238
0.3	0	0.7146
0.35	0	0.7708
0.4	0	0.8277
0.45	0	0.9087
0.5	0	0.9407
Δs (m)	t_1 (s)	t_2 (s)
0.1	0	0.4333
0.15	0	0.5355
0.2	0	0.5758
0.25	0	0.6351
0.3	0	0.7134
0.35	0	0.7689
0.4	0	0.8231
0.45	0	0.8841
0.5	0	0.9355
Δs (m)	t_1 (s)	t_2 (s)

0.1	0	0.4254
0.15	0	0.5238
0.2	0	0.5822
0.25	0	0.6437
0.3	0	0.6726
0.35	0	0.7716
0.4	0	0.8612
0.45	0	0.8891
0.5	0	0.9235
Δs (m)	t_1 (s)	t_2 (s)
0.1	0	0.4335
0.15	0	0.5272
0.2	0	0.5761
0.25	0	0.6506
0.3	0	0.6818
0.35	0	0.7681
0.4	0	0.8182
0.45	0	0.8728
0.5	0	0.9325
Δs (m)	t_1 (s)	t_2 (s)
0.1	0	0.4323
0.15	0	0.5442
0.2	0	0.5861
0.25	0	0.6471
0.3	0	0.7217
0.35	0	0.7771
0.4	0	0.8386
0.45	0	0.8793
0.5	0	0.9319
Δs (m)	t_1 (s)	t_2 (s)
0.1	0	0.4275
0.15	0	0.4946
0.2	0	0.5774
0.25	0	0.6149
0.3	0	0.6429
0.35	0	0.7706
0.4	0	0.8162
0.45	0	0.8794
0.5	0	0.9266
Δs (m)	t_1 (s)	t_2 (s)
0.1	0	0.4296
0.15	0	0.5421

0.2	0	0.5709
0.25	0	0.6254
0.3	0	0.7164
0.35	0	0.7625
0.4	0	0.8244
0.45	0	0.8831
0.5	0	0.9302
Δs (m)	t_1 (s)	t_2 (s)
0.1	0	0.4301
0.15	0	0.5408
0.2	0	0.5809
0.25	0	0.6136
0.3	0	0.6528
0.35	0	0.7651
0.4	0	0.8339
0.45	0	0.8749
0.5	0	0.9413

Lampiran 4. Hasil data GLBB *TRACKER*

Δs (m)	t_1 (s)	t_2 (s)	v_1 (m/s)
0.09664	0	0.333	0
0.1518	0	0.466	0
0.1982	0	0.532	0
0.2513	0	0.632	0
0.2969	0	0.699	0
0.3503	0	0.765	0
0.4009	0	0.898	0
0.4451	0	0.968	0
0.4953	0	0.972	0
Δs (m)	t_1 (s)	t_2 (s)	v_1 (m/s)
0.09808	0	0.366	0
0.1471	0	0.499	0
0.1951	0	0.532	0
0.2491	0	0.699	0
0.2991	0	0.798	0
0.3477	0	0.865	0
0.3982	0	0.866	0
0.4466	0	0.965	0
0.4955	0	0.991	0
Δs (m)	t_1 (s)	t_2 (s)	v_1 (m/s)
0.09751	0	0.399	0
0.1485	0	0.499	0
0.1998	0	0.566	0
0.247	0	0.665	0
0.2956	0	0.765	0
0.3495	0	0.799	0
0.3971	0	0.899	0
0.4487	0	0.975	0
0.4966	0	0.986	0

Δs (m)	t_1 (s)	t_2 (s)	v_1 (m/s)
0.0975	0	0.432	0
0.1484	0	0.466	0
0.1991	0	0.566	0
0.2456	0	0.699	0
0.296	0	0.732	0
0.3468	0	0.798	0
0.4	0	0.932	0
0.4489	0	0.962	0
0.4998	0	0.995	0
Δs (m)	t_1 (s)	t_2 (s)	v_1 (m/s)
0.09422	0	0.399	0
0.1456	0	0.499	0
0.1974	0	0.599	0
0.2492	0	0.665	0
0.2981	0	0.732	0
0.3452	0	0.899	0
0.3979	0	0.932	0
0.45	0	0.968	0
0.4943	0	0.982	0
Δs (m)	t_1 (s)	t_2 (s)	v_1 (m/s)
0.09422	0	0.399	0
0.1456	0	0.499	0
0.1974	0	0.599	0
0.2492	0	0.665	0
0.2981	0	0.732	0
0.3452	0	0.799	0
0.3979	0	0.932	0
0.45	0	0.965	0
0.4943	0	0.988	0
Δs (m)	t_1 (s)	t_2 (s)	v_1 (m/s)
0.09314	0	0.399	0
0.1462	0	0.532	0
0.1969	0	0.566	0
0.2491	0	0.665	0
0.2998	0	0.732	0
0.349	0	0.899	0
0.3988	0	0.899	0
0.4491	0	0.965	0
0.5001	0	0.989	0

Δs (m)	t_1 (s)	t_2 (s)	v_1 (m/s)
0.0978	0	0.399	0
0.1476	0	0.499	0
0.1996	0	0.532	0
0.2485	0	0.665	0
0.2981	0	0.732	0
0.3477	0	0.832	0
0.3982	0	0.932	0
0.4477	0	0.959	0
0.4987	0	0.998	0
Δs (m)	t_1 (s)	t_2 (s)	v_1 (m/s)
0.09784	0	0.399	0
0.1476	0	0.499	0
0.1958	0	0.566	0
0.2473	0	0.665	0
0.2966	0	0.732	0
0.347	0	0.842	0
0.3991	0	0.866	0
0.445	0	0.969	0
0.4973	0	0.987	0
Δs (m)	t_1 (s)	t_2 (s)	v_1 (m/s)
0.09665	0	0.399	0
0.1477	0	0.532	0
0.1987	0	0.566	0
0.2467	0	0.665	0
0.2973	0	0.732	0
0.3462	0	0.765	0
0.3962	0	0.932	0
0.4434	0	0.967	0
0.4969	0	0.991	0

Lampiran 5. Hasil ralat pengamatan waktu t (s) GLB sensor

Pengukuran ke-	Nilai terukur (s)	Deviasi (s)	Kuadrat deviasi	Δx	Ketelitian
1	0.4027	0.00789	6.22521E-05	0.011488298	99.9885117
2	0.3828	0.01201	0.00014424	-	99.99%
3	0.3876	0.00721	5.19841E-05	-	
4	0.3919	0.00291	8.4681E-06		
5	0.3977	0.00289	8.3521E-06	-	
6	0.3897	0.00511	2.61121E-05		
7	0.4237	0.02889	0.000834632	-	
8	0.3911	0.00371	1.37641E-05	-	
9	0.3904	0.00441	1.94481E-05	-	
10	0.3905	0.00431	1.85761E-05		
n=10	0.39481		0.001187829		

Pengukuran Ke-	Nilai Terukur t (s)	Deviasi (s)	Kuadrat Deviasi	Δx	Ketelitian
1	0.4992	0.01091	0.000119028	0.005017	99.99498
2	0.4835	-0.00479	2.29441E-05	-	99.99%
3	0.4853	-0.00299	8.9401E-06		
4	0.4859	-0.00239	5.7121E-06		
5	0.4851	-0.00319	1.01761E-05		
6	0.4846	-0.00369	1.36161E-05		
7	0.4921	0.00381	1.45161E-05		
8	0.4854	-0.00289	8.3521E-06		
9	0.4917	0.00341	1.16281E-05		
10	0.4901	0.00181	3.2761E-06		
	0.48829		0.000226541		

Pengukuran ke-	Nilai terukur t (s)	Deviasi (s)	Kuadrat deviasi	Δx	Ketelitian
1	0.6191	0.01932	0.000373262	0.007559	99.99244
2	0.5964	-0.00338	1.14244E-05	-	99.99%
3	0.5981	-0.00168	2.8224E-06		
4	0.6033	0.00352	1.23904E-05		
5	0.5961	-0.00368	1.35424E-05		

6	0.5935	-0.00628	3.94384E-05
7	0.5931	-0.00668	4.46224E-05
8	0.5961	-0.00368	1.35424E-05
9	0.6011	0.00132	1.7424E-06
10	0.601	0.00122	1.4884E-06
n=10	0.59978		0.000514276

Pengukuran ke-	Nilai terukur (s)	Deviasi (s)	Kuadrat deviasi	Δx	Ketelitian n
				0.00641	
1	0.7205	0.01143	0.000130645	6	99.99358
2	0.7123	0.00323	1.04329E-05		99.99%
3	0.7045	-0.00457	2.08849E-05		
4	0.7005	-0.00857	7.34449E-05		
5	0.7041	-0.00497	2.47009E-05		
6	0.7055	-0.00357	1.27449E-05		
7	0.7121	0.00303	9.1809E-06		
8	0.7091	3E-05	9E-10		
9	0.7047	-0.00437	1.90969E-05		
10	0.7174	0.00833	6.93889E-05		
n=10	0.70907		0.000370521		

Pengukuran ke-	Nilai terukur (s)	Deviasi (s)	Kuadrat deviasi	Δx	Ketelitian
1	0.8218	0.01167	0.000136	0.009352	99.99065
2	0.8039	-0.00623	3.88E-05		99.99%
3	0.8109	0.00077	5.93E-07		
4	0.8287	0.01857	0.000345		
5	0.8091	-0.00103	1.06E-06		
6	0.7991	-0.01103	0.000122		
7	0.8085	-0.00163	2.66E-06		
8	0.8126	0.00247	6.1E-06		
9	0.7987	-0.01143	0.000131		
10	0.808	-0.00213	4.54E-06		
n=10	0.81013		0.000787		

Pengukuran ke-	Nilai terukur (s)	Deviasi (s)	Kuadrat deviasi	Δx	Ketelitian n
				0.00877	
1	0.9255	0.00153	2.3409E-06	1	99.99123
2	0.9354	0.01143	0.000130645		99.99%
3	0.9157	-0.00827	6.83929E-05		

4	0.9249	0.00093	8.649E-07
5	0.9157	-0.00827	6.83929E-05
6	0.9375	0.01353	0.000183061
7	0.9191	-0.00487	2.37169E-05
8	0.9144	-0.00957	9.15849E-05
9	0.9181	-0.00587	3.44569E-05
10	0.9334	0.00943	8.89249E-05
n=10	0.92397		0.000692381

Pengukuran ke-	Nilai terukur t (s)	Deviasi (s)	Kuadrat deviasi		Δx	Ketelitian
1	1	0.0203	0.00041209	0.008994	99.99101	
2	1.015	-0.0077	5.929E-05			99.99%
3	1.015	-0.0077	5.929E-05			
4	1.018	-0.0047	2.209E-05			
5	1.02	-0.0027	7.29E-06			
6	1.022	-0.0007	4.9E-07			
7	1.017	-0.0057	3.249E-05			
8	1.02	-0.0027	7.29E-06			
9	1.034	0.0113	0.00012769			
10	1.023	0.0003	9E-08			
n=10	1.0227		0.0007281			

Lampiran 6. Hasil ralat pengamatan GLB waktu t (s) *TRACKER*

Pengukuran ke-	Nilai terukur t (s)	Deviasi t (s)	Kuadrat deviasi	Δx	Ketelitian
1	0.4	-0.0057	3.249E-05	0.013865	99.98614
2	0.399	-0.0067	4.489E-05		99.99%
3	0.399	-0.0067	4.489E-05		
4	0.399	-0.0067	4.489E-05		
5	0.432	0.0263	0.00069169		
6	0.399	-0.0067	4.489E-05		
7	0.432	0.0263	0.00069169		
8	0.399	-0.0067	4.489E-05		
9	0.399	-0.0067	4.489E-05		
10	0.399	-0.0067	4.489E-05		
n=10	0.4057		0.0017301		

Pengukuran ke-	Nilai terukur t (s)	Deviasi t (s)	Kuadrat deviasi	Δx	Ketelitian
1	0.533	0.0273	0.00074529	0.014127	99.98587
2	0.499	-0.0067	4.489E-05		99.99%
3	0.499	-0.0067	4.489E-05		
4	0.499	-0.0067	4.489E-05		
5	0.499	-0.0067	4.489E-05		
6	0.499	-0.0067	4.489E-05		
7	0.532	0.0263	0.00069169		
8	0.499	-0.0067	4.489E-05		
9	0.499	-0.0067	4.489E-05		
10	0.499	-0.0067	4.489E-05		
n=10	0.5057		0.0017961		

Pengukuran ke-	Nilai terukur t (s)	Deviasi t (s)	Kuadrat deviasi	Δx	Ketelitian
1	0.667	0.0513	0.00263169	0.02381	99.97619
2	0.599	-0.0167	0.00027889		99.98%
3	0.599	-0.0167	0.00027889		
4	0.632	0.0163	0.00026569		
5	0.632	0.0163	0.00026569		
6	0.599	-0.0167	0.00027889		
7	0.599	-0.0167	0.00027889		
8	0.599	-0.0167	0.00027889		
9	0.599	-0.0167	0.00027889		
10	0.632	0.0163	0.00026569		
n=10	0.6157		0.0051021		

Pengukuran ke-	Nilai terukur t (s)	Deviasi t (s)	Kuadrat deviasi	Δx	Ketelitian
1	0.733	0.0141	0.00019881	0.01713	99.98287
2	0.732	0.0131	0.00017161		99.98%
3	0.699	-0.0199	0.00039601		
4	0.699	-0.0199	0.00039601		
5	0.732	0.0131	0.00017161		
6	0.699	-0.0199	0.00039601		
7	0.732	0.0131	0.00017161		
8	0.732	0.0131	0.00017161		
9	0.699	-0.0199	0.00039601		
10	0.732	0.0131	0.00017161		
n=10	0.7189		0.0026409		

Pengukuran ke-	Nilai terukur t (s)	Deviasi t (s)	Kuadrat deviasi	Δx	Ketelitian
1	0.867	0.0315	0.00099225	0.011068	99.98893
2	0.832	-0.0035	1.225E-05		99.99%
3	0.832	-0.0035	1.225E-05		
4	0.832	-0.0035	1.225E-05		
5	0.832	-0.0035	1.225E-05		
6	0.832	-0.0035	1.225E-05		
7	0.832	-0.0035	1.225E-05		
8	0.832	-0.0035	1.225E-05		
9	0.832	-0.0035	1.225E-05		
10	0.832	-0.0035	1.225E-05		
n=10	0.8355		0.0011025		

Pengukuran ke-	Nilai terukur t (s)	Deviasi t (s)	Kuadrat deviasi	Δx	Ketelitian
1	0.967	0.0256	0.00065536	0.016754	99.98325
2	0.965	0.0236	0.00055696		99.98%
3	0.931	-0.0104	0.00010816		
4	0.931	-0.0104	0.00010816		
5	0.931	-0.0104	0.00010816		
6	0.931	-0.0104	0.00010816		
7	0.931	-0.0104	0.00010816		
8	0.931	-0.0104	0.00010816		
9	0.931	-0.0104	0.00010816		
10	0.965	0.0236	0.00055696		
n=10	0.9414		0.0025264		

Pengukuran ke-	Nilai terukur t (s)	Deviasi t (s)	Kuadrat deviasi	Δx	Ketelitian

1	1.067	0.0256	0.00065536	0.016754	99.98325
2	1.031	-0.0104	0.00010816		99.98%
3	1.031	-0.0104	0.00010816		
4	1.031	-0.0104	0.00010816		
5	1.031	-0.0104	0.00010816		
6	1.031	-0.0104	0.00010816		
7	1.031	-0.0104	0.00010816		
8	1.031	-0.0104	0.00010816		
9	1.065	0.0236	0.00055696		
10	1.065	0.0236	0.00055696		
n=10	1.0414		0.0025264		

Lampiran 7. Hasil ralat pengamatan posisi s (m) GLB *TRACKER*

Pengukuran ke-	Nilai terukur s (m)	Deviasi s (m)	Kuadrat deviasi	Δx	Ketelitian
1	0.1946	-0.00326	1.06276E-05	0.004245	99.99575
2	0.2009	0.00304	9.2416E-06		100.00%
3	0.1968	-0.00106	1.1236E-06		
4	0.1986	0.00074	5.476E-07		
5	0.2082	0.01034	0.000106916		
6	0.1959	-0.00196	3.8416E-06		
7	0.1968	-0.00106	1.1236E-06		
8	0.1964	-0.00146	2.1316E-06		
9	0.1927	-0.00516	2.66256E-05		
10	0.1977	-0.00016	2.56E-08		
n=10	0.19786		0.000162204		

Pengukuran ke-	Nilai terukur s (m)	Deviasi s (m)	Kuadrat deviasi	Δx	Ketelitian
1	0.2508	0.00403	1.62409E-05	0.004522	99.99548
2	0.2482	0.00143	2.0449E-06		100.00%
3	0.2441	-0.00267	7.1289E-06		
4	0.2423	-0.00447	1.99809E-05		
5	0.2468	3E-05	9E-10		
6	0.2451	-0.00167	2.7889E-06		
7	0.2568	0.01003	0.000100601		
8	0.2459	-0.00087	7.569E-07		
9	0.2468	3E-05	9E-10		
10	0.2409	-0.00587	3.44569E-05		
n=10	0.24677		0.000184001		

Pengukuran ke-	Nilai terukur s (m)	Deviasi s (m)	Kuadrat deviasi	Δx	Ketelitian
1	0.3079	0.00865	7.48225E-05	0.006075863	99.99392
2	0.2946	-0.00465	2.16225E-05		99.99%
3	0.2955	-0.00375	1.40625E-05		
4	0.3045	0.00525	2.75625E-05		
5	0.3067	0.00745	5.55025E-05		
6	0.2914	-0.00785	6.16225E-05		
7	0.2995	0.00025	6.25E-08		
8	0.2933	-0.00595	3.54025E-05		
9	0.295	-0.00425	1.80625E-05		
10	0.3041	0.00485	2.35225E-05		
n=10	0.29925		0.000332245		

Pengukuran ke-	Nilai terukur s (m)	Deviasi s (m)	Kuadrat deviasi	Δx	Ketelitian
				0.0051435	99.9948564
1	0.3474	-0.00285	8.1225E-06	5	5
2	0.3545	0.00425	1.80625E-05		99.99%
3	0.3464	-0.00385	1.48225E-05		
4	0.3496	-0.00065	4.225E-07		
5	0.3514	0.00115	1.3225E-06		
6	0.3446	-0.00565	3.19225E-05		
7	0.3527	0.00245	6.0025E-06		
8	0.3513	0.00105	1.1025E-06		
9	0.3437	-0.00655	4.29025E-05		
			0.00011342		
10	0.3609	0.01065	3		
			0.00023810		
n=10	0.35025			5	

Pengukuran ke-	Nilai terukur s (m)	Deviasi s (m)	Kuadrat deviasi	Δx	Ketelitian
1	0.4071	0.00521	2.71441E-05	0.003023	99.99698
2	0.404	0.00211	4.4521E-06		100.00%
3	0.4004	-0.00149	2.2201E-06		
4	0.3969	-0.00499	2.49001E-05		
5	0.3987	-0.00319	1.01761E-05		
6	0.405	0.00311	9.6721E-06		
7	0.4009	-0.00099	9.801E-07		
8	0.4009	-0.00099	9.801E-07		
9	0.4032	0.00131	1.7161E-06		
10	0.4018	-9E-05	8.1E-09		
n=10	0.40189		8.2249E-05		

Pengukuran ke-	Nilai terukur s (m)	Deviasi s (m)	Kuadrat deviasi	Δx	Ketelitian
1	0.4562	0.00646	4.17316E-05	0.00448	99.99552
2	0.455	0.00526	2.76676E-05		100.00%
3	0.4496	-0.00014	1.96E-08		
4	0.4491	-0.00064	4.096E-07		
5	0.4433	-0.00644	4.14736E-05		
6	0.4437	-0.00604	3.64816E-05		
7	0.4491	-0.00064	4.096E-07		
8	0.455	0.00526	2.76676E-05		
9	0.4482	-0.00154	2.3716E-06		
10	0.4482	-0.00154	2.3716E-06		
n=10	0.44974		0.000180604		

Pengukuran ke-	Nilai terukur s (m)	Deviasi s (m)	Kuadrat deviasi	Δx	Ketelitian
1	0.4955	-0.00095	9.025E-07	0.002793	99.99721
2	0.4928	-0.00365	1.33225E-05		100.00%
3	0.4951	-0.00135	1.8225E-06		
4	0.4987	0.00225	5.0625E-06		
5	0.4937	-0.00275	7.5625E-06		
6	0.4973	0.00085	7.225E-07		
7	0.4977	0.00125	1.5625E-06		
8	0.4937	-0.00275	7.5625E-06		
9	0.5018	0.00535	2.86225E-05		
10	0.4982	0.00175	3.0625E-06		
n=10	0.49645		7.0205E-05		

Pengukuran ke-	Nilai terukur s (m)	Deviasi s (m)	Kuadrat deviasi	Δx	Ketelitian
1	0.4955	-0.00095	9.025E-07	0.002793	99.99721
2	0.4928	-0.00365	1.33225E-05		100.00%
3	0.4951	-0.00135	1.8225E-06		
4	0.4987	0.00225	5.0625E-06		
5	0.4937	-0.00275	7.5625E-06		
6	0.4973	0.00085	7.225E-07		
7	0.4977	0.00125	1.5625E-06		
8	0.4937	-0.00275	7.5625E-06		
9	0.5018	0.00535	2.86225E-05		
10	0.4982	0.00175	3.0625E-06		
n=10	0.49645		7.0205E-05		

Lampiran 8. Hasil ralat perambatan GLB sensor

s (cm)	Δs	t (s)	\bar{v}	$t - \bar{t}$	$(t - t_{\text{rata-rata}})^2$	\bar{s}_v
20	0.5	0.4327 0.4308 0.4276 0.4319 0.4277 0.4297 0.4237 0.4291 0.4314 0.4322 0.42968	46.54626699	0.00302 0.00112 -0.00208 0.00222 -0.00198 2E-05 -0.00598 -0.00058 0.00172 0.00252 0.00087531	9.1204E-06 1.2544E-06 4.3264E-06 4.9284E-06 3.9204E-06 4E-10 3.57604E-05 3.364E-07 2.9584E-06 6.3504E-06 6.8956E-05 0.00087531	0.78154 5 6
25	0.5	0.5313 0.5357 0.5234 0.5216 0.5342 0.5372 0.5218 0.5254 0.5317 0.5301 0.52924	47.23755	0.00206 0.00646 -0.00584 -0.00764 0.00496 0.00796 -0.00744 -0.00384 0.00246 0.00086 0.000303304 0.001835768	4.2436E-06 4.17316E-05 3.41056E-05 5.83696E-05 2.46016E-05 6.33616E-05 5.53536E-05 1.47456E-05 6.0516E-06 7.396E-07	0.650798
30	0.5	0.6291 0.6264 0.6281 0.6333 0.6265 0.6335 0.6331 0.6261 0.6311 0.6315	47.62888	-0.00077 -0.00347 -0.00177 0.00343 -0.00337 0.00363 0.00323 -0.00377 0.00123 0.00163	5.929E-07 1.20409E-05 3.1329E-06 1.17649E-05 1.13569E-05 1.31769E-05 1.04329E-05 1.42129E-05 1.5129E-06 2.6569E-06	0.534043

			0.62987		8.0881E-05		
				\bar{v}	$t - \bar{t}$	\bar{s}_v	
s (cm)	Δs	t (s)			$(t - t_{\text{rata-rata}})^2$		
35	0.5	0.7265	48.60639	0.00643	4.13449E-05	0.467105	
		0.7183		-0.00177	3.1329E-06		
		0.7165		-0.00357	1.27449E-05		
		0.7205		0.00043	1.849E-07		
		0.7181		-0.00197	3.8809E-06		
		0.7235		0.00343	1.17649E-05		
		0.7191		-0.00097	9.409E-07		
		0.7201		3E-05	9E-10		
		0.7197		-0.00037	1.369E-07		
		0.7184		-0.00167	2.7889E-06		
		0.72007			7.6921E-05		
					0.000924488		
			\bar{v}	$t - \bar{t}(t - t_{\text{rata-}})$	\bar{s}_v		
				$\text{rata})^2$			
40	0.5	0.8418	47.58393	0.00118	1.3924E-06	0.397737	
		0.8419		0.00128	1.6384E-06		
		0.8429		0.00228	5.1984E-06		
		-		-			
		0.8387		0.00192	3.6864E-06		
		-		-			
		0.8391		0.00152	2.3104E-06		
		-		-			
		0.8398		0.00082	6.724E-07		
		-		-			
		0.8389		0.00172	2.9584E-06		
		0.8426		0.00198	3.9204E-06		
		-		-			
		0.8387		0.00192	3.6864E-06		
		0.8418		0.00118	1.3924E-06		
		0.84062			2.6856E-05		
					0.00054626		
			\bar{v}	$t - \bar{t}$	$(t - t_{\text{rata-}})$	\bar{s}_v	
					$\text{rata})^2$		
45	0.5	0.9955	45.31859	0.00253	6.4009E-06	0.343253	
		0.9954		0.00243	5.9049E-06		
		0.9957		0.00273	7.4529E-06		
		0.9849		-0.00807	6.51249E-05		
		0.9857		-0.00727	5.28529E-05		
		0.9975		0.00453	2.05209E-05		

			0.9991	0.00613	3.75769E-05	
			0.9944	0.00143	2.0449E-06	
			0.9881	-0.00487	2.37169E-05	
			0.9934	0.00043	1.849E-07	
			0.99297		0.000221781	
					0.001569788	
s (cm)	Δs	t (s)		\bar{v}	$t - \bar{t}$	\bar{s}_v
50	0.5	1	45.31366	0.05078	0.002578608	0.486423
		1.075		-0.02842	0.000807696	
		1.065		-0.03842	0.001476096	
		1.118		0.01458	0.000212576	
		1.102		-0.00142	2.0164E-06	
		1.122		0.01858	0.000345216	
		1.097		-0.00642	4.12164E-05	
		1.062		-0.04142	0.001715616	
		1.114		0.01058	0.000111936	
		1.125		0.02158	0.000465696	
		1.10342			0.007756676	
					0.009283603	

Lampiran 9. Hasil ralat perambatan GLB *TRACKER*

s (cm)	t (s)	s - s rata- rata	(s - s rata- rata) ²	t - t rata- rata	(t - t rata- rata) ²	\bar{S}_v	\bar{v}
19.46	0.4	0.326	0.106276	-0.0057	3.249E-05	0.330906	48.77003
20.09	0.399	0.304	0.092416	-0.0067	4.489E-05		
		-					
19.68	0.399	0.106	0.011236	-0.0067	4.489E-05		
19.86	0.399	0.074	0.005476	-0.0067	4.489E-05		
20.82	0.432	1.034	1.069156	0.0263	0.00069169		
		-					
19.59	0.399	0.196	0.038416	-0.0067	4.489E-05		
		-					
19.68	0.432	0.106	0.011236	0.0263	0.00069169		
		-					
19.64	0.399	0.146	0.021316	-0.0067	4.489E-05		
		-					
19.27	0.399	0.516	0.266256	-0.0067	4.489E-05		
		-					
19.77	0.399	0.016	0.000256	-0.0067	4.489E-05		
		-					
		-1.4E-		4.44089E-			
19.786	0.4057	14	1.62204	16	0.0017301		
			0.134248526		0.004384442		

s (cm)	t (s)	s - s rata- rata	(s - s rata- rata) ²	t - t rata- rata	(t - t rata- rata) ²	\bar{S}_v	\bar{v}
25.08	0.533	0.403	0.162409	0.0273	0.00074529	0.282746	48.79771
24.82	0.499	0.143	0.020449	-0.0067	4.489E-05		
24.41	0.499	-0.267	0.071289	-0.0067	4.489E-05		
24.23	0.499	-0.447	0.199809	-0.0067	4.489E-05		
24.68	0.499	0.003	9E-06	-0.0067	4.489E-05		
24.51	0.499	-0.167	0.027889	-0.0067	4.489E-05		
25.68	0.532	1.003	1.006009	0.0263	0.00069169		
24.59	0.499	-0.087	0.007569	-0.0067	4.489E-05		
24.68	0.499	0.003	9E-06	-0.0067	4.489E-05		
24.09	0.499	-0.587	0.344569	-0.0067	4.489E-05		
		3.55E-		7.77156E-			
24.677	0.5057	15	1.84001	16	0.0017961		
			0.142984459		0.004467289		

s (cm)	t (s)	s - s rata-rata	(s - s rata- rata) ²	t - t rata- rata	(t - t rata- rata) ²	\bar{S}_v	\bar{v}

						0.000696	0.31726	49.413
30.79	0.632	0.865	0.748225	0.0264	96		5	8
29.46	0.599	-0.465	0.216225	-0.0066	4.356E-05			
29.55	0.599	-0.375	0.140625	-0.0066	4.356E-05			
					0.000696			
30.45	0.632	0.525	0.275625	0.0264	96			
30.67	0.599	0.745	0.555025	-0.0066	4.356E-05			
29.14	0.599	-0.785	0.616225	-0.0066	4.356E-05			
29.95	0.599	0.025	0.000625	-0.0066	4.356E-05			
29.33	0.599	-0.595	0.354025	-0.0066	4.356E-05			
29.5	0.599	-0.425	0.180625	-0.0066	4.356E-05			
30.41	0.599	0.485	0.235225	-0.0066	4.356E-05			
		-		-	-			
29.92	0.605	7.10543		1.55431E	0.001742			
5	6	E-15	3.32245	-15	4			
			0.1921356					
			58		0.0044			

s (cm)	t (s)	s - s rata- rata	(s - s rata- rata) ²	t - t rata- rata	(t - t rata- rata) ²	\bar{S}_v	\bar{v}
34.74	0.766	-0.285	0.081225	0.0237	0.00056169	0.219121	47.18443
35.45	0.732	0.425	0.180625	-0.0103	0.00010609		
34.64	0.766	-0.385	0.148225	0.0237	0.00056169		
34.96	0.699	-0.065	0.004225	-0.0433	0.00187489		
35.14	0.732	0.115	0.013225	-0.0103	0.00010609		
34.46	0.766	-0.565	0.319225	0.0237	0.00056169		
35.27	0.732	0.245	0.060025	-0.0103	0.00010609		
35.13	0.732	0.105	0.011025	-0.0103	0.00010609		
34.37	0.766	-0.655	0.429025	0.0237	0.00056169		
36.09	0.732	1.065	1.134225	-0.0103	0.00010609		
				-			
35.025	0.7423	2.84E- 14	2.38105	7.77156E- 16	0.0046521		
			0.162653346		0.007189576		

s (cm)	t (s)	s - s rata- rata	(s - s rata- rata) ²	t - t rata- rata	(t - t rata- rata) ²	\bar{S}_v	\bar{v}
40.71	0.799	0.521	0.271441	-0.0233	0.00054289	0.116256	48.87389
40.4	0.799	0.211	0.044521	-0.0233	0.00054289		
40.04	0.832	-0.149	0.022201	0.0097	9.409E-05		
39.69	0.832	-0.499	0.249001	0.0097	9.409E-05		
39.87	0.867	-0.319	0.101761	0.0447	0.00199809		
40.5	0.799	0.311	0.096721	-0.0233	0.00054289		

40.09	0.832	-0.099	0.009801	0.0097	9.409E-05
40.09	0.832	-0.099	0.009801	0.0097	9.409E-05
40.32	0.832	0.131	0.017161	0.0097	9.409E-05
40.18	0.799	-0.009	8.1E-05	-0.0233	0.00054289
				7.77156E-	
40.189	0.8223	0	0.82249	16	0.0046401
			0.095596955		0.007180297

s (cm)	t (s)	s - s rata- rata	(s - s rata- rata) ²	t - t rata- rata	(t - t rata- rata) ²	\bar{S}_v	\bar{v}
45.62	0.967	0.646	0.417316	0.0256	0.00065536	0.150476	47.77353
45.5	0.965	0.526	0.276676	0.0236	0.00055696		
		-					
44.96	0.931	0.014	0.000196	-0.0104	0.00010816		
		-					
44.91	0.931	0.064	0.004096	-0.0104	0.00010816		
		-					
44.33	0.931	0.644	0.414736	-0.0104	0.00010816		
		-					
44.37	0.931	0.604	0.364816	-0.0104	0.00010816		
		-					
44.91	0.931	0.064	0.004096	-0.0104	0.00010816		
45.5	0.931	0.526	0.276676	-0.0104	0.00010816		
		-					
44.82	0.931	0.154	0.023716	-0.0104	0.00010816		
		-					
44.82	0.965	0.154	0.023716	0.0236	0.00055696		
		-5E-		1.11022E-			
44.974	0.9414	14	1.80604	16	0.0025264		
			0.141658431		0.005298218		

s (cm)	t (s)	s - s rata- rata	(s - s rata- rata) ²	t - t rata- rata	(t - t rata- rata) ²	\bar{S}_v	\bar{v}
49.55	1.067	-0.095	0.009025	0.0256	0.0006553	0.0848	47.671
					6	1	4
					0.0001081		
49.28	1.031	-0.365	0.133225	-0.0104		6	
					0.0001081		
49.51	1.031	-0.135	0.018225	-0.0104		6	
					0.0001081		
49.87	1.031	0.225	0.050625	-0.0104		6	
					0.0001081		
49.37	1.031	-0.275	0.075625	-0.0104		6	
					0.0001081		
49.73	1.031	0.085	0.007225	-0.0104		6	

					0.0001081
49.77	1.031	0.125	0.015625	-0.0104	6
					0.0001081
49.37	1.031	-0.275	0.075625	-0.0104	6
					0.0005569
50.18	1.065	0.535	0.286225	0.0236	6
					0.0005569
49.82	1.065	0.175	0.030625	0.0236	6
49.64	1.041	2.84217		4.44089	
5	4	E-14	0.70205	E-16	0.0025264
			0.0883207		0.0052982
				54	18

Lampiran 10. Hasil ralat pengamatan waktu t (s) GLBB sensor

Pengukuran ke-	Nilai terukur (s)	Deviasi (s)	Kuadrat deviasi	Δx	Ketelitian
1	0.4307	0.00062	3.844E-07	0.002924	99.99708
2	0.4261	-0.00398	1.58404E-05		100.00%
3	0.4323	0.00222	4.9284E-06		
4	0.4333	0.00322	1.03684E-05		
5	0.4254	-0.00468	2.19024E-05		
6	0.4335	0.00342	1.16964E-05		
7	0.4323	0.00222	4.9284E-06		
8	0.4275	-0.00258	6.6564E-06		
9	0.4296	-0.00048	2.304E-07		
10	0.4301	2E-05	4E-10		
n=10	0.43008		7.6936E-05		
Pengukuran ke-	Nilai terukur (s)	Deviasi (s)	Kuadrat deviasi	Δx	Ketelitian
1	0.5406	0.00978	9.56484E-05	0.01577	99.98423
2	0.5167	-0.01412	0.000199374		99.98%
3	0.5427	0.01188	0.000141134		
4	0.5355	0.00468	2.19024E-05		
5	0.5238	-0.00702	4.92804E-05		
6	0.5272	-0.00362	1.31044E-05		
7	0.5442	0.01338	0.000179024		
8	0.4946	-0.03622	0.001311888		
9	0.5421	0.01128	0.000127238		
10	0.5408	0.00998	9.96004E-05		
n=10	0.53082		0.002238196		
Pengukuran ke-	Nilai terukur (s)	Deviasi (s)	Kuadrat deviasi	Δx	Ketelitian
1	0.5861	0.0048	2.304E-05	0.006142	99.99386
2	0.5894	0.0081	6.561E-05		99.99%
3	0.5881	0.0068	4.624E-05		
4	0.5758	-0.0055	3.025E-05		
5	0.5822	0.0009	8.1E-07		
6	0.5761	-0.0052	2.704E-05		
7	0.5861	0.0048	2.304E-05		
8	0.5774	-0.0039	1.521E-05		
9	0.5709	-0.0104	0.00010816		
10	0.5809	-0.0004	1.6E-07		
n=10	0.5813		0.00033956		
Pengukuran ke-	Nilai terukur (s)	Deviasi (s)	Kuadrat deviasi	Δx	Ketelitian
1	0.6338	0.00245	6.0025E-06	0.012925	99.98707

2	0.6255	-0.00585	3.42225E-05		99.99%
3	0.6238	-0.00755	5.70025E-05		
4	0.6351	0.00375	1.40625E-05		
5	0.6437	0.01235	0.000152522		
6	0.6506	0.01925	0.000370562		
7	0.6471	0.01575	0.000248062		
8	0.6149	-0.01645	0.000270603		
9	0.6254	-0.00595	3.54025E-05		
10	0.6136	-0.01775	0.000315063		
n=10	0.63135		0.001503505		
Pengukuran ke-	Nilai terukur	Deviasi			
	(s)	(s)	Kuadrat deviasi	Δx	Ketelitian
1	0.6841	-0.00387	1.49769E-05	0.027754	99.97225
2	0.6794	-0.00857	7.34449E-05		99.97%
3	0.7146	0.02663	0.000709157		
4	0.7134	0.02543	0.000646685		
5	0.6726	-0.01537	0.000236237		
6	0.6818	-0.00617	3.80689E-05		
7	0.7217	0.03373	0.001137713		
8	0.6429	-0.04507	0.002031305		
9	0.7164	0.02843	0.000808265		
10	0.6528	-0.03517	0.001236929		
n=10	0.68797		0.006932781		
Pengukuran ke-	Nilai terukur	Deviasi			
	(s)	(s)	Kuadrat deviasi	Δx	Ketelitian
1	0.769	-0.00054	2.916E-07	0.003956	99.99604
2	0.7717	0.00216	4.6656E-06		100.00%
3	0.7708	0.00126	1.5876E-06		
4	0.7689	-0.00064	4.096E-07		
5	0.7716	0.00206	4.2436E-06		
6	0.7681	-0.00144	2.0736E-06		
7	0.7771	0.00756	5.71536E-05		
8	0.7706	0.00106	1.1236E-06		
9	0.7625	-0.00704	4.95616E-05		
10	0.7651	-0.00444	1.97136E-05		
n=10	0.76954		0.000140824		
Pengukuran ke-	Nilai terukur	Deviasi			
	(s)	(s)	Kuadrat deviasi	Δx	Ketelitian
1	0.8463	0.01587	0.000251857	0.014812	99.98519
2	0.8147	-0.01573	0.000247433		99.99%
3	0.8277	-0.00273	7.4529E-06		
4	0.8231	-0.00733	5.37289E-05		
5	0.8612	0.03077	0.000946793		

6	0.8182	-0.01223	0.000149573		
7	0.8386	0.00817	6.67489E-05		
8	0.8162	-0.01423	0.000202493		
9	0.8244	-0.00603	3.63609E-05		
10	0.8339	0.00347	1.20409E-05		
n=10	0.83043		0.001974481		
Pengukuran ke-	Nilai terukur	Deviasi	Kuadrat deviasi	Δx	Ketelitian
1	(s)	(s)			
2	0.8801	-0.00258	6.6564E-06	0.010338	99.98966
3	0.8753	-0.00738	5.44644E-05		99.99%
4	0.9087	0.02602	0.00067704		
5	0.8841	0.00142	2.0164E-06		
6	0.8891	0.00642	4.12164E-05		
7	0.8728	-0.00988	9.76144E-05		
8	0.8793	-0.00338	1.14244E-05		
9	0.8794	-0.00328	1.07584E-05		
10	0.8831	0.00042	1.764E-07		
n=10	0.8749	-0.00778	6.05284E-05		
Pengukuran ke-	Nilai terukur	Deviasi	Kuadrat deviasi	Δx	Ketelitian
1	(s)	(s)			
2	0.88268		0.000961896		
3	0.9467	0.0127	0.00016129	0.00712	99.99288
4	0.9311	-0.0029	8.41E-06		99.99%
5	0.9407	0.0067	4.489E-05		
6	0.9355	0.0015	2.25E-06		
7	0.9235	-0.0105	0.00011025		
8	0.9325	-0.0015	2.25E-06		
9	0.9319	-0.0021	4.41E-06		
10	0.9266	-0.0074	5.476E-05		
n=10	0.9302	-0.0038	1.444E-05		
	0.9413	0.0073	5.329E-05		
	0.934		0.00045624		

Lampiran 11. Hasil ralat pengamatan waktu t GLBB *TRACKER*

Pengukuran					
ke-	Nilai terukur (s)	Deviasi (s)	Kuadrat deviasi	Δx	Ketelitian
1	0.333	-0.0534	0.00285156	0.030816	99.96918
2	0.366	-0.0204	0.00041616		99.97%
3	0.399	0.0126	0.00015876		
4	0.432	0.0456	0.00207936		
5	0.399	0.0126	0.00015876		
6	0.399	0.0126	0.00015876		
7	0.399	0.0126	0.00015876		
8	0.399	0.0126	0.00015876		
9	0.399	0.0126	0.00015876		
10	0.339	-0.0474	0.00224676		
n=10	0.3864		0.0085464		

Pengukuran					
ke-	Nilai terukur (s)	Deviasi (s)	Kuadrat deviasi	Δx	Ketelitian
1	0.466	-0.033	0.001089	0.022	99.978
2	0.499	0	0		99.98%
3	0.499	0	0		
4	0.466	-0.033	0.001089		
5	0.499	0	0		
6	0.499	0	0		
7	0.532	0.033	0.001089		
8	0.499	0	0		
9	0.499	0	0		
10	0.532	0.033	0.001089		
n=10	0.499		0.004356		

Pengukuran					
ke-	Nilai terukur (s)	Deviasi (s)	Kuadrat deviasi	Δx	Ketelitian
1	0.532	-0.0304	0.00092416	0.024757	99.97524
2	0.532	-0.0304	0.00092416		99.98%
3	0.566	0.0036	1.296E-05		
4	0.566	0.0036	1.296E-05		
5	0.599	0.0366	0.00133956		
6	0.599	0.0366	0.00133956		
7	0.566	0.0036	1.296E-05		
8	0.532	-0.0304	0.00092416		
9	0.566	0.0036	1.296E-05		
10	0.566	0.0036	1.296E-05		
n=10	0.5624		0.0055164		

Pengukuran ke-	Nilai terukur (s)	Deviasi (s)	Kuadrat deviasi	Δx	Ketelitian
1	0.632	-0.0365	0.00133225	0.019086	99.98091
2	0.699	0.0305	0.00093025		99.98%
3	0.665	-0.0035	1.225E-05		
4	0.699	0.0305	0.00093025		
5	0.665	-0.0035	1.225E-05		
6	0.665	-0.0035	1.225E-05		
7	0.665	-0.0035	1.225E-05		
8	0.665	-0.0035	1.225E-05		
9	0.665	-0.0035	1.225E-05		
10	0.665	-0.0035	1.225E-05		
n=10	0.6685		0.0032785		

Pengukuran ke-	Nilai terukur (s)	Deviasi (s)	Kuadrat deviasi	Δx	Ketelitian
1	0.765	-0.058	0.003364	0.054955	99.94505
2	0.865	0.042	0.001764		99.95%
3	0.799	-0.024	0.000576		
4	0.798	-0.025	0.000625		
5	0.899	0.076	0.005776		
6	0.799	-0.024	0.000576		
7	0.899	0.076	0.005776		
8	0.832	0.009	8.1E-05		
9	0.842	0.019	0.000361		
10	0.732	-0.091	0.008281		
n=10	0.823		0.02718		

Pengukuran ke-	Nilai terukur (s)	Deviasi (s)	Kuadrat deviasi	Δx	Ketelitian
1	0.765	-0.0613	0.00375769	0.049614	99.95039
2	0.865	0.0387	0.00149769		99.95%
3	0.799	-0.0273	0.00074529		
4	0.798	-0.0283	0.00080089		
5	0.899	0.0727	0.00528529		
6	0.799	-0.0273	0.00074529		
7	0.899	0.0727	0.00528529		
8	0.832	0.0057	3.249E-05		
9	0.842	0.0157	0.00024649		
10	0.765	-0.0613	0.00375769		
n=10	0.8263		0.0221541		

Pengukuran ke- Nilai terukur (s) Deviasi (s) Kuadrat deviasi Δx Ketelitian

1	0.898	-0.0108	0.00011664	0.02721	99.97279
2	0.866	-0.0428	0.00183184		99.97%
3	0.899	-0.0098	9.604E-05		
4	0.932	0.0232	0.00053824		
5	0.932	0.0232	0.00053824		
6	0.932	0.0232	0.00053824		
7	0.899	-0.0098	9.604E-05		
8	0.932	0.0232	0.00053824		
9	0.866	-0.0428	0.00183184		
10	0.932	0.0232	0.00053824		
n=10	0.9088		0.0066636		

Pengukuran ke-	(s)	Nilai terukur				
		Deviasi (s)	Kuadrat deviasi	Δx	Ketelitian	
1	0.968	0.0047	2.209E-05	0.01171	99.98829	
2	0.965	0.0017	2.89E-06		99.99%	
3	0.975	0.0117	0.00013689			
4	0.932	-0.0313	0.00097969			
5	0.968	0.0047	2.209E-05			
6	0.965	0.0017	2.89E-06			
7	0.965	0.0017	2.89E-06			
8	0.959	-0.0043	1.849E-05			
9	0.969	0.0057	3.249E-05			
10	0.967	0.0037	1.369E-05			
n=10	0.9633		0.0012341			

Pengukuran ke-	(s)	Nilai terukur				
		Deviasi (s)	Kuadrat deviasi	Δx	Ketelitian	
1	0.972	-0.0159	0.00025281	0.007187	99.99281	
2	0.991	0.0031	9.61E-06		99.99%	
3	0.986	-0.0019	3.61E-06			
4	0.995	0.0071	5.041E-05			
5	0.982	-0.0059	3.481E-05			
6	0.988	1E-04	1E-08			
7	0.989	0.0011	1.21E-06			
8	0.998	0.0101	0.00010201			
9	0.987	-0.0009	8.1E-07			
10	0.991	0.0031	9.61E-06			
n=10	0.9879		0.0004649			

Lampiran 12. Hasil ralat pengamatan posisi GLBB *TRACKER*

Pengukuran ke-	Nilai terukur (s)	Deviasi (s)	Kuadrat deviasi	Δx	Ketelitian
1	0.09664	0.00028	7.84E-08	0.001812	99.998188
2	0.09808	0.00172	2.9584E-06		100.00%
3	0.09751	0.00115	1.3225E-06		
4	0.0975	0.00114	1.2996E-06		
5	0.09422	-0.00214	4.5796E-06		
6	0.09422	-0.00214	4.5796E-06		
7	0.09314	-0.00322	1.03684E-05		
8	0.0978	0.00144	2.0736E-06		
9	0.09784	0.00148	2.1904E-06		
10	0.09665	0.00029	8.41E-08		
n=10	0.09636		2.95346E-05		

Pengukuran ke-	Nilai terukur (s)	Deviasi (s)	Kuadrat deviasi	Δx	Ketelitian
1	0.1518	0.00419	1.75561E-05	0.001805	99.9982
2	0.1471	-0.00051	2.601E-07		100.00%
3	0.1485	0.00089	7.921E-07		
4	0.1484	0.00079	6.241E-07		
5	0.1456	-0.00201	4.0401E-06		
6	0.1456	-0.00201	4.0401E-06		
7	0.1462	-0.00141	1.9881E-06		
8	0.1476	-1E-05	1E-10		
9	0.1476	-1E-05	1E-10		
10	0.1477	9E-05	8.1E-09		
n=10	0.14761		2.9309E-05		

Pengukuran ke-	Nilai terukur (s)	Deviasi (s)	Kuadrat deviasi	Δx	Ketelitian
1	0.1982	0.0004	1.6E-07	0.001575	99.99843
2	0.1951	-0.0027	7.29E-06		100.00%
3	0.1998	0.002	4E-06		
4	0.1991	0.0013	1.69E-06		
5	0.1974	-0.0004	1.6E-07		
6	0.1974	-0.0004	1.6E-07		
7	0.1969	-0.0009	8.1E-07		
8	0.1996	0.0018	3.24E-06		
9	0.1958	-0.002	4E-06		
10	0.1987	0.0009	8.1E-07		
n=10	0.1978		0.00002232		

Pengukuran ke-	Nilai terukur (s)	Deviasi (s)	Kuadrat deviasi	Δx	Ketelitian
1	0.2513	0.003	9E-06	0.001649	99.99835
2	0.2491	0.0008	6.4E-07		100.00%
3	0.247	-0.0013	1.69E-06		
4	0.2456	-0.0027	7.29E-06		
5	0.2492	0.0009	8.1E-07		
6	0.2492	0.0009	8.1E-07		
7	0.2491	0.0008	6.4E-07		
8	0.2485	0.0002	4E-08		
9	0.2473	-0.001	1E-06		
10	0.2467	-0.0016	2.56E-06		
n=10	0.2483		2.448E-05		

Pengukuran ke-	Nilai terukur (s)	Deviasi (s)	Kuadrat deviasi	Δx	Ketelitian
1	0.2969	-0.00066	4.356E-07	0.001332	99.99867
2	0.2991	0.00154	2.3716E-06		100.00%
3	0.2956	-0.00196	3.8416E-06		
4	0.296	-0.00156	2.4336E-06		
5	0.2981	0.00054	2.916E-07		
6	0.2981	0.00054	2.916E-07		
7	0.2998	0.00224	5.0176E-06		
8	0.2981	0.00054	2.916E-07		
9	0.2966	-0.00096	9.216E-07		
10	0.2973	-0.00026	6.76E-08		
n=10	0.29756		1.5964E-05		

Pengukuran ke-	Nilai terukur (s)	Deviasi (s)	Kuadrat deviasi	Δx	Ketelitian
1	0.3503	0.00284	8.0656E-06	0.001737	99.99826
2	0.3477	0.00024	5.76E-08		100.00%
3	0.3495	0.00204	4.1616E-06		
4	0.3468	-0.00066	4.356E-07		
5	0.3452	-0.00226	5.1076E-06		
6	0.3452	-0.00226	5.1076E-06		
7	0.349	0.00154	2.3716E-06		
8	0.3477	0.00024	5.76E-08		
9	0.347	-0.00046	2.116E-07		
10	0.3462	-0.00126	1.5876E-06		
n=10	0.34746		2.7164E-05		

Pengukuran ke-	Nilai terukur (s)	Deviasi (s)	Kuadrat deviasi	Δx	Ketelitian
1	0.4009	0.00247	6.1009E-06	0.001357	99.99864

2	0.3982	-0.00023	5.29E-08	100.00%
3	0.3971	-0.00133	1.7689E-06	
4	0.4	0.00157	2.4649E-06	
5	0.3979	-0.00053	2.809E-07	
6	0.3979	-0.00053	2.809E-07	
7	0.3988	0.00037	1.369E-07	
8	0.3982	-0.00023	5.29E-08	
9	0.3991	0.00067	4.489E-07	
10	0.3962	-0.00223	4.9729E-06	
n=10	0.39843		0.000016561	

Pengukuran ke-	Nilai terukur (s)	Deviasi (s)	Kuadrat deviasi	Δx	Ketelitian
1	0.4451	-0.00235	5.5225E-06	0.002312	99.99769
2	0.4466	-0.00085	7.225E-07		100.00%
3	0.4487	0.00125	1.5625E-06		
4	0.4489	0.00145	2.1025E-06		
5	0.45	0.00255	6.5025E-06		
6	0.45	0.00255	6.5025E-06		
7	0.4491	0.00165	2.7225E-06		
8	0.4477	0.00025	6.25E-08		
9	0.445	-0.00245	6.0025E-06		
10	0.4434	-0.00405	1.64025E-05		
n=10	0.44745		0.000048105		

Pengukuran ke-	Nilai terukur				
	s(m)	Deviasi (s)	Kuadrat deviasi	Δx	Ketelitian
1	0.4953	-0.00158	2.4964E-06	0.002113	99.99789
2	0.4955	-0.00138	1.9044E-06		100.00%
3	0.4966	-0.00028	7.84E-08		
4	0.4998	0.00292	8.5264E-06		
5	0.4943	-0.00258	6.6564E-06		
6	0.4943	-0.00258	6.6564E-06		
7	0.5001	0.00322	1.03684E-05		
8	0.4987	0.00182	3.3124E-06		
9	0.4973	0.00042	1.764E-07		
10	0.4969	2E-05	4E-10		
n=10	0.49688		4.0176E-05		

Lampiran 13. Hasil ralat perambatan GLBB sensor

s (cm)	Δs	t (s)	\bar{v}	$t - \bar{t}$	$(t - t_{\text{rata-rata}})^2$	\bar{s}_v
10	0.5	0.4307	23.25149	0.00062	3.844E-07	0.77666
		0.4261		-0.00398	1.58404E-05	
		0.4323		0.00222	4.9284E-06	
		0.4333		0.00322	1.03684E-05	
		0.4254		-0.00468	2.19024E-05	
		0.4335		0.00342	1.16964E-05	
		0.4323		0.00222	4.9284E-06	
		0.4275		-0.00258	6.6564E-06	
		0.4296		-0.00048	2.304E-07	
		0.4301		2E-05	4E-10	
		0.4300				
		8			7.6936E-05	
					0.000924578	
s (cm)	Δs	t (s)	\bar{v}	$t - \bar{t}$	$(t - t_{\text{rata-rata}})^2$	\bar{s}_v
15	0.5	0.5406	28.25817	0.00978	9.56484E-05	0.68177
		0.5167		-0.01412	0.000199374	
		0.5427		0.01188	0.000141134	
		0.5355		0.00468	2.19024E-05	
		0.5238		-0.00702	4.92804E-05	
		0.5272		-0.00362	1.31044E-05	
		0.5442		0.01338	0.000179024	
		0.4946		-0.03622	0.001311888	
		0.5421		0.01128	0.000127238	
		0.5408		0.00998	9.96004E-05	
		0.53082			0.002238196	
					0.004986867	
s (cm)	Δs	t (s)	\bar{v}	$t - \bar{t}$	$(t - t_{\text{rata-rata}})^2$	\bar{s}_v
20	0.5	0.5861	34.40564	0.0048	2.3E-05	0.584838
		0.5894		0.0081	6.56E-05	
		0.5881		0.0068	4.62E-05	
		0.5758		-0.0055	3.02E-05	
		0.5822		0.0009	8.1E-07	
		0.5761		-0.0052	2.7E-05	
		0.5861		0.0048	2.3E-05	
		0.5774		-0.0039	1.52E-05	

s (cm)	Δs	t (s)	\bar{v}	$t - \bar{t}$	$(t - t_{\text{rata}})^2$	\bar{s}_v
25	0.5	0.6338	39.59769	0.00245	6.0025E-06	0.586912
		0.6255		-0.00585	3.42225E-05	
		0.6238		-0.00755	5.70025E-05	
		0.6351		0.00375	1.40625E-05	
		0.6437		0.01235	0.000152522	
		0.6506		0.01925	0.000370562	
		0.6471		0.01575	0.000248062	
		0.6149		-0.01645	0.000270603	
		0.6254		-0.00595	3.54025E-05	
		0.6136		-0.01775	0.000315063	
30	0.5	0.63135			0.001503505	
					0.00408725	
		0.6841	43.60655	-0.00387	1.49769E-05	0.737723
		0.6794		-0.00857	7.34449E-05	
		0.7146		0.02663	0.000709157	
		0.7134		0.02543	0.000646685	
		0.6726		-0.01537	0.000236237	
		0.6818		-0.00617	3.80689E-05	
		0.7217		0.03373	0.001137713	
		0.6429		-0.04507	0.002031305	
35	0.5	0.7164		0.02843	0.000808265	
		0.6528		-0.03517	0.001236929	
		0.68797			0.006932781	
					0.008776725	
		0.769	45.48172	-0.00054	2.916E-07	0.439423
		0.7717		0.00216	4.6656E-06	
		0.7708		0.00126	1.5876E-06	
		0.7689		-0.00064	4.096E-07	
		0.7716		0.00206	4.2436E-06	
		0.7681		-0.00144	2.0736E-06	

s (cm)	Δs	t (s)	\bar{v}	$t - \bar{t}$	$(t - t_{\text{rata-rata}})^2$	\bar{s}_v
40	0.5	0.8463	48.16782	0.01587	0.000251857	0.484697
		0.8147		-0.01573	0.000247433	
		0.8277		-0.00273	7.4529E-06	
		0.8231		-0.00733	5.37289E-05	
		0.8612		0.03077	0.000946793	
		0.8182		-0.01223	0.000149573	
		0.8386		0.00817	6.67489E-05	
		0.8162		-0.01423	0.000202493	
		0.8244		-0.00603	3.63609E-05	
		0.8339		0.00347	1.20409E-05	
45	0.5	0.83043			0.001974481	
					0.004683874	
		0.8801	50.9811	-0.00258	6.6564E-06	0.422213
		0.8753		-0.00738	5.44644E-05	
		0.9087		0.02602	0.00067704	
		0.8841		0.00142	2.0164E-06	
		0.8891		0.00642	4.12164E-05	
		0.8728		-0.00988	9.76144E-05	
		0.8793		-0.00338	1.14244E-05	
		0.8794		-0.00328	1.07584E-05	
50	0.5	0.8831		0.00042	1.764E-07	
		0.8749		-0.00778	6.05284E-05	
		0.88268			0.000961896	
					0.00326921	
s (cm)	Δs	t (s)	\bar{v}	$t - \bar{t}$	$(t - t_{\text{rata-rata}})^2$	\bar{s}_v
50	0.5	0.9467	53.53319	0.0127	0.00016129	0.379503
		0.9311		-0.0029	8.41E-06	
		0.9407		0.0067	4.489E-05	
		0.9355		0.0015	2.25E-06	

0.9235	-0.0105	0.00011025
0.9325	-0.0015	2.25E-06
0.9319	-0.0021	4.41E-06
0.9266	-0.0074	5.476E-05
0.9302	-0.0038	1.444E-05
0.9413	0.0073	5.329E-05
0.934		0.00045624
		0.002251518

Lampiran 14. Hasil ralat perambatan GLBB *TRACKER*

s (cm)	t (s)	s - s rata-rata	$(s - s \text{ rata-rata})^2$	t - t rata-rata	$(t - t \text{ rata-rata})^2$	\bar{S}_v	\bar{v}
9.664	0.333	0.028	0.000784	-0.0534	0.00285156	0.148254	24.93789
9.808	0.366	0.172	0.029584	-0.0204	0.00041616		
9.751	0.399	0.115	0.013225	0.0126	0.00015876		
9.75	0.432	0.114	0.012996	0.0456	0.00207936		
9.422	0.399	-0.214	0.045796	0.0126	0.00015876		
9.422	0.399	-0.214	0.045796	0.0126	0.00015876		
9.314	0.399	-0.322	0.103684	0.0126	0.00015876		
9.78	0.399	0.144	0.020736	0.0126	0.00015876		
9.784	0.399	0.148	0.021904	0.0126	0.00015876		
9.665	0.339	0.029	0.000841	-0.0474	0.00224676		
		-	-	-	-		
		1.06581E-14	0.295346	5.55112E-17	0.0085464		
9.636	0.3864		0.057285445		0.009744742		
s (cm)	t (s)	s - s rata-rata	$(s - s \text{ rata-rata})^2$	t - t rata-rata	$(t - t \text{ rata-rata})^2$	\bar{S}_v	\bar{v}
15.18	0.466	0.419	0.175561	-0.033	0.001089	0.114361	29.58116
14.71	0.499	-0.051	0.002601	0	0		
14.85	0.499	0.089	0.007921	0	0		
14.84	0.466	0.079	0.006241	-0.033	0.001089		
14.56	0.499	-0.201	0.040401	0	0		
14.56	0.499	-0.201	0.040401	0	0		
14.62	0.532	-0.141	0.019881	0.033	0.001089		
14.76	0.499	-0.001	1E-06	0	0		
14.76	0.499	-0.001	1E-06	0	0		
14.77	0.532	0.009	8.1E-05	0.033	0.001089		
		-	-	-	-		
		1.06581E-14	0.29309	1.11022E-16	0.004356		
14.761	0.499		0.057066238		0.006957011		
s (cm)	t (s)	s - s rata-rata	$(s - s \text{ rata-rata})^2$	t - t rata-rata	$(t - t \text{ rata-rata})^2$	\bar{S}_v	\bar{v}
19.82	0.532	0.04	0.0016	-0.0304	0.00092416	0.088548	35.1707
19.51	0.532	-0.27	0.0729	-0.0304	0.00092416		
19.98	0.566	0.2	0.04	0.0036	1.296E-05		
19.91	0.566	0.13	0.0169	0.0036	1.296E-05		
19.74	0.599	-0.04	0.0016	0.0366	0.00133956		
19.74	0.599	-0.04	0.0016	0.0366	0.00133956		
19.69	0.566	-0.09	0.0081	0.0036	1.296E-05		
19.96	0.532	0.18	0.0324	-0.0304	0.00092416		
19.58	0.566	-0.2	0.04	0.0036	1.296E-05		
19.87	0.566	0.09	0.0081	0.0036	1.296E-05		

3.33067E-							
19.78	0.5624	-1.8E-14	0.2232	16	0.0055164		
			0.049799598		0.007829006		
s (cm)	t (s)	s - s rata- rata	(s - s rata- rata) ²	t - t rata- rata	(t - t rata- rata) ²	\bar{S}_v	\bar{v}
25.13	0.632	0.3	0.09	-0.0365	0.00133225	0.078016	37.14286
24.91	0.699	0.08	0.0064	0.0305	0.00093025		
24.7	0.665	-0.13	0.0169	-0.0035	1.225E-05		
24.56	0.699	-0.27	0.0729	0.0305	0.00093025		
24.92	0.665	0.09	0.0081	-0.0035	1.225E-05		
24.92	0.665	0.09	0.0081	-0.0035	1.225E-05		
24.91	0.665	0.08	0.0064	-0.0035	1.225E-05		
24.85	0.665	0.02	0.0004	-0.0035	1.225E-05		
24.73	0.665	-0.1	0.01	-0.0035	1.225E-05		
24.67	0.665	-0.16	0.0256	-0.0035	1.225E-05		
		-7.1E-		-7.77156E-			
24.83	0.6685	15	0.2448	16	0.0032785		
			0.052153619		0.006035543		
s (cm)	t (s)	s - s rata- rata	(s - s rata- rata) ²	t - t rata- rata	(t - t rata- rata) ²	\bar{S}_v	\bar{v}
29.69	0.699	-0.066	0.004356	-0.0396	0.00156816	0.057022	40.28703
29.91	0.798	0.154	0.023716	0.0594	0.00352836		
29.56	0.765	-0.196	0.038416	0.0264	0.00069696		
29.6	0.732	-0.156	0.024336	-0.0066	4.356E-05		
29.81	0.732	0.054	0.002916	-0.0066	4.356E-05		
29.81	0.732	0.054	0.002916	-0.0066	4.356E-05		
29.98	0.732	0.224	0.050176	-0.0066	4.356E-05		
29.81	0.732	0.054	0.002916	-0.0066	4.356E-05		
29.66	0.732	-0.096	0.009216	-0.0066	4.356E-05		
29.73	0.732	-0.026	0.000676	-0.0066	4.356E-05		
		-		-			
		1.42109E-		1.55431E-			
29.756	0.7386	14	0.15964	15	0.0060984		
			0.042116241		0.008231646		

s (cm)	t (s)	$s - s$ rata- rata	$(s - s$ rata- rata) 2	$t - t$ rata- rata	$(t - t$ rata- rata) 2	\bar{S}_v	\bar{v}
35.03	0.765	0.284	0.080656	-0.0613	0.00375769	0.066487	42.0501
34.77	0.865	0.024	0.000576	0.0387	0.00149769		
34.95	0.799	0.204	0.041616	-0.0273	0.00074529		
34.68	0.798	-0.066	0.004356	-0.0283	0.00080089		
34.52	0.899	-0.226	0.051076	0.0727	0.00528529		
34.52	0.799	-0.226	0.051076	-0.0273	0.00074529		
34.9	0.899	0.154	0.023716	0.0727	0.00528529		
34.77	0.832	0.024	0.000576	0.0057	3.249E-05		
34.7	0.842	-0.046	0.002116	0.0157	0.00024649		
34.62	0.765	-0.126	0.015876	-0.0613	0.00375769		
				-			
			-2.13163E-		2.22045E-		
34.746	0.8263		14	0.27164		16	0.0221541
				0.054938349			0.015689381

s (cm)	t (s)	$s - s$ rata- rata	$(s - s$ rata- rata) 2	$t - t$ rata- rata	$(t - t$ rata- rata) 2	\bar{S}_v	\bar{v}
40.09	0.898	0.247	0.061009	-0.0108	0.00011664	0.047201	43.84133
39.82	0.866	-0.023	0.000529	-0.0428	0.00183184		
39.71	0.899	-0.133	0.017689	-0.0098	9.604E-05		
40	0.932	0.157	0.024649	0.0232	0.00053824		
39.79	0.932	-0.053	0.002809	0.0232	0.00053824		
39.79	0.932	-0.053	0.002809	0.0232	0.00053824		
39.88	0.899	0.037	0.001369	-0.0098	9.604E-05		
39.82	0.932	-0.023	0.000529	0.0232	0.00053824		
39.91	0.866	0.067	0.004489	-0.0428	0.00183184		
39.62	0.932	-0.223	0.049729	0.0232	0.00053824		
			-	-			
			4.26326E-		2.2204E-		
39.843	0.9088		14	0.16561		16	0.0066636
				0.042896516			0.00860465

s (cm)	t (s)	$s - s$ rata- rata	$(s - s$ rata- rata) 2	$t - t$ rata- rata	$(t - t$ rata- rata) 2	\bar{S}_v	\bar{v}
44.51	0.968	-0.235	0.055225	0.0017	2.89E-06	0.075659	46.3055
44.66	0.965	-0.085	0.007225	-0.0013	1.69E-06		
44.87	0.975	0.125	0.015625	0.0087	7.569E-05		
44.89	0.962	0.145	0.021025	-0.0043	1.849E-05		
45	0.968	0.255	0.065025	0.0017	2.89E-06		
45	0.965	0.255	0.065025	-0.0013	1.69E-06		
44.91	0.965	0.165	0.027225	-0.0013	1.69E-06		
44.77	0.959	0.025	0.000625	-0.0073	5.329E-05		
44.5	0.969	-0.245	0.060025	0.0027	7.29E-06		

44.34	0.967	-0.405	0.164025	0.0007	4.9E-07
		-		-	
		5.68434E-		7.77156E-	
44.745	0.9663	14	0.48105	16	0.0001661
			0.073109507		0.001358512

s (cm)	t (s)	s - s		(s - s rata- rata) ²	t - t rata- rata	(t - t rata- rata) ²	\bar{S}_v	\bar{v}
		rata-	rata					
49.53	0.972	-0.158	0.024964		-0.0159	0.00025281	0.067632	50.29659
49.55	0.991	-0.138	0.019044		0.0031	9.61E-06		
49.66	0.986	-0.028	0.000784		-0.0019	3.61E-06		
49.98	0.995	0.292	0.085264		0.0071	5.041E-05		
49.43	0.982	-0.258	0.066564		-0.0059	3.481E-05		
49.43	0.988	-0.258	0.066564		1E-04	1E-08		
50.01	0.989	0.322	0.103684		0.0011	1.21E-06		
49.87	0.998	0.182	0.033124		0.0101	0.00010201		
49.73	0.987	0.042	0.001764		-0.0009	8.1E-07		
49.69	0.991	0.002	4E-06		0.0031	9.61E-06		
		-2.8E-			-1.11022E-			
49.688	0.9879	14	0.40176		16	0.0004649		
			0.066813172			0.002272786		

Lampiran 15. Hasil uji *T Test Independent GLB*

NEW FILE.

DATASET NAME DataSet1 WINDOW=FRONT.

T-TEST GROUPS=Alat(1 2)
 /MISSING=ANALYSIS
 /VARIABLES=Hasil
 /CRITERIA=CI(.95).

T-Test

Notes

Output Created	14-AUG-2022 13:39:01	
Comments		
Input	Active Dataset	DataSet1
	Filter	<none>
	Weight	<none>
	Split File	<none>
	N of Rows in Working Data File	20
Missing Value Handling	Definition of Missing	User defined missing values are treated as missing.
	Cases Used	Statistics for each analysis are based on the cases with no missing or out-of-range data for any variable in the analysis.
Syntax	T-TEST GROUPS=Alat(1 2) /MISSING=ANALYSIS /VARIABLES=Hasil /CRITERIA=CI(.95).	
Resources	Processor Time	00:00:00.03
	Elapsed Time	00:00:00.03

[DataSet1]

Group Statistics

Alat	N	Mean	Std. Deviation	Std. Error Mean
------	---	------	----------------	-----------------

Hasil analisis data	Sensor	10	.4297	.00277	.00088
	Tracker	10	.4057	.01386	.00438

Independent Samples Test

		Levene's Test for Equality of Variances		t-test for Equality of Means	
		F	Sig.	t	df
Hasil analisis data	Equal variances assumed	9.802	.006	5.363	18
	Equal variances not assumed			5.363	9.716

Independent Samples Test

		t-test for Equality of Means		
		Sig. (2-tailed)	Mean Difference	Std. Error Difference
Hasil analisis data	Equal variances assumed	.000	.02398	.00447
	Equal variances not assumed	.000	.02398	.00447

Independent Samples Test

		t-test for Equality of Means		
		95% Confidence Interval of the Difference	Lower	Upper
Hasil analisis data	Equal variances assumed	.01459		.03337
	Equal variances not assumed	.01398		.03398

T-TEST GROUPS=Alat(1 2)

/MISSING=ANALYSIS

/VARIABLES=Hasil

/CRITERIA=CI(.95).

T-Test

Notes

Output Created	14-AUG-2022 13:39:44
Comments	

Input	Active Dataset	DataSet1
	Filter	<none>
	Weight	<none>
	Split File	<none>
	N of Rows in Working Data	20
	File	
Missing Value Handling	Definition of Missing	User defined missing values are treated as missing.
	Cases Used	Statistics for each analysis are based on the cases with no missing or out-of-range data for any variable in the analysis.
Syntax	T-TEST GROUPS=Alat(1 2) /MISSING=ANALYSIS /VARIABLES=Hasil /CRITERIA=CI(.95).	
Resources	Processor Time	00:00:00.00
	Elapsed Time	00:00:00.06

Group Statistics

	Alat	N	Mean	Std. Deviation	Std. Error Mean
Hasil analisis data	Sensor	10	.5292	.00581	.00184
	Tracker	10	.5057	.01413	.00447

Independent Samples Test

	Hasil analisis data	Levene's Test for Equality of Variances		t-test for Equality of Means			
		F	Sig.	t	df		
Hasil analisis data	Equal variances assumed	4.247	.054	4.874	18		
	Equal variances not assumed			4.874	11.955		

Independent Samples Test

t-test for Equality of Means					
		Sig. (2-tailed)	Mean Difference	Std. Error Difference	
Hasil analisis data	Equal variances assumed	.000	.02354	.00483	
	Equal variances not assumed	.000	.02354	.00483	

Independent Samples Test

t-test for Equality of Means					
95% Confidence Interval of the Difference					
			Lower	Upper	
Hasil analisis data	Equal variances assumed		.01339	.03369	
	Equal variances not assumed		.01301	.03407	

T-TEST GROUPS=Alat(1 2)
/MISSING=ANALYSIS
/VARIABLES=Hasil
/CRITERIA=CI(.95).

T-Test

Notes

Output Created	14-AUG-2022 13:40:27	
Comments		
Input	Active Dataset	DataSet1
	Filter	<none>
	Weight	<none>
	Split File	<none>
	N of Rows in Working Data File	20
Missing Value Handling	Definition of Missing	User defined missing values are treated as missing.
	Cases Used	Statistics for each analysis are based on the cases with no missing or out-of-range data for any variable in the analysis.

Syntax	T-TEST GROUPS=Alat(1 2) /MISSING=ANALYSIS /VARIABLES=Hasil /CRITERIA=CI(.95).		
Resources	Processor Time	00:00:00.02	
	Elapsed Time	00:00:00.02	

Group Statistics

	Alat	N	Mean	Std. Deviation	Std. Error Mean
Hasil analisis data	Sensor	10	.6299	.00300	.00095
	Tracker	10	.6056	.01391	.00440

Independent Samples Test

Hasil analisis data		Levene's Test for Equality of Variances		t-test for Equality of Means	
		F	Sig.	t	df
Hasil analisis data	Equal variances assumed	8.857	.008	5.392	18
	Equal variances not assumed			5.392	9.834

Independent Samples Test

Hasil analisis data		t-test for Equality of Means		
		Sig. (2-tailed)	Mean Difference	Std. Error Difference
Hasil analisis data	Equal variances assumed	.000	.02427	.00450
	Equal variances not assumed	.000	.02427	.00450

Independent Samples Test

t-test for Equality of Means	
95% Confidence Interval of the Difference	
Lower	Upper

Hasil analisis data	Equal variances assumed	.01481	.03373
	Equal variances not assumed	.01422	.03432

T-TEST GROUPS=Alat(1 2)
/MISSING=ANALYSIS
/VARIABLES=Hasil
/CRITERIA=CI(.95)

T-Test

Notes

Output Created	14-AUG-2022 13:41:09	
Comments		
Input	Active Dataset	DataSet1
	Filter	<none>
	Weight	<none>
	Split File	<none>
	N of Rows in Working Data File	20
Missing Value Handling	Definition of Missing	User defined missing values are treated as missing.
	Cases Used	Statistics for each analysis are based on the cases with no missing or out-of-range data for any variable in the analysis.
Syntax	T-TEST GROUPS=Alat(1 2) /MISSING=ANALYSIS /VARIABLES=Hasil /CRITERIA=CI(.95).	
Resources	Processor Time	00:00:00.02
	Elapsed Time	00:00:00.03

Group Statistics

	Alat	N	Mean	Std. Deviation	Std. Error Mean
Hasil analisis data	Sensor	10	.7301	.00292	.00092
	Tracker	10	.7423	.02274	.00719

Independent Samples Test

		Levene's Test for Equality of Variances		t-test for Equality of Means		
		F	Sig.	t	df	
Hasil analisis data	Equal variances assumed	23.537	.000	-1.687	18	
	Equal variances not assumed			-1.687	9.298	

Independent Samples Test

		t-test for Equality of Means			
		Sig. (2-tailed)	Difference	Std. Error Difference	
Hasil analisis data	Equal variances assumed	.109	-.01223	.00725	
	Equal variances not assumed	.125	-.01223	.00725	

Independent Samples Test

		t-test for Equality of Means			
		95% Confidence Interval of the Difference	Lower	Upper	
Hasil analisis data	Equal variances assumed		-.02746	.00300	
	Equal variances not assumed		-.02855	.00409	

T-TEST GROUPS=Alat(1 2)
/MISSING=ANALYSIS
/VARIABLES=Hasil
/CRITERIA=CI(.95).

T-Test

Notes

Output Created	14-AUG-2022 13:42:23
Comments	
Input	Active Dataset
	DataSet1
	Filter
	<none>

	Weight	<none>
	Split File	<none>
	N of Rows in Working Data File	20
Missing Value Handling	Definition of Missing	User defined missing values are treated as missing.
	Cases Used	Statistics for each analysis are based on the cases with no missing or out-of-range data for any variable in the analysis.
Syntax		T-TEST GROUPS=Alat(1 2) /MISSING=ANALYSIS /VARIABLES=Hasil /CRITERIA=CI(.95).
Resources	Processor Time	00:00:00.02
	Elapsed Time	00:00:00.02

Group Statistics

	Alat	N	Mean	Std. Deviation	Std. Error Mean
Hasil analisis data	Sensor	10	.8406	.00173	.00055
	Tracker	10	.8223	.02271	.00718

Independent Samples Test

		Levene's Test for Equality of Variances		t-test for Equality of Means	
		F	Sig.	t	df
Hasil analisis data	Equal variances assumed	22.436	.000	2.544	18
	Equal variances not assumed			2.544	9.104

Independent Samples Test

t-test for Equality of Means
Sig. (2-tailed)

			Mean Difference	Std. Error Difference	
Hasil analisis data	Equal variances assumed	.020	.01832	.00720	
	Equal variances not assumed	.031	.01832	.00720	

Independent Samples Test

t-test for Equality of Means

95% Confidence Interval of the

		Difference		
		Lower	Upper	
Hasil analisis data	Equal variances assumed	.00319	.03345	
	Equal variances not assumed	.00206	.03458	

T-TEST GROUPS=Alat(1 2)
/MISSING=ANALYSIS
/VARIABLES=Hasil
/CRITERIA=CI(.95).

T-Test

Notes

Output Created	14-AUG-2022 13:43:15	
Comments		
Input	Active Dataset	DataSet1
	Filter	<none>
	Weight	<none>
	Split File	<none>
	N of Rows in Working Data File	20
Missing Value Handling	Definition of Missing	User defined missing values are treated as missing.
	Cases Used	Statistics for each analysis are based on the cases with no missing or out-of-range data for any variable in the analysis.

Syntax	T-TEST GROUPS=Alat(1 2) /MISSING=ANALYSIS /VARIABLES=Hasil /CRITERIA=CI(.95).		
Resources	Processor Time	00:00:00.02	
	Elapsed Time	00:00:00.03	

Group Statistics

	Alat	N	Mean	Std. Deviation	Std. Error Mean
Hasil analisis data	Sensor	10	.9930	.00496	.00157
	Tracker	10	.9414	.01675	.00530

Independent Samples Test

		Levene's Test for Equality of Variances		t-test for Equality of Means	
		F	Sig.	t	df
		21.418	.000	9.332	18
Hasil analisis data	Equal variances assumed				
	Equal variances not assumed			9.332	10.568

Independent Samples Test

		t-test for Equality of Means		
		Sig. (2-tailed)	Mean Difference	Std. Error Difference
Hasil analisis data	Equal variances assumed	.000	.05157	.00553
	Equal variances not assumed	.000	.05157	.00553

Independent Samples Test

		t-test for Equality of Means		
		95% Confidence Interval of the Difference	Lower	Upper
Hasil analisis data	Equal variances assumed		.03996	.06318

Equal variances not assumed	.03935	.06379
-----------------------------	--------	--------

T-TEST GROUPS=Alat(1 2)
/MISSING=ANALYSIS
/VARIABLES=Hasil
/CRITERIA=CI(.95).

T-Test

Notes

Output Created	14-AUG-2022 13:44:09	
Comments		
Input	Active Dataset	DataSet1
	Filter	<none>
	Weight	<none>
	Split File	<none>
	N of Rows in Working Data	20
	File	
Missing Value Handling	Definition of Missing	User defined missing values are treated as missing.
	Cases Used	Statistics for each analysis are based on the cases with no missing or out-of-range data for any variable in the analysis.
Syntax	T-TEST GROUPS=Alat(1 2) /MISSING=ANALYSIS /VARIABLES=Hasil /CRITERIA=CI(.95).	
Resources	Processor Time	00:00:00.02
	Elapsed Time	00:00:00.03

Group Statistics

	Alat	N	Mean	Std. Deviation	Std. Error Mean
Hasil analisis data	Sensor	10	1.0880	.03872	.01225
	Tracker	10	1.0414	.01675	.00530

Independent Samples Test

	Hasil analisis data	Levene's Test for Equality of Variances		t-test for Equality of Means	
		F	Sig.	t	df
Hasil analisis data	Equal variances assumed	4.376	.051	3.493	18
	Equal variances not assumed			3.493	12.255

Independent Samples Test

	Hasil analisis data	t-test for Equality of Means		
		Sig. (2-tailed)	Mean Difference	Std. Error Difference
Hasil analisis data	Equal variances assumed	.003	.04660	.01334
	Equal variances not assumed	.004	.04660	.01334

Independent Samples Test

	Hasil analisis data	t-test for Equality of Means		
		95% Confidence Interval of the Difference		
		Lower	Upper	
Hasil analisis data	Equal variances assumed	.01857	.07463	
	Equal variances not assumed	.01760	.07560	

T-TEST GROUPS=Alat(1 2)
/MISSING=ANALYSIS
/VARIABLES=Hasil
/CRITERIA=CI(.95).

T-Test

Notes

Output Created	14-AUG-2022 13:45:55
Comments	

Input	Active Dataset	DataSet1
	Filter	<none>
	Weight	<none>
	Split File	<none>
	N of Rows in Working Data	14
	File	
Missing Value Handling	Definition of Missing	User defined missing values are treated as missing.
	Cases Used	Statistics for each analysis are based on the cases with no missing or out-of-range data for any variable in the analysis.
Syntax		T-TEST GROUPS=Alat(1 2) /MISSING=ANALYSIS /VARIABLES=Hasil /CRITERIA=CI(.95).
Resources	Processor Time	00:00:00.02
	Elapsed Time	00:00:00.02

Group Statistics

	Alat	N	Mean	Std. Deviation	Std. Error Mean
Hasil analisis data	Sensor	7	46.7943	1.09900	.41538
	Tracker	7	48.3529	.81041	.30630

Independent Samples Test

		Levene's Test for Equality of Variances		t-test for Equality of Means			
		F	Sig.	t	df		
Hasil analisis data	Equal variances assumed	1.039	.328	-3.020	12		
	Equal variances not assumed			-3.020	11.036		

Independent Samples Test

		t-test for Equality of Means		
		Sig. (2-tailed)	Mean Difference	Std. Error Difference
Hasil analisis data	Equal variances assumed	.011	-1.55857	.51611
	Equal variances not assumed	.012	-1.55857	.51611

Independent Samples Test

		t-test for Equality of Means	
		95% Confidence Interval of the Difference	
		Lower	Upper
Hasil analisis data	Equal variances assumed	-2.68307	-.43407
	Equal variances not assumed	-2.69406	-.42308

T-TEST GROUPS=Alat(1 2)
 /MISSING=ANALYSIS
 /VARIABLES=Hasil
 /CRITERIA=CI(.95).

T-Test

Notes

Output Created	14-AUG-2022 14:12:28	
Comments		
Input	Active Dataset	DataSet1
	Filter	<none>
	Weight	<none>
	Split File	<none>
	N of Rows in Working Data File	20
Missing Value Handling	Definition of Missing	User defined missing values are treated as missing.
	Cases Used	Statistics for each analysis are based on the cases with no missing or out-of-range data for any variable in the analysis.

Syntax	T-TEST GROUPS=Alat(1 2) /MISSING=ANALYSIS /VARIABLES=Hasil /CRITERIA=CI(.95).		
Resources	Processor Time	00:00:00.02	
	Elapsed Time	00:00:00.05	

Group Statistics

	Alat	N	Mean	Std. Deviation	Std. Error Mean
Hasil analisis data	Sensor	10	.7201	.00292	.00092
	Tracker	10	.7423	.02274	.00719

Independent Samples Test

		Levene's Test for Equality of Variances		t-test for Equality of Means		
		F	Sig.	t	df	
Hasil analisis data	Equal variances assumed	23.537	.000	-3.067	18	
	Equal variances not assumed			-3.067	9.298	

Independent Samples Test

		t-test for Equality of Means		
		Sig. (2-tailed)	Mean Difference	Std. Error Difference
Hasil analisis data	Equal variances assumed	.007	-.02223	.00725
	Equal variances not assumed	.013	-.02223	.00725

Independent Samples Test

		t-test for Equality of Means		
		95% Confidence Interval of the Difference	Lower	Upper
Hasil analisis data	Equal variances assumed		-.03746	-.00700

Equal variances not assumed	.03855	-.00591
-----------------------------	--------	---------

T-TEST GROUPS=Alat(1 2)
/MISSING=ANALYSIS
/VARIABLES=Hasil
/CRITERIA=CI(.95).

T-Test

Notes

Output Created	14-AUG-2022 14:19:49	
Comments		
Input	Active Dataset	DataSet1
	Filter	<none>
	Weight	<none>
	Split File	<none>
	N of Rows in Working Data File	14
Missing Value Handling	Definition of Missing	User defined missing values are treated as missing.
	Cases Used	Statistics for each analysis are based on the cases with no missing or out-of-range data for any variable in the analysis.
Syntax	T-TEST GROUPS=Alat(1 2) /MISSING=ANALYSIS /VARIABLES=Hasil /CRITERIA=CI(.95).	
Resources	Processor Time	00:00:00.02
	Elapsed Time	00:00:00.02

Group Statistics

	Alat	N	Mean	Std. Deviation	Std. Error Mean
Hasil analisis data	Sensor	7	46.8900	1.23604	.46718
	Tracker	7	48.3529	.81041	.30630

Independent Samples Test

		Levene's Test for Equality of Variances		t-test for Equality of Means		
		F	Sig.	T	df	
Hasil analisis data	Equal variances assumed	1.379	.263	-2.619	12	
	Equal variances not assumed			-2.619	10.354	

Independent Samples Test

		t-test for Equality of Means			
		Sig. (2-tailed)	Mean Difference	Std. Error Difference	
Hasil analisis data	Equal variances assumed	.022	-1.46286	.55864	
	Equal variances not assumed	.025	-1.46286	.55864	

Independent Samples Test

		t-test for Equality of Means				
		95% Confidence Interval of the Difference				
		Lower	Upper			
Hasil analisis data	Equal variances assumed	-2.68003	-.24568			
	Equal variances not assumed	-2.70184	-.22387			

Lampiran 16. Hasil uji *T Test Independent GLBB*

```
T-TEST GROUPS=Alat(1 2)
/MISSING=ANALYSIS
/VARIABLES=Hasil
/CRITERIA=CI(.95)
```

T-Test

Notes

Output Created	14-AUG-2022 23:37:20	
Comments		
Input	Active Dataset	DataSet1
	Filter	<none>
	Weight	<none>
	Split File	<none>
	N of Rows in Working Data File	20
Missing Value Handling	Definition of Missing	User defined missing values are treated as missing.
	Cases Used	Statistics for each analysis are based on the cases with no missing or out-of-range data for any variable in the analysis.
Syntax	T-TEST GROUPS=Alat(1 2) /MISSING=ANALYSIS /VARIABLES=Hasil /CRITERIA=CI(.95).	
Resources	Processor Time	00:00:00.03
	Elapsed Time	00:00:00.02

Group Statistics

	Alat	N	Mean	Std. Deviation	Std. Error Mean
Hasil analisis data	Sensor	10	.4301	.00292	.00092
	Tracker	10	.3864	.03082	.00974

Independent Samples Test

		Levene's Test for Equality of Variances		t-test for Equality of Means	
		F	Sig.	t	df
Hasil analisis data	Equal variances assumed	16.025	.001	4.462	18
	Equal variances not assumed			4.462	9.162

Independent Samples Test

		t-test for Equality of Means		
				Mean Difference
		Sig. (2-tailed)	Difference	Std. Error Difference
Hasil analisis data	Equal variances assumed	.000	.04368	.00979
	Equal variances not assumed	.002	.04368	.00979

Independent Samples Test

		t-test for Equality of Means		
		95% Confidence Interval of the Difference		
		Lower	Upper	
Hasil analisis data	Equal variances assumed	.02312	.06424	
	Equal variances not assumed	.02160	.06576	

T-TEST GROUPS=Alat(1 2)
 /MISSING=ANALYSIS
 /VARIABLES=Hasil
 /CRITERIA=CI(.95).

T-Test

Notes

Output Created	14-AUG-2022 23:38:03	
Comments		
Input	Active Dataset	DataSet1
	Filter	<none>
	Weight	<none>
	Split File	<none>

	N of Rows in Working Data File	20
Missing Value Handling	Definition of Missing	User defined missing values are treated as missing.
	Cases Used	Statistics for each analysis are based on the cases with no missing or out-of-range data for any variable in the analysis.
Syntax		T-TEST GROUPS=Alat(1 2) /MISSING=ANALYSIS /VARIABLES=Hasil /CRITERIA=CI(.95).
Resources	Processor Time	00:00:00.02
	Elapsed Time	00:00:00.06

Group Statistics

	Alat	N	Mean	Std. Deviation	Std. Error Mean
Hasil analisis data	Sensor	10	.5308	.01577	.00499
	Tracker	10	.4990	.02200	.00696

Independent Samples Test

	Hasil analisis data	Levene's Test for Equality of Variances		t-test for Equality of Means	
		Equal variances assumed	F	Sig.	t
			.027		Df
		Equal variances not assumed			3.717
					16.317

Independent Samples Test

	Hasil analisis data	t-test for Equality of Means		
		Equal variances assumed	Mean	Std. Error Difference
			Sig. (2-tailed)	Difference
		.002	.03182	.00856

Equal variances not assumed	.002	.03182	.00856
-----------------------------	------	--------	--------

Independent Samples Test

		t-test for Equality of Means	
		95% Confidence Interval of the Difference	
		Lower	Upper
Hasil analisis data	Equal variances assumed	.01384	.04980
	Equal variances not assumed	.01370	.04994

T-TEST GROUPS=Alat(1 2)
/MISSING=ANALYSIS
/VARIABLES=Hasil
/CRITERIA=CI(.95).

T-Test

Notes

Output Created	14-AUG-2022 23:38:44
Comments	
Input	Active Dataset DataSet1 Filter <none> Weight <none> Split File <none> N of Rows in Working Data 20 File
Missing Value Handling	Definition of Missing User defined missing values are treated as missing. Cases Used Statistics for each analysis are based on the cases with no missing or out-of-range data for any variable in the analysis.
Syntax	T-TEST GROUPS=Alat(1 2) /MISSING=ANALYSIS /VARIABLES=Hasil /CRITERIA=CI(.95).
Resources	Processor Time 00:00:00.02 Elapsed Time 00:00:00.01

Group Statistics

	Alat	N	Mean	Std. Deviation	Std. Error Mean
Hasil analisis data	Sensor	10	.5813	.00614	.00194
	Tracker	10	.5624	.02476	.00783

Independent Samples Test

		Levene's Test for Equality of Variances		t-test for Equality of Means		
		F	Sig.	t	Df	
		Equal variances assumed	6.864	.017	2.343	18
		Equal variances not assumed		2.343	10.104	

Independent Samples Test

		t-test for Equality of Means			
		Sig. (2-tailed)	Mean Difference	Std. Error Difference	
		Equal variances assumed	.031	.01890	.00807
		Equal variances not assumed	.041	.01890	.00807

Independent Samples Test

		t-test for Equality of Means		
		95% Confidence Interval of the Difference		
		Lower	Upper	
Hasil analisis data	Equal variances assumed	.00195	.03585	
	Equal variances not assumed	.00095	.03685	

T-TEST GROUPS=Alat(1 2)
/MISSING=ANALYSIS
/VARIABLES=Hasil
/CRITERIA=CI(.95).

T-Test

Notes

Output Created	14-AUG-2022 23:39:21	
Comments		
Input	Active Dataset	DataSet1
	Filter	<none>
	Weight	<none>
	Split File	<none>
	N of Rows in Working Data File	20
Missing Value Handling	Definition of Missing	User defined missing values are treated as missing.
	Cases Used	Statistics for each analysis are based on the cases with no missing or out-of-range data for any variable in the analysis.
Syntax	T-TEST GROUPS=Alat(1 2) /MISSING=ANALYSIS /VARIABLES=Hasil /CRITERIA=CI(.95).	
Resources	Processor Time	00:00:00.02
	Elapsed Time	00:00:00.06

Group Statistics

	Alat	N	Mean	Std. Deviation	Std. Error Mean
Hasil analisis data	Sensor	10	.6314	.01293	.00409
	Tracker	10	.6685	.01909	.00604

Independent Samples Test

	Hasil analisis data	Equal variances assumed	Levene's Test for Equality of Variances		t-test for Equality of Means	
			F	Sig.	t	Df
			.093	.764	-5.097	18

Equal variances not assumed			-5.097	15.820
-----------------------------	--	--	--------	--------

Independent Samples Test

		t-test for Equality of Means		
		Mean Difference	Std. Error Difference	
		Sig. (2-tailed)		
Hasil analisis data	Equal variances assumed	.000	-.03715	.00729
	Equal variances not assumed	.000	-.03715	.00729

Independent Samples Test

		t-test for Equality of Means		
		95% Confidence Interval of the Difference		
		Lower	Upper	
Hasil analisis data	Equal variances assumed	-.05246	-.02184	
	Equal variances not assumed	-.05262	-.02168	

T-TEST GROUPS=Alat(1 2)
/MISSING=ANALYSIS
/VARIABLES=Hasil
/CRITERIA=CI(.95).

T-Test

Notes

Output Created	14-AUG-2022 23:40:06
Comments	
Input	Active Dataset DataSet1
	Filter <none>
	Weight <none>
	Split File <none>
N of Rows in Working Data	20
File	
Missing Value Handling	Definition of Missing User defined missing values are treated as missing.

	Cases Used	Statistics for each analysis are based on the cases with no missing or out-of-range data for any variable in the analysis.
Syntax		T-TEST GROUPS=Alat(1 2) /MISSING=ANALYSIS /VARIABLES=Hasil /CRITERIA=CI(.95).
Resources	Processor Time	00:00:00.02
	Elapsed Time	00:00:00.02

Group Statistics

	Alat	N	Mean	Std. Deviation	Std. Error Mean
Hasil analisis data	Sensor	10	.6880	.02775	.00878
	Tracker	10	.7386	.02603	.00823

Independent Samples Test

		Levene's Test for Equality of Variances		t-test for Equality of Means	
		F	Sig.	t	Df
					18
Hasil analisis data	Equal variances assumed	.597	.450	-4.208	17.927
	Equal variances not assumed			-4.208	

Independent Samples Test

		t-test for Equality of Means		
		Sig. (2-tailed)	Mean Difference	Std. Error Difference
Hasil analisis data	Equal variances assumed	.001	-.05063	.01203
	Equal variances not assumed	.001	-.05063	.01203

Independent Samples Test

t-test for Equality of Means

95% Confidence Interval of the
Difference

		Lower	Upper
Hasil analysis data	Equal variances assumed	-.07591	-.02535
	Equal variances not assumed	-.07592	-.02534

T-TEST GROUPS=Alat(1 2)
 /MISSING=ANALYSIS
 /VARIABLES=Hasil
 /CRITERIA=CI(.95).

T-Test

Notes

Output Created	14-AUG-2022 23:40:38	
Comments		
Input	Active Dataset	DataSet1
	Filter	<none>
	Weight	<none>
	Split File	<none>
	N of Rows in Working Data File	20
Missing Value Handling	Definition of Missing	User defined missing values are treated as missing.
	Cases Used	Statistics for each analysis are based on the cases with no missing or out-of-range data for any variable in the analysis.
Syntax	T-TEST GROUPS=Alat(1 2) /MISSING=ANALYSIS /VARIABLES=Hasil /CRITERIA=CI(.95).	
Resources	Processor Time	00:00:00.00
	Elapsed Time	00:00:00.07

Group Statistics

	Alat	N	Mean	Std. Deviation	Std. Error Mean
Hasil analisis data	Sensor	10	.7695	.00396	.00125
	Tracker	10	.8263	.04961	.01569

Independent Samples Test

		Levene's Test for Equality of Variances		t-test for Equality of Means	
		F	Sig.		
				t	Df
Hasil analisis data	Equal variances assumed	24.775	.000	-3.606	18
	Equal variances not assumed			-3.606	9.114

Independent Samples Test

		t-test for Equality of Means		
		Sig. (2-tailed)	Mean Difference	Std. Error Difference
			Difference	Difference
Hasil analisis data	Equal variances assumed	.002	-.05676	.01574
	Equal variances not assumed	.006	-.05676	.01574

Independent Samples Test

		t-test for Equality of Means		
		95% Confidence Interval of the Difference	Lower	Upper
			Lower	Upper
Hasil analisis data	Equal variances assumed	-.08983	-.02369	
	Equal variances not assumed		-.09230	-.02122

T-TEST GROUPS=Alat(1 2)
 /MISSING=ANALYSIS
 /VARIABLES=Hasil
 /CRITERIA=CI(.95).

T-Test

Notes

Output Created	14-AUG-2022 23:41:12	
Comments		
Input	Active Dataset	DataSet1
	Filter	<none>
	Weight	<none>
	Split File	<none>
	N of Rows in Working Data File	20
Missing Value Handling	Definition of Missing	User defined missing values are treated as missing.
	Cases Used	Statistics for each analysis are based on the cases with no missing or out-of-range data for any variable in the analysis.
Syntax	T-TEST GROUPS=Alat(1 2) /MISSING=ANALYSIS /VARIABLES=Hasil /CRITERIA=CI(.95).	
Resources	Processor Time	00:00:00.02
	Elapsed Time	00:00:00.02

Group Statistics

	Alat	N	Mean	Std. Deviation	Std. Error Mean
Hasil analisis data	Sensor	10	.8304	.01481	.00468
	Tracker	10	.9088	.02721	.00860

Independent Samples Test

		Levene's Test for Equality of Variances		t-test for Equality of Means	
		F	Sig.		
				t	Df
Hasil analisis data	Equal variances assumed	6.322	.022	-7.999	18
	Equal variances not assumed			-7.999	13.903

Independent Samples Test

		t-test for Equality of Means		
		Sig. (2-tailed)	Mean Difference	Std. Error Difference
Hasil analisis data	Equal variances assumed	.000	-.07837	.00980
	Equal variances not assumed	.000	-.07837	.00980

Independent Samples Test

		t-test for Equality of Means		
		95% Confidence Interval of the Difference		
			Lower	Upper
Hasil analisis data	Equal variances assumed		-.09895	-.05779
	Equal variances not assumed		-.09940	-.05734

T-TEST GROUPS=Alat(1 2)
 /MISSING=ANALYSIS
 /VARIABLES=Hasil
 /CRITERIA=CI(.95).

T-Test

Notes

Output Created	14-AUG-2022 23:42:48	
Comments		
Input	Active Dataset	DataSet1
	Filter	<none>
	Weight	<none>
	Split File	<none>
	N of Rows in Working Data File	20
Missing Value Handling	Definition of Missing	User defined missing values are treated as missing.
	Cases Used	Statistics for each analysis are based on the cases with no missing or out-of-range data for any variable in the analysis.
Syntax	T-TEST GROUPS=Alat(1 2) /MISSING=ANALYSIS /VARIABLES=Hasil /CRITERIA=CI(.95).	
Resources	Processor Time	00:00:00.03
	Elapsed Time	00:00:00.03

Group Statistics

	Alat	N	Mean	Std. Deviation	Std. Error Mean
Hasil analisis data	Sensor	10	.8827	.01034	.00327
	Tracker	10	.9663	.00430	.00136

Independent Samples Test

	Hasil analisis data	Levene's Test for Equality of Variances		t-test for Equality of Means	
		F	Sig.		
				t	Df
Equal variances assumed	Equal variances not assumed	2.260	.150	-23.620	18
				-23.620	12.018

Independent Samples Test

		t-test for Equality of Means		
		Mean	Std. Error Difference	
		Sig. (2-tailed)	Difference	Difference
Hasil analisis data	Equal variances assumed	.000	-.08362	.00354
	Equal variances not assumed	.000	-.08362	.00354

Independent Samples Test

		t-test for Equality of Means		
		95% Confidence Interval of the Difference		
		Lower	Upper	
Hasil analisis data	Equal variances assumed	-.09106	-.07618	
	Equal variances not assumed	-.09133	-.07591	

T-TEST GROUPS=Alat(1 2)
/MISSING=ANALYSIS
/VARIABLES=Hasil
/CRITERIA=CI(.95).

T-Test

Notes

Output Created		14-AUG-2022 23:43:23
Comments		
Input	Active Dataset	DataSet1
	Filter	<none>
	Weight	<none>
	Split File	<none>
	N of Rows in Working Data File	20
Missing Value Handling	Definition of Missing	User defined missing values are treated as missing.
	Cases Used	Statistics for each analysis are based on the cases with no missing or out-of-range data for any variable in the analysis.
Syntax	<pre>T-TEST GROUPS=Alat(1 2) /MISSING=ANALYSIS /VARIABLES=Hasil /CRITERIA=CI(.95).</pre>	
Resources	Processor Time	00:00:00.02
	Elapsed Time	00:00:00.03

Group Statistics

	Alat	N	Mean	Std. Deviation	Std. Error Mean
Hasil analisis data	Sensor	10	.9340	.00712	.00225
	Tracker	10	.9879	.00719	.00227

Independent Samples Test

Levene's Test for Equality of

Variances

t-test for Equality of

Means

		F	Sig.	t	Df
Hasil analisis data	Equal variances assumed	.129	.723	-16.848	18
	Equal variances not assumed			-16.848	17.998

Independent Samples Test

t-test for Equality of Means			
	Sig. (2-tailed)	Mean Difference	Std. Error Difference
Hasil analisis data	Equal variances assumed	.000	-.05390
	Equal variances not assumed	.000	-.05390

Independent Samples Test

t-test for Equality of Means			
95% Confidence Interval of the Difference			
		Lower	Upper
Hasil analisis data	Equal variances assumed	-.06062	-.04718
	Equal variances not assumed	-.06062	-.04718

T-TEST GROUPS=Alat(1 2)
 /MISSING=ANALYSIS
 /VARIABLES=Hasil
 /CRITERIA=CI(.95).

T-Test

Notes

Output Created	14-AUG-2022 23:53:39	
Comments		
Input	Active Dataset	DataSet1
	Filter	<none>
	Weight	<none>
	Split File	<none>
	N of Rows in Working Data	18
	File	
Missing Value Handling	Definition of Missing	User defined missing values are treated as missing.
	Cases Used	Statistics for each analysis are based on the cases with no missing or out-of-range data for any variable in the analysis.
Syntax	T-TEST GROUPS=Alat(1 2) /MISSING=ANALYSIS /VARIABLES=Hasil /CRITERIA=CI(.95).	
Resources	Processor Time	00:00:00.03
	Elapsed Time	00:00:00.02

Group Statistics

	Alat	N	Mean	Std. Deviation	Std. Error Mean
Hasil analisis data	Sensor	9	59.4233	2.23151	.74384
	Tracker	9	54.8511	6.01036	2.00345

Independent Samples Test

		Levene's Test for Equality of Variances		t-test for Equality of Means	
		F	Sig.		
				t	Df
Hasil analisis data	Equal variances assumed	8.609	.010	2.139	16
	Equal variances not assumed			2.139	10.164

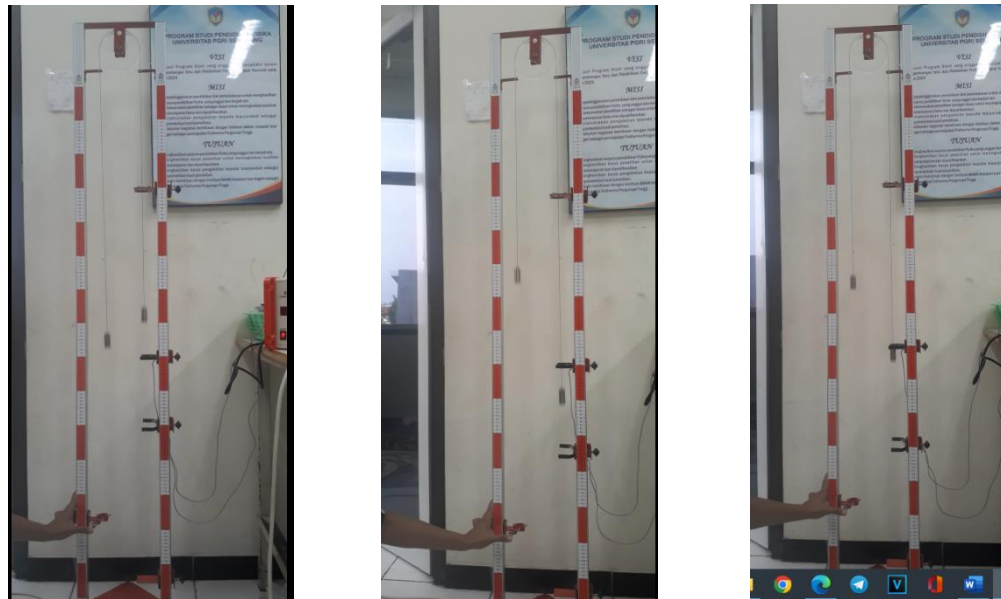
Independent Samples Test

		t-test for Equality of Means		
		Mean	Std. Error	
		Sig. (2-tailed)	Difference	Difference
Hasil analisis data	Equal variances assumed	.048	4.57222	2.13708
	Equal variances not assumed	.058	4.57222	2.13708

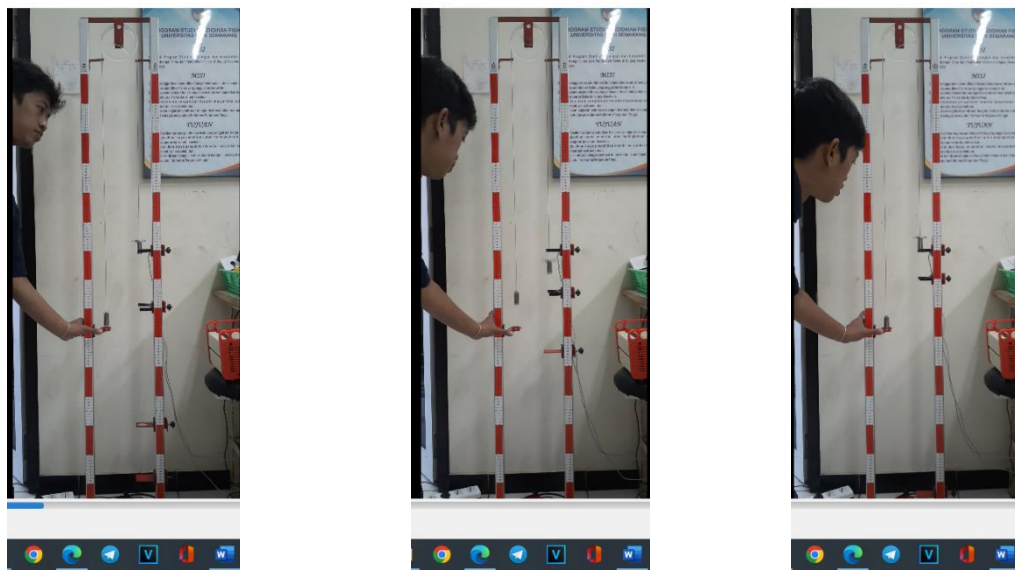
Independent Samples Test

		t-test for Equality of Means		
		95% Confidence Interval of the Difference		
		Lower	Upper	
Hasil analisis data	Equal variances assumed	.04181	9.10263	
	Equal variances not assumed	-.17907	9.32352	

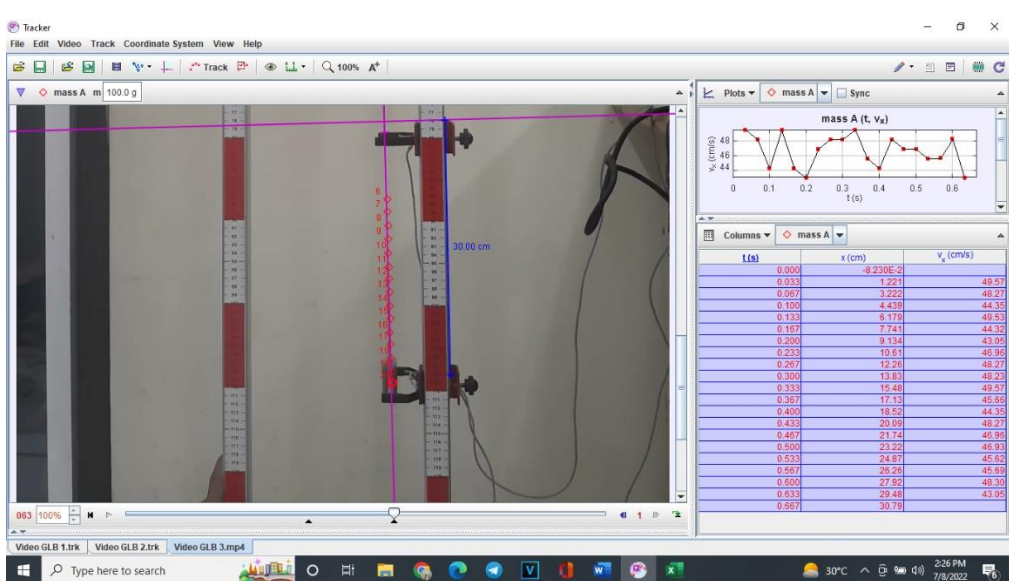
Lampiran 17. Dokumentasi kegiatan penelitian



Pengambilan data GLB

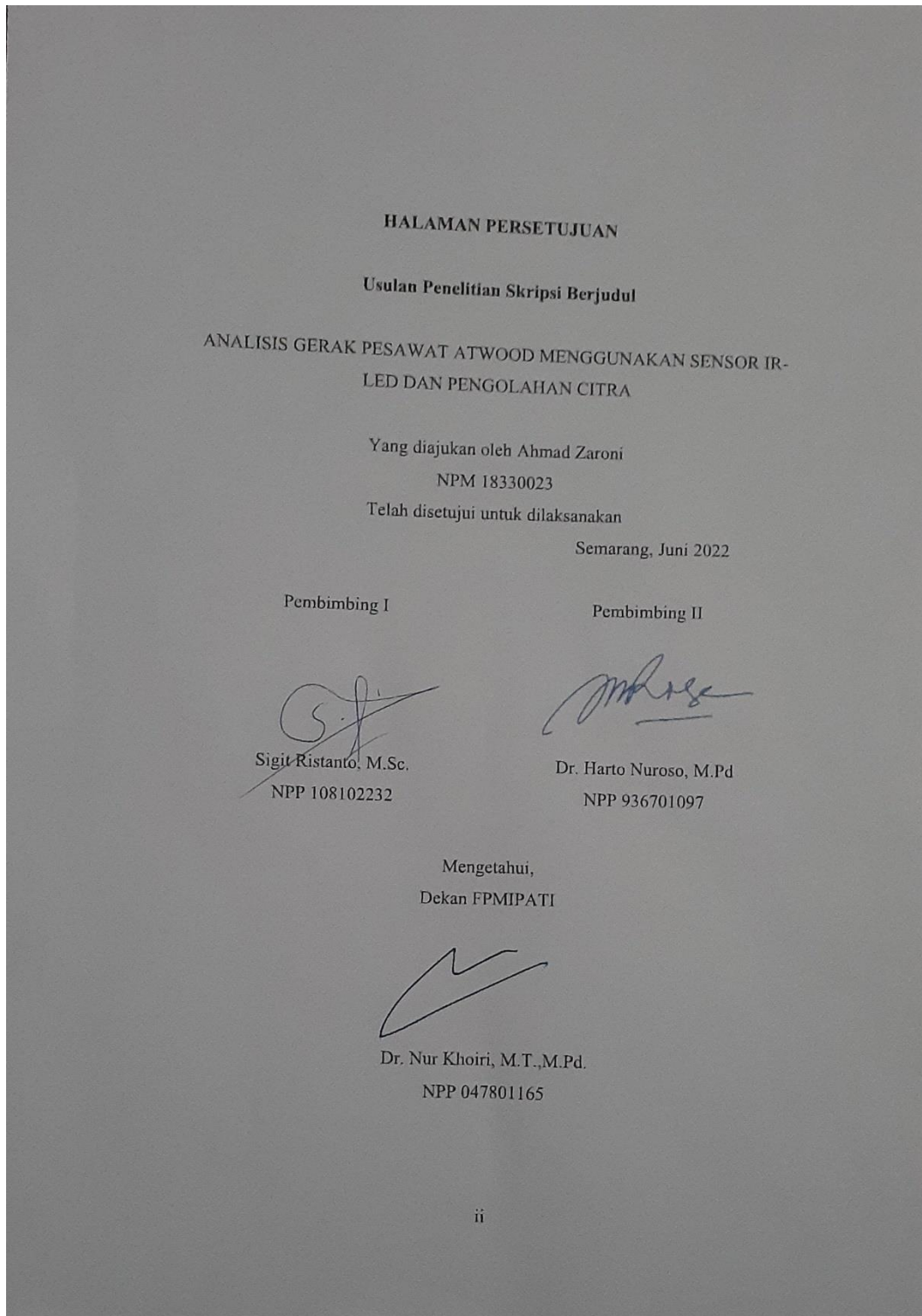


Pengambilan data GLBB



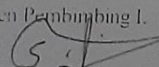
Pengolahan citra menggunakan *software TRACKER*

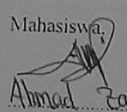
Lampiran 18. Persetujuan usulan penelitian



Lampiran 19. Lembar bimbingan skripsi dosen pembimbing 1

 UNIVERSITAS PGRI SEMARANG FAKULTAS PENDIDIKAN MIPA DAN DAN TEKNOLOGI INFORMASI Kampus: Jl. Dr. Cipto - Sidodadi Timur No. 24 Semarang Indonesia Telp.(024)8316377 Faks.(024)8448217 Email: upgrismg@gmail.com Homepage: www.upgris.ac.id			
LEMBAR PEMBIMBINGAN SKRIPSI			
Nama Mahasiswa	Ahmad Zaroni		
NPM	10330023		
Prodi	Pendidikan Fisika		
Judul Skripsi	Analisis Gerak Detektor Atwood Menggunakan Sensors IR-LED Dari Pengalaman Cita		
Dosen Pembimbing I	Dr. Sugit Ristanto, M. Sc.		
Dosen Pembimbing II	Dr. Hasto Nurwono, M. Pd.		
No	Hari, Tanggal	Uraian Bimbingan	Paraf
1.	13 April 2022	ACC Judul / Tema Skripsi	+
2.	12 Mei 2022	Revisi Proposal Penelitian	-
3.	20 Juni 2022	Revisi Proposal Penelitian	+
4.	23 Juni 2022	ACC Proposal Penelitian	+
5.	15 Agustus 2022	Revisi BAB IV	+
6.	12 Agustus 2022	Revisi BAB IV-V	+
7.	13 Agustus 2022	Revisi BAB I-V	+
8.	15 Agustus 2022	ACC Skripsi	+

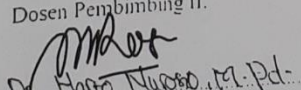
Dosen Pembimbing I.

Dr. Sugit Ristanto, M. Sc.
 NIDN

Mahasiswa,

Ahmad Zaroni
 NPM

Pedoman Penulisan Skripsi

Hal 53

Lampiran 20. Lembar bimbingan skripsi dosen pembimbing 2

 UNIVERSITAS PGRI SEMARANG FAKULTAS PENDIDIKAN MIPA DAN DAN TEKNOLOGI INFORMASI Kampus: Jl. Dr. Cipto - Sidodadi Timur No. 24 Semarang Indonesia Telp.(024)8316377 Faks.(024)8448217 Email:upgris@gmail.com Homepage: www.upgris.ac.id			
LEMBAR PEMBIMBINGAN SKRIPSI			
Nama Mahasiswa	: Ahmad Zasani		
NPM	: 18332023		
Prodi	: Pendidikan Fisika		
Judul Skripsi	: Analisis Gerek Perseorangan Ativitas Menggunakan Sensor IR-LED dan Pendekatan Citeran		
Dosen Pembimbing I	: Dr. Sigit Rustanto, M.Sc.		
Dosen Pembimbing II	: Dr. Hasto Nurroho, M.Pd.		
No	Hari, Tanggal	Uraian Bimbingan	Paraf
1.	13 April 2022	ACC Judul / Tema Skripsi	<u>M. Hasto</u>
2.	13 Mei 2022	Revisi Proposal Penelitian	<u>M. Hasto</u>
3.	21 Juni 2022	Revisi Proposal Penelitian	<u>M. Hasto</u>
4.	24 Juni 2022	ACC Proposal Penelitian	<u>M. Hasto</u>
5.	6 Agustus 2022	Revisi BAB IV	<u>M. Hasto</u>
6.	13 Agustus 2022	Revisi BAB IV-V	<u>M. Hasto</u>
7.	14 Agustus 2022	Revisi BAB I-V	<u>M. Hasto</u>
8.	15 Agustus 2022	ACC BAB I-V	<u>M. Hasto</u>
Dosen Pembimbing II.			Mahasiswa,
 <u>Dr. Hasto Nurroho, M.Pd.</u> NIDN			 <u>Ahmad Zasani</u> NPM
<i>Pedoman Penulisan Skripsi</i>			Hal 55